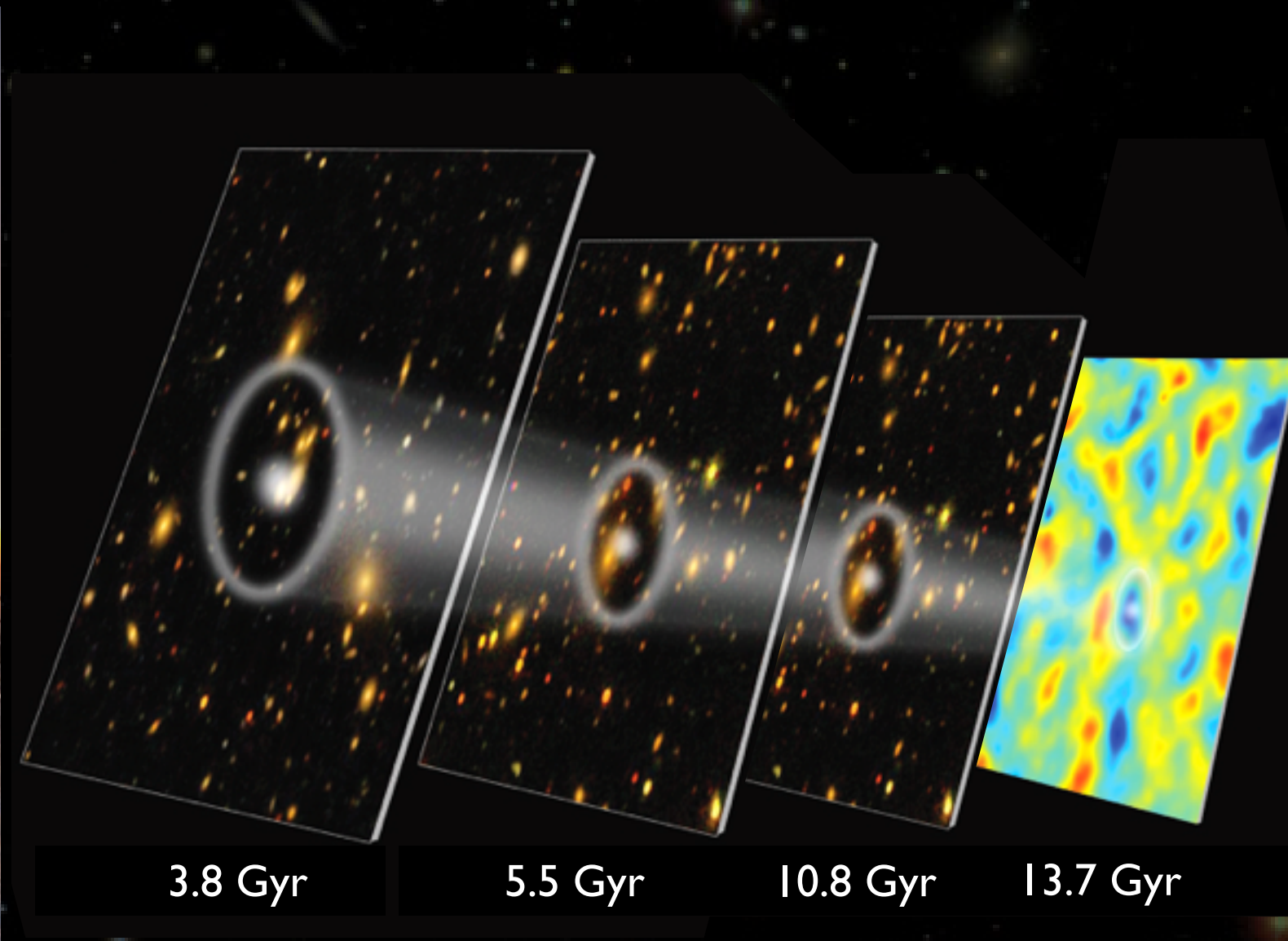
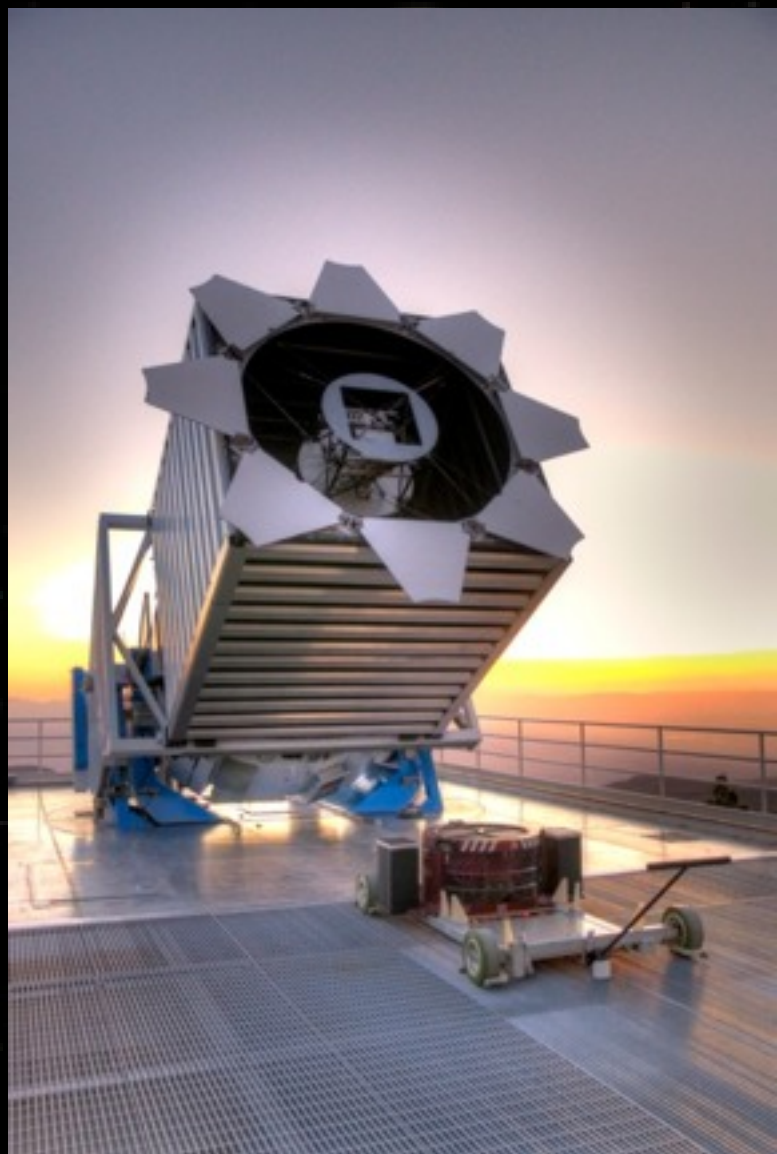


# Résultats de SDSS3/BOSS CMASS DR9



J.-Ch. Hamilton  
APC, Paris

# Programme

- Rappels cosmologiques
  - ★ Histoire de l'expansion, distances et paramètres cosmologiques
  - ★ Résultats sur l'Énergie sombre
  - ★ Oscillations acoustiques de baryons
- BOSS : Baryon Oscillations Spectroscopic Survey
  - ★ L'héritage de SDSS I et II
  - ★ SDSSIII / BOSS
- La corrélation spatiale des LRG avec DR9
  - ★ Sélection de l'échantillon, complétude
  - ★ Fonction de corrélation à deux points, Spectre de puissance
  - ★ Contraintes cosmologiques
    - Principe des analyses
    - Résultats
- La corrélation spatiale dans la forêt Lyman-a
- Conclusions et perspectives

# Modèle FLRW

- Relativité Générale

$$\star \quad f \left( \begin{array}{c} \text{Métrique de} \\ \text{l'espace - temps} \end{array} \right) = 8\pi G \left( \begin{array}{c} \text{Distribution} \\ \text{de matière} \end{array} \right)$$

- Principe Cosmologique

- $\star$  L'univers est homogène et isotrope aux grandes échelles

- Métrique de Friedman-Lemaître-Robertson-Walker

$$\star ds^2 = dt^2 - a^2(t) \left[ \frac{dr^2}{1 - kr^2} + r^2 d\theta^2 + r^2 \sin^2 \theta d\phi^2 \right]$$

$k = \begin{cases} 0 & \rightarrow \text{Plat} \\ 1 & \rightarrow \text{Fermé} \\ -1 & \rightarrow \text{Ouvert} \end{cases}$

- Équations de Friedman pour  $a(t)$

- L'évolution de  $a(t)$  dépend des densités des différentes espèces:
  - Matière relativiste
  - Matière non relativiste
  - Constante cosmologique (ou énergie sombre ...)

# Caractéristiques de FLRW

- Univers en expansion

- ★ Taux d'expansion: Paramètre de Hubble. Aujourd'hui :  $H_0 \sim 72 \text{ km.s}^{-1}.\text{Mpc}^{-1}$

$$\begin{aligned}H^2 &= \left(\frac{\dot{a}}{a}\right)^2 = H_0^2 \left( \frac{\rho}{\rho_c} + \frac{k}{a^2 H_0^2} + \frac{\Lambda}{3H^2} \right), \\&= H_0^2 (\Omega_m + \Omega_k + \Omega_\Lambda)\end{aligned}$$

$$H(z) = H_0 \sqrt{\Omega_k^0 \times (1+z)^2 + \Omega_m^0 \times (1+z)^3 + \Omega_X(z)}$$

- Redshift: boost entre référentiels locaux et distants

$$1+z = \frac{a_0}{a}$$

- Distances: non triviales

# Caractéristiques de FLRW

- Univers en expansion

- ★ Taux d'expansion: Paramètre de Hubble. Aujourd'hui :  $H_0 \sim 72 \text{ km.s}^{-1}.\text{Mpc}^{-1}$

$$\begin{aligned}H^2 &= \left(\frac{\dot{a}}{a}\right)^2 = H_0^2 \left( \frac{\rho}{\rho_c} + \frac{k}{a^2 H_0^2} + \frac{\Lambda}{3H^2} \right), \\&= H_0^2 (\Omega_m + \Omega_k + \Omega_\Lambda)\end{aligned}$$

$$H(z) = H_0 \sqrt{\Omega_k^0 \times (1+z)^2 + \Omega_m^0 \times (1+z)^3 + \Omega_X(z)}$$

- Redshift: boost entre référentiels locaux et distants

$$1+z = \frac{a_0}{a}$$

- Distances: non triviales



# Distances en cosmologie

- Différence de coordonnées:

$$r(z) = \int_0^r \frac{dr}{\sqrt{1 - kr'^2}} = \int_t^{t_0} \frac{dt'}{a(t')} = \frac{1}{a_0} \int \frac{dz'}{H(z')}$$

- Dépendent de:

- ★ Manière de les mesurer

- différence de coordonnées x paramètre d'échelle (non mesurable):

- **distance propre (comobile)**  $D_p(z) = a_0 r(z) = \int_0^z \frac{dz'}{H(z')}$

- luminosité apparente sachant la luminosité absolue :

- **distance de luminosité**  $D_l(z) = D_p(z) \times (1 + z)$

- Taille angulaire apparente sachant la taille physique:

- **distance angulaire**  $D_a(z) = D_p(z)/(1 + z)$

- Profondeur en redshift sachant la taille physique:

- **Distance radiale**  $dz = a_0 \frac{da}{a^2} = \frac{a_0 \dot{a}}{a^2} dt = (1 + z) H(z) dx$

- ★ des paramètres cosmologiques via  $H(z)$

$$H(z) = H_0 \sqrt{\Omega_k^0 \times (1 + z)^2 + \Omega_m^0 \times (1 + z)^3 + \Omega_X(z)}$$

# Distance(s) : fct de la cosmologie

- En pratique:

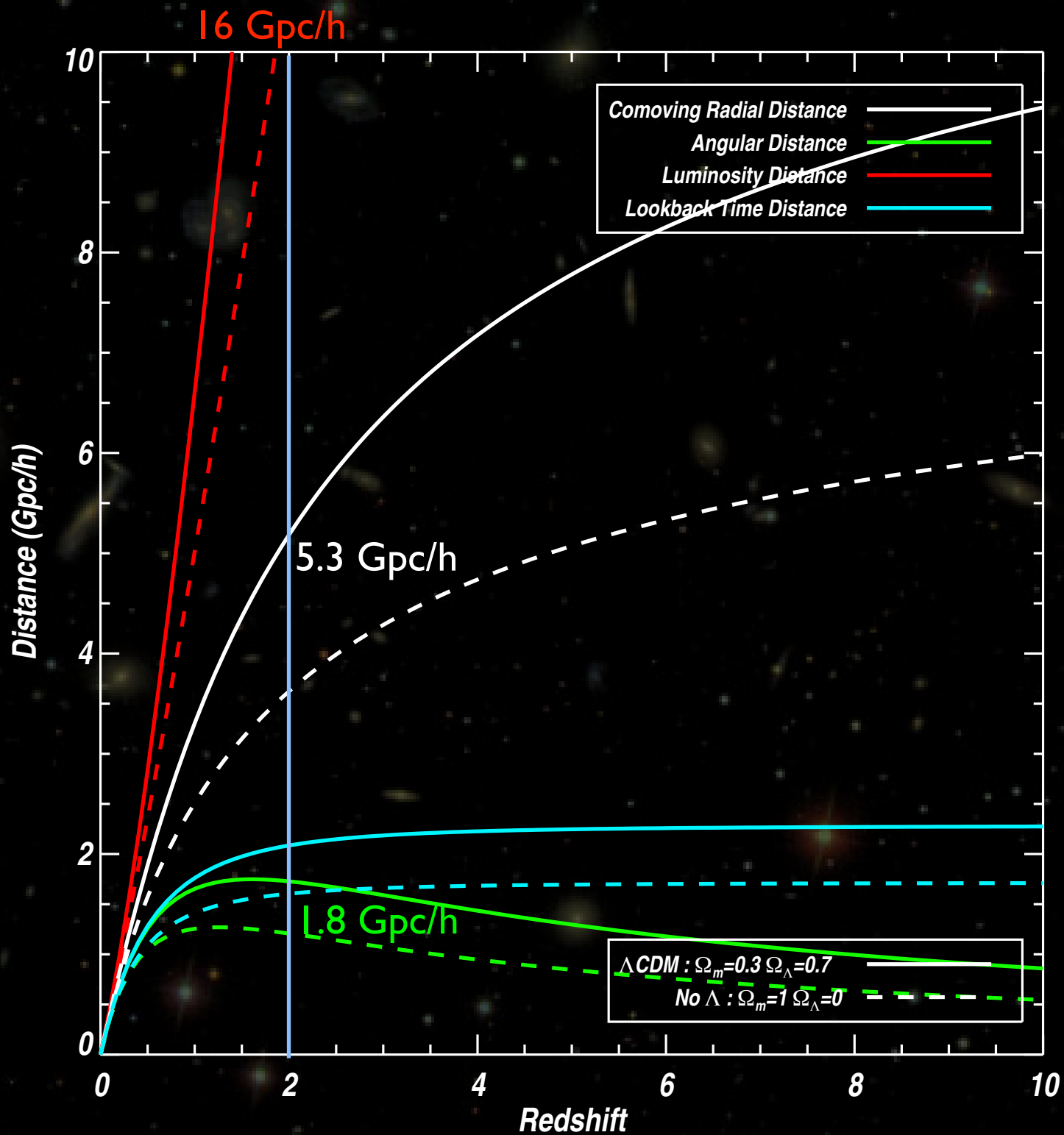
- ★  $D_a = D_p = D_l = D_t$  pour  $z$  petit
- ★  $D_a < D_p < D_l$

- Une galaxie à  $z=2$ :

- ★ est à une **distance comobile** de **5.3 Gpc/h**
- ★ a le **diamètre angulaire** de la même galaxie située à **1.8 Gpc/h**
- ★ a la **luminosité apparente** de la même galaxie située à **16 Gpc/h**

- Énergie noire:

- ★ dans un Univers avec énergie noire, tout semble plus lointain à cause de l'accélération de l'expansion



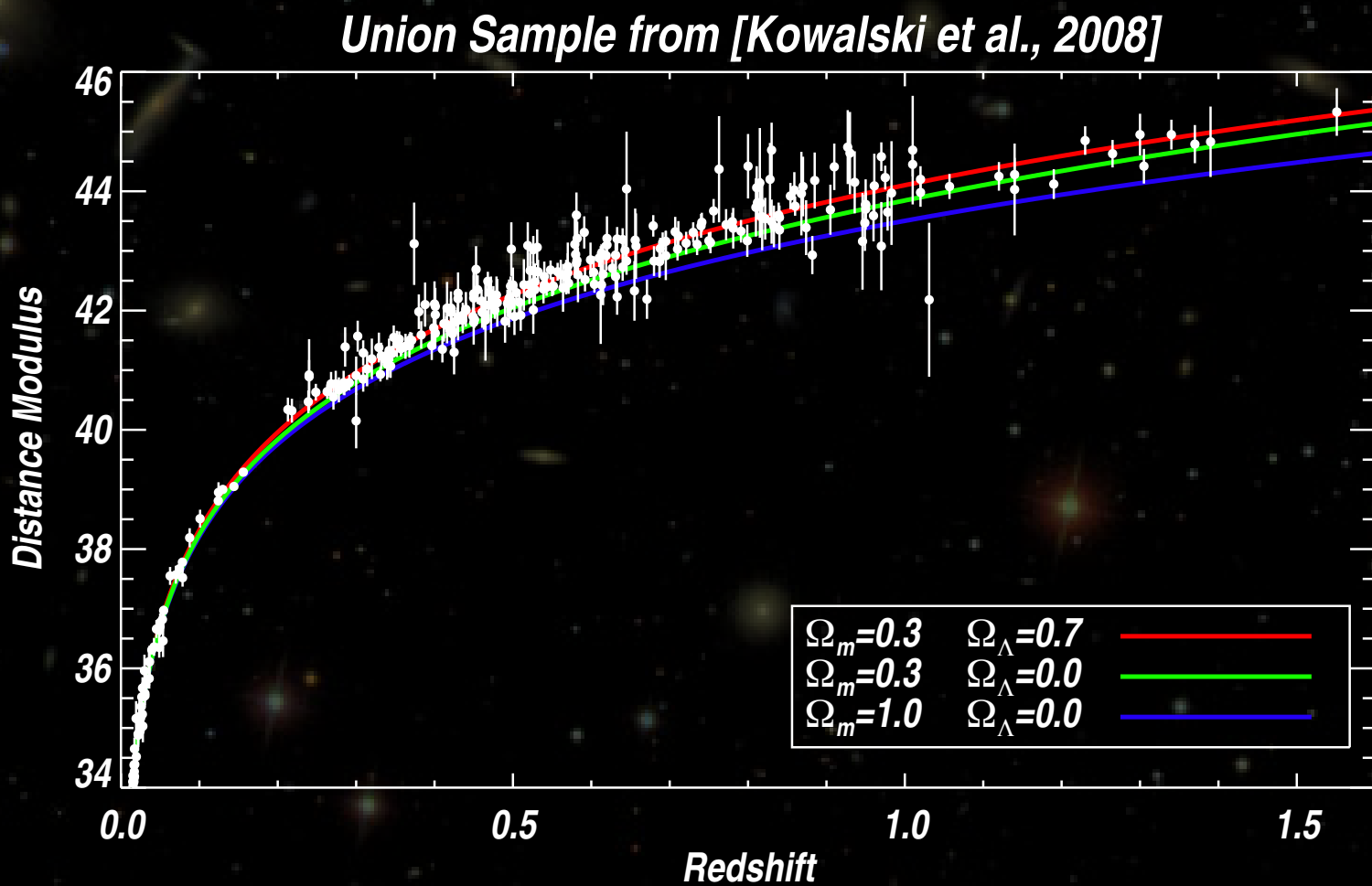
# Diagrammes de Hubble

- Mesurer l'une des distances en fonction de  $z$ 
  - ★ Chandelle standard (SNIa)
  - ★ Étalon de distance standard (BAO)
  - ★ Horloge standard (?)
  - ★ ...
- Mesure des paramètres cosmologiques

# Diagrammes de Hubble

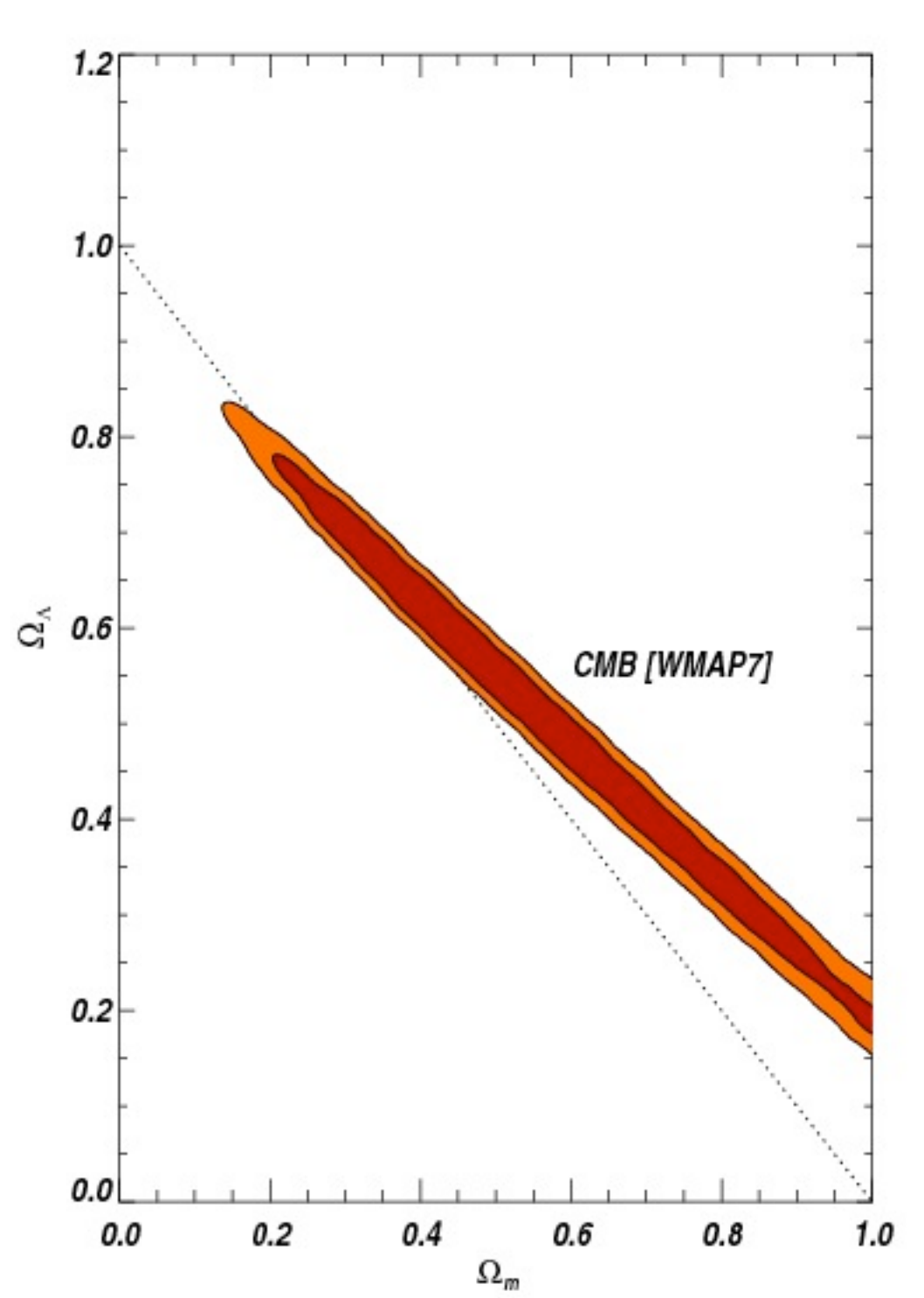
- Mesurer l'une des distances en fonction de  $z$ 
  - ★ Chandelle standard (SNla)
  - ★ Étalon de distance standard (BAO)
  - ★ Horloge standard (?)
  - ★ ...
- Mesure des paramètres cosmologiques

- Ex/ SNla
  - ★ Distance de luminosité
  - ★ Découverte de l'accélération de l'expansion
  - ★ Energie sombre ? Constante cosmologique ?



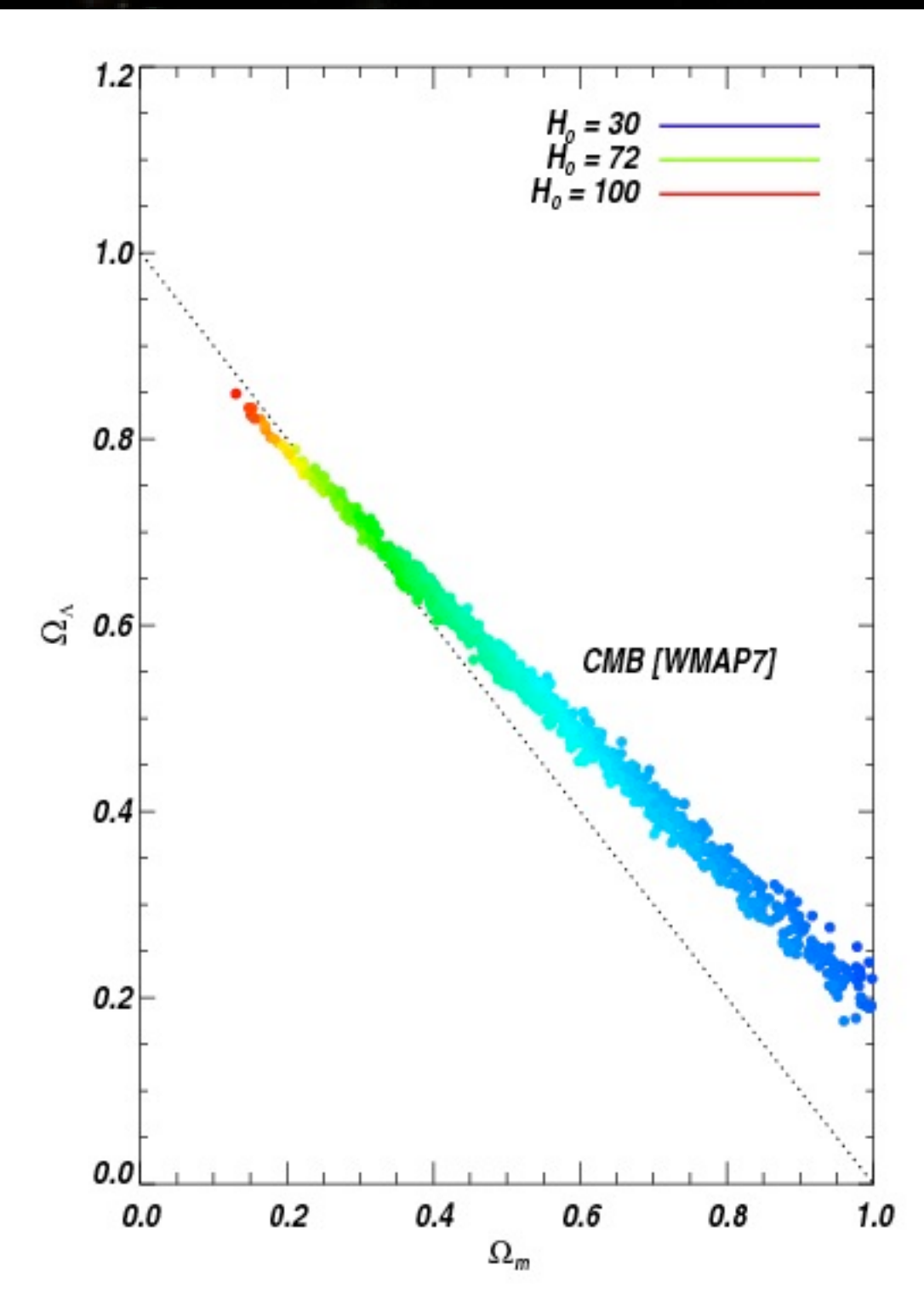
# Contraintes sur $\Lambda$

- CMB:
  - ★ distance angulaire à  $z=1100$
- Mesure de  $H_0$ 
  - ★ ( $\sim$ locale)
- SNIa:
  - ★ distance de luminosité
- BAO SDSSII:
  - ★  $\sim$  distance angulaire
- Questions:
  - ★ Nature de  $\Lambda$ 
    - valeur de  $\Omega_\Lambda$
    - équation d'état de  $\Lambda$  :
      - I :  $\sim$  Constante cosmologique [gravité]
      - autre : Dark Energy [contenu matériel]



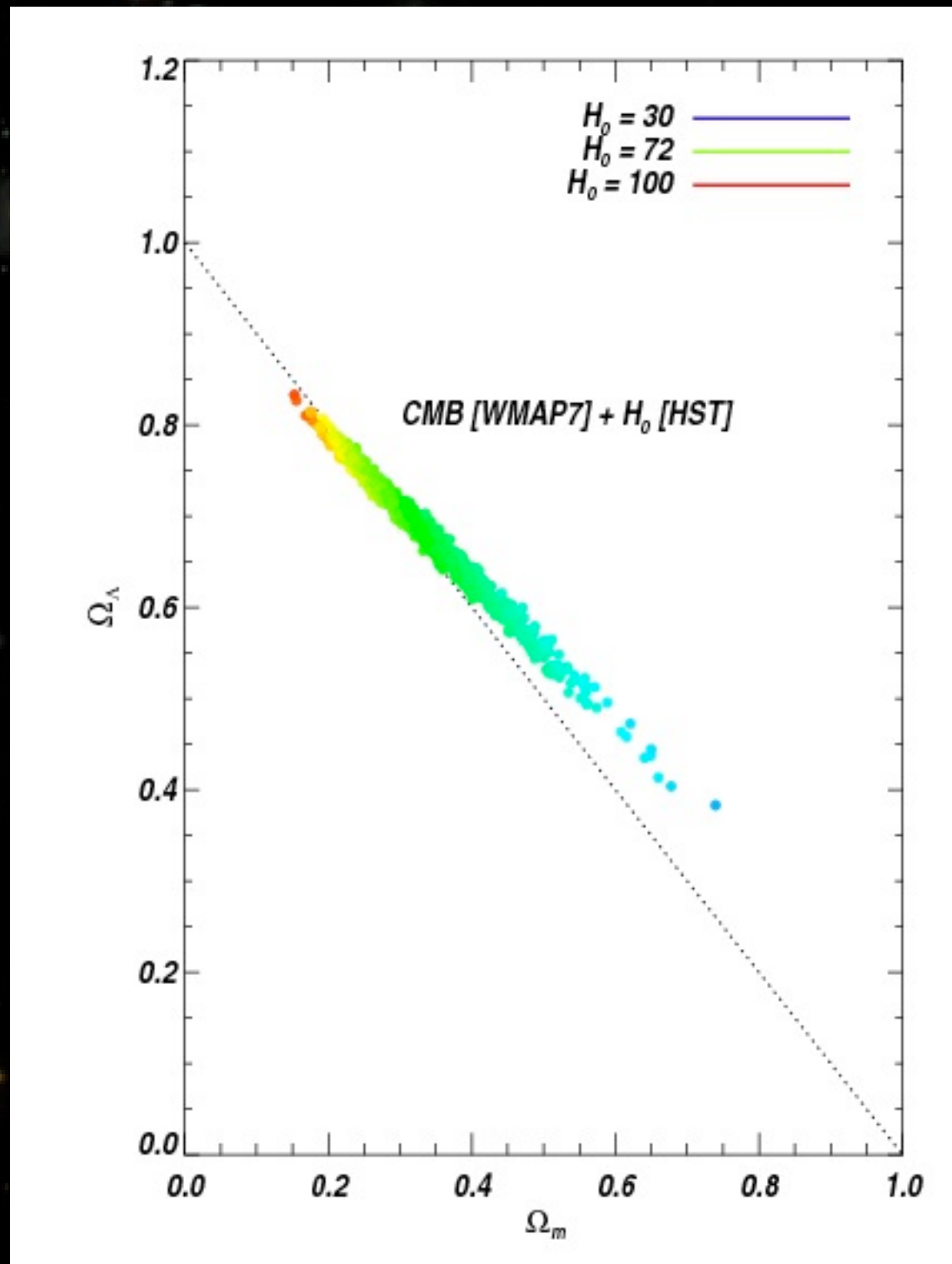
# Contraintes sur $\Lambda$

- CMB:
  - ★ distance angulaire à  $z=1100$
- Mesure de  $H_0$ 
  - ★ ( $\sim$ locale)
- SNIa:
  - ★ distance de luminosité
- BAO SDSSII:
  - ★  $\sim$  distance angulaire
- Questions:
  - ★ Nature de  $\Lambda$ 
    - valeur de  $\Omega_\Lambda$
    - équation d'état de  $\Lambda$  :
      - I :  $\sim$  Constante cosmologique [gravité]
      - autre : Dark Energy [contenu matériel]



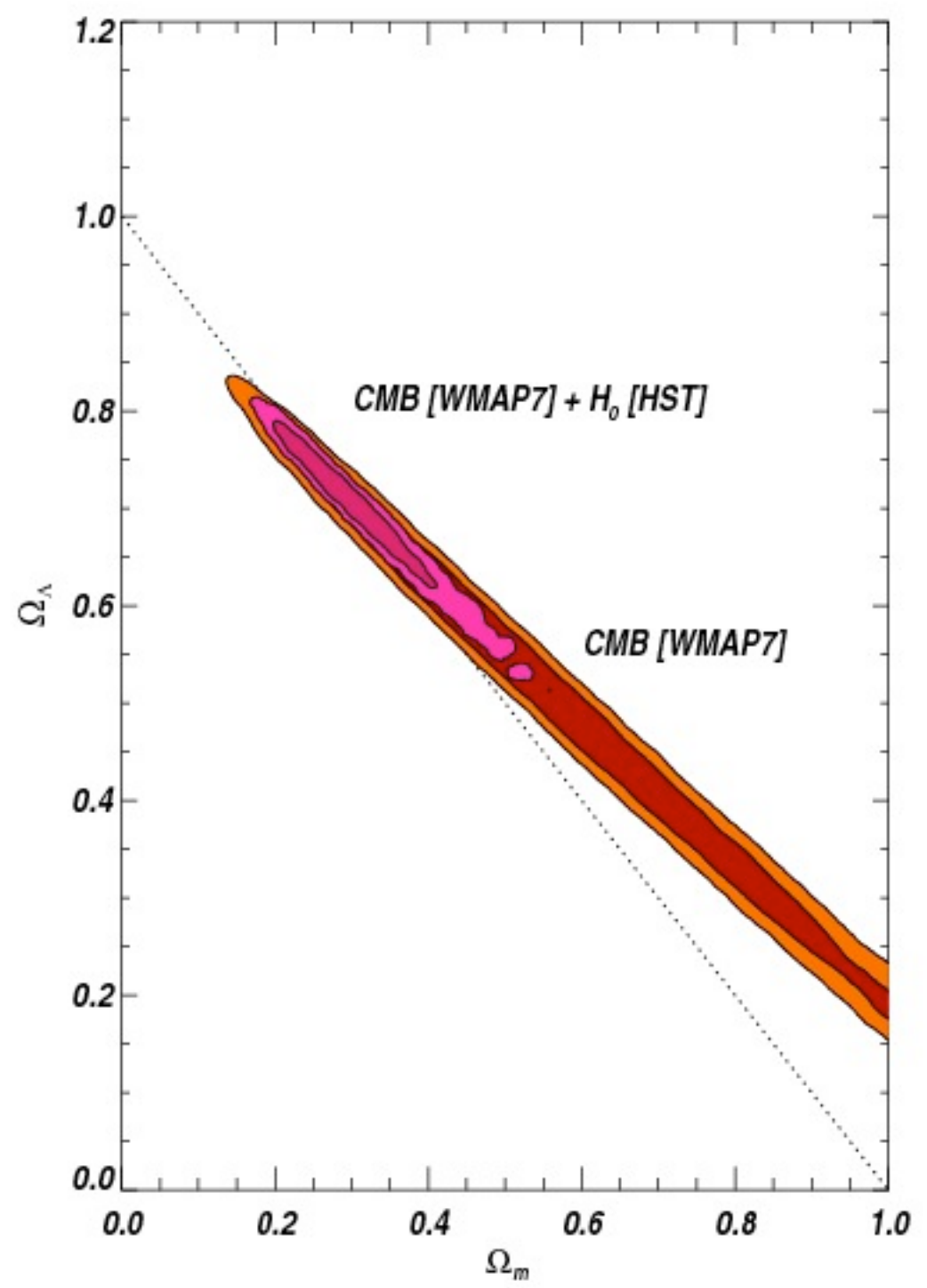
# Contraintes sur $\Lambda$

- CMB:
  - ★ distance angulaire à  $z=1100$
- Mesure de  $H_0$ 
  - ★ ( $\sim$ locale)
- SNIa:
  - ★ distance de luminosité
- BAO SDSSII:
  - ★  $\sim$  distance angulaire
- Questions:
  - ★ Nature de  $\Lambda$ 
    - valeur de  $\Omega_\Lambda$
    - équation d'état de  $\Lambda$  :
      - I :  $\sim$  Constante cosmologique [gravité]
      - autre : Dark Energy [contenu matériel]



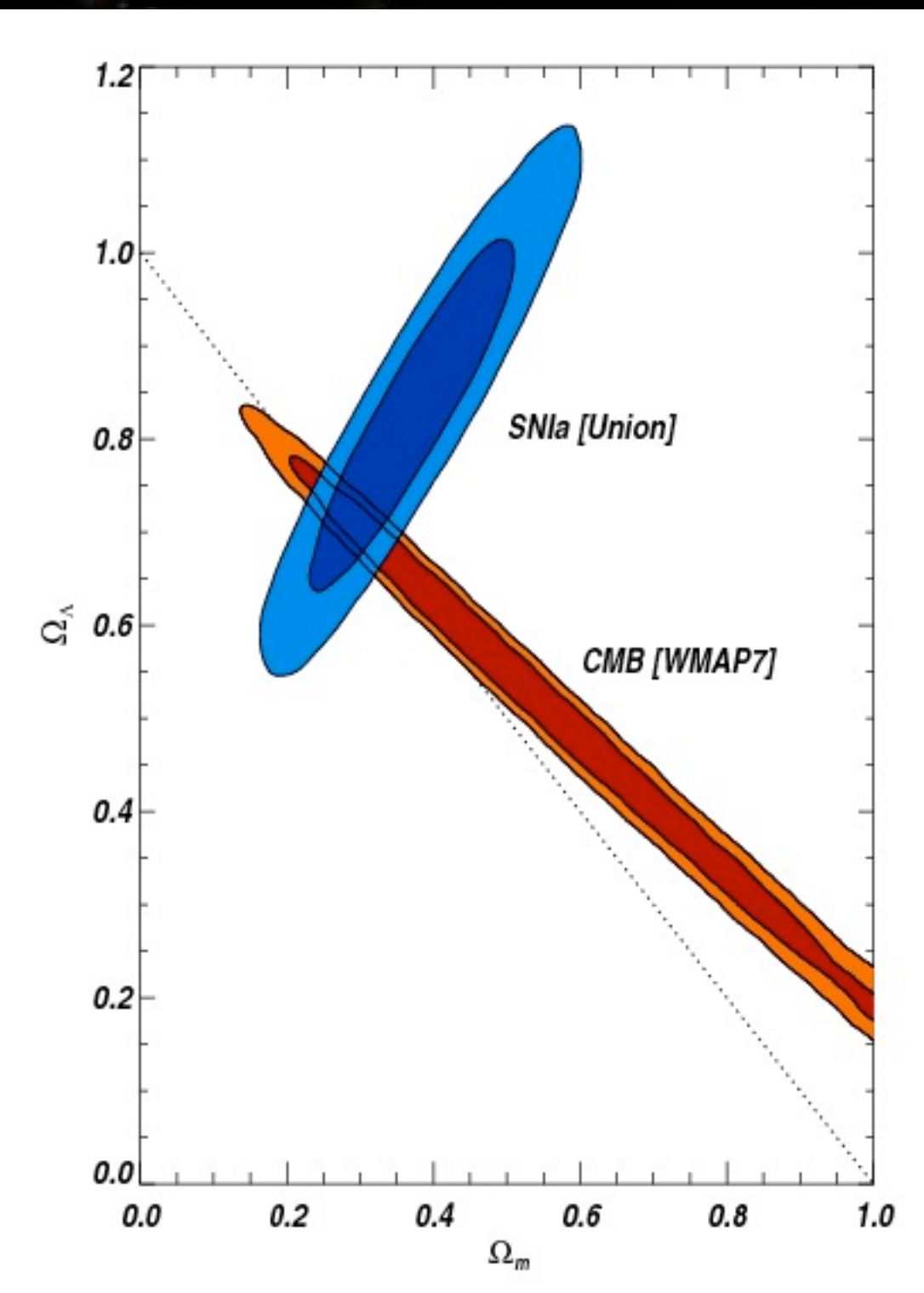
# Contraintes sur $\Lambda$

- CMB:
  - ★ distance angulaire à  $z=1100$
- Mesure de  $H_0$ 
  - ★ ( $\sim$ locale)
- SNIa:
  - ★ distance de luminosité
- BAO SDSSII:
  - ★  $\sim$  distance angulaire
- Questions:
  - ★ Nature de  $\Lambda$ 
    - valeur de  $\Omega_\Lambda$
    - équation d'état de  $\Lambda$  :
      - I :  $\sim$  Constante cosmologique [gravité]
      - autre : Dark Energy [contenu matériel]



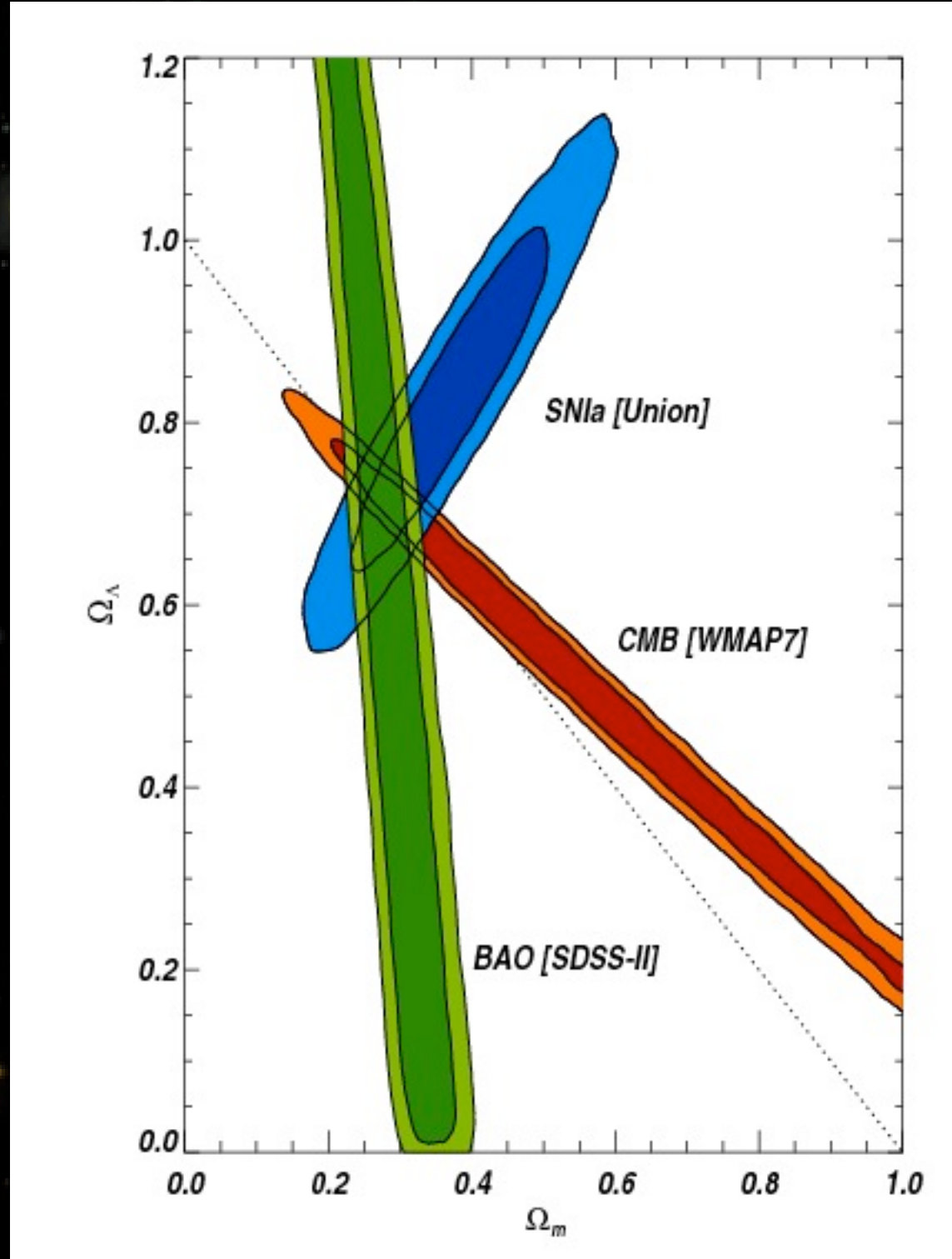
# Contraintes sur $\Lambda$

- CMB:
  - ★ distance angulaire à  $z=1100$
- Mesure de  $H_0$ 
  - ★ ( $\sim$ locale)
- SNIa:
  - ★ distance de luminosité
- BAO SDSSII:
  - ★  $\sim$  distance angulaire
- Questions:
  - ★ Nature de  $\Lambda$ 
    - valeur de  $\Omega_\Lambda$
    - équation d'état de  $\Lambda$  :
      - I :  $\sim$  Constante cosmologique [gravité]
      - autre : Dark Energy [contenu matériel]



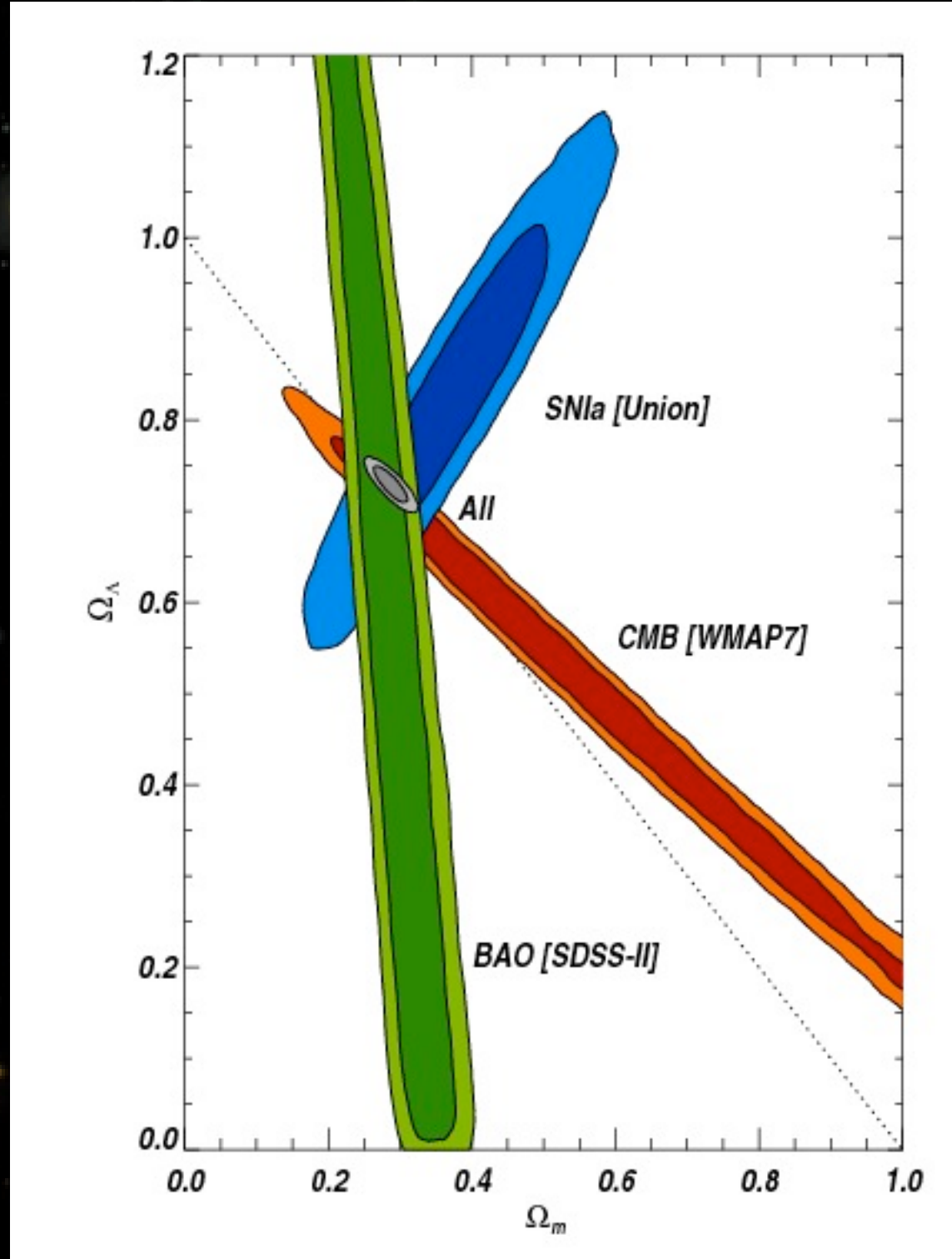
# Contraintes sur $\Lambda$

- CMB:
  - ★ distance angulaire à  $z=1100$
- Mesure de  $H_0$ 
  - ★ (~locale)
- SNIa:
  - ★ distance de luminosité
- BAO SDSSII:
  - ★  $\sim$  distance angulaire
- Questions:
  - ★ Nature de  $\Lambda$ 
    - valeur de  $\Omega_\Lambda$
    - équation d'état de  $\Lambda$  :
      - I :  $\sim$  Constante cosmologique [gravité]
      - autre : Dark Energy [contenu matériel]



# Contraintes sur $\Lambda$

- CMB:
  - ★ distance angulaire à  $z=1100$
- Mesure de  $H_0$ 
  - ★ (~locale)
- SNIa:
  - ★ distance de luminosité
- BAO SDSSII:
  - ★  $\sim$  distance angulaire
- Questions:
  - ★ Nature de  $\Lambda$ 
    - valeur de  $\Omega_\Lambda$
    - équation d'état de  $\Lambda$  :
      - I :  $\sim$  Constante cosmologique [gravité]
      - autre : Dark Energy [contenu matériel]

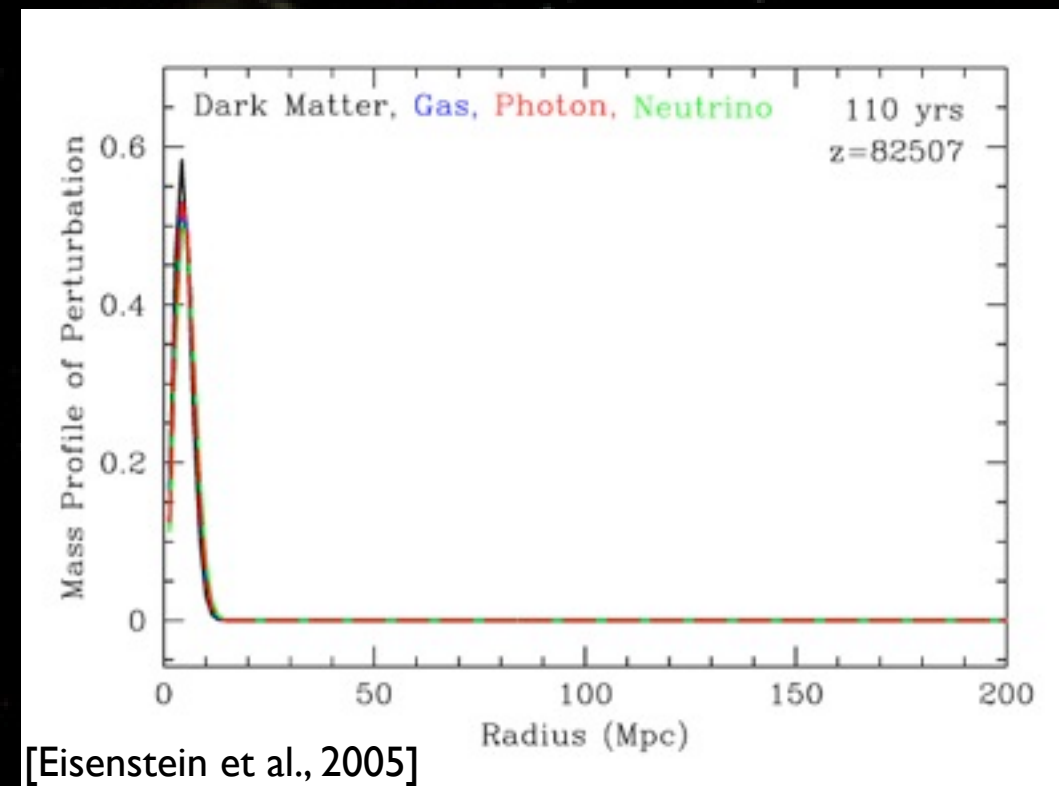


# Oscillations acoustiques de baryons

- Univers jeune: ionisé
  - ★ Photons et baryons couplés
  - ★ Propagation d'ondes de pression
- Découplage matière-rayonnement:  
Univers neutre
  - ★ Les photons s'échappent (CMB)
  - ★ Baryons: excès à l'horizon sonore (150 Mpc)
  - ★ Matière noire restée au centre
  - ★ Un excès demeure à 150 Mpc

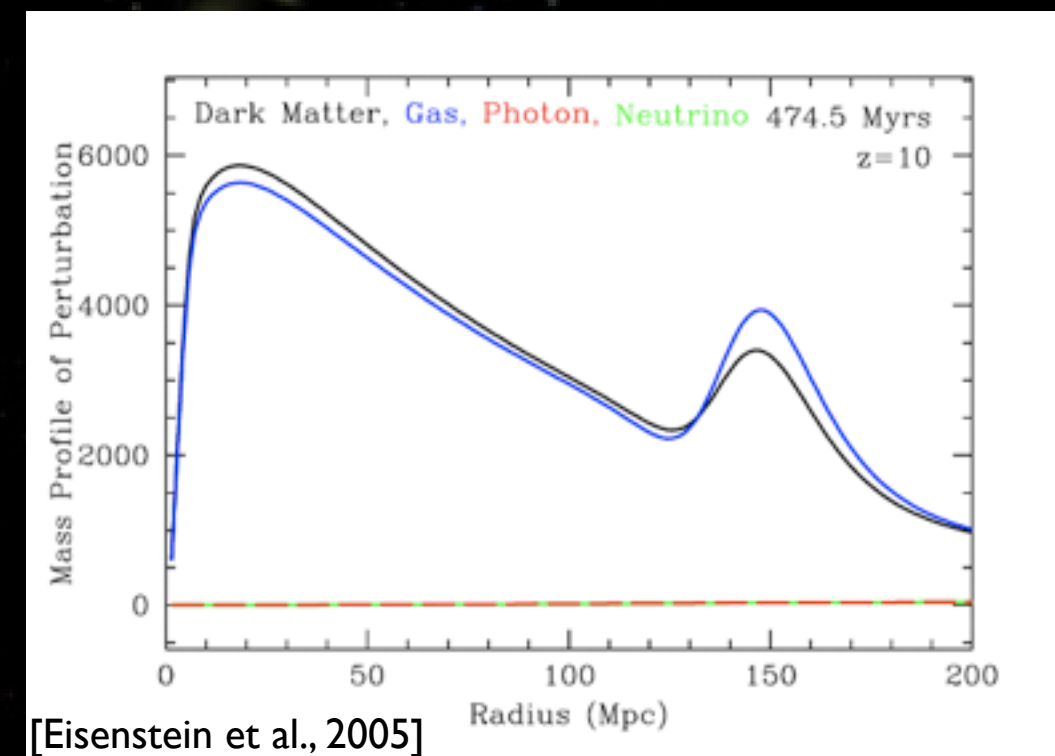
# Oscillations acoustiques de baryons

- Univers jeune: ionisé
  - ★ Photons et baryons couplés
  - ★ Propagation d'ondes de pression
- Découplage matière-rayonnement:  
Univers neutre
  - ★ Les photons s'échappent (CMB)
  - ★ Baryons: excès à l'horizon sonore (150 Mpc)
  - ★ Matière noire restée au centre
  - ★ Un excès demeure à 150 Mpc



# Oscillations acoustiques de baryons

- Univers jeune: ionisé
  - ★ Photons et baryons couplés
  - ★ Propagation d'ondes de pression
- Découplage matière-rayonnement:  
Univers neutre
  - ★ Les photons s'échappent (CMB)
  - ★ Baryons: excès à l'horizon sonore (150 Mpc)
  - ★ Matière noire restée au centre
  - ★ Un excès demeure à 150 Mpc

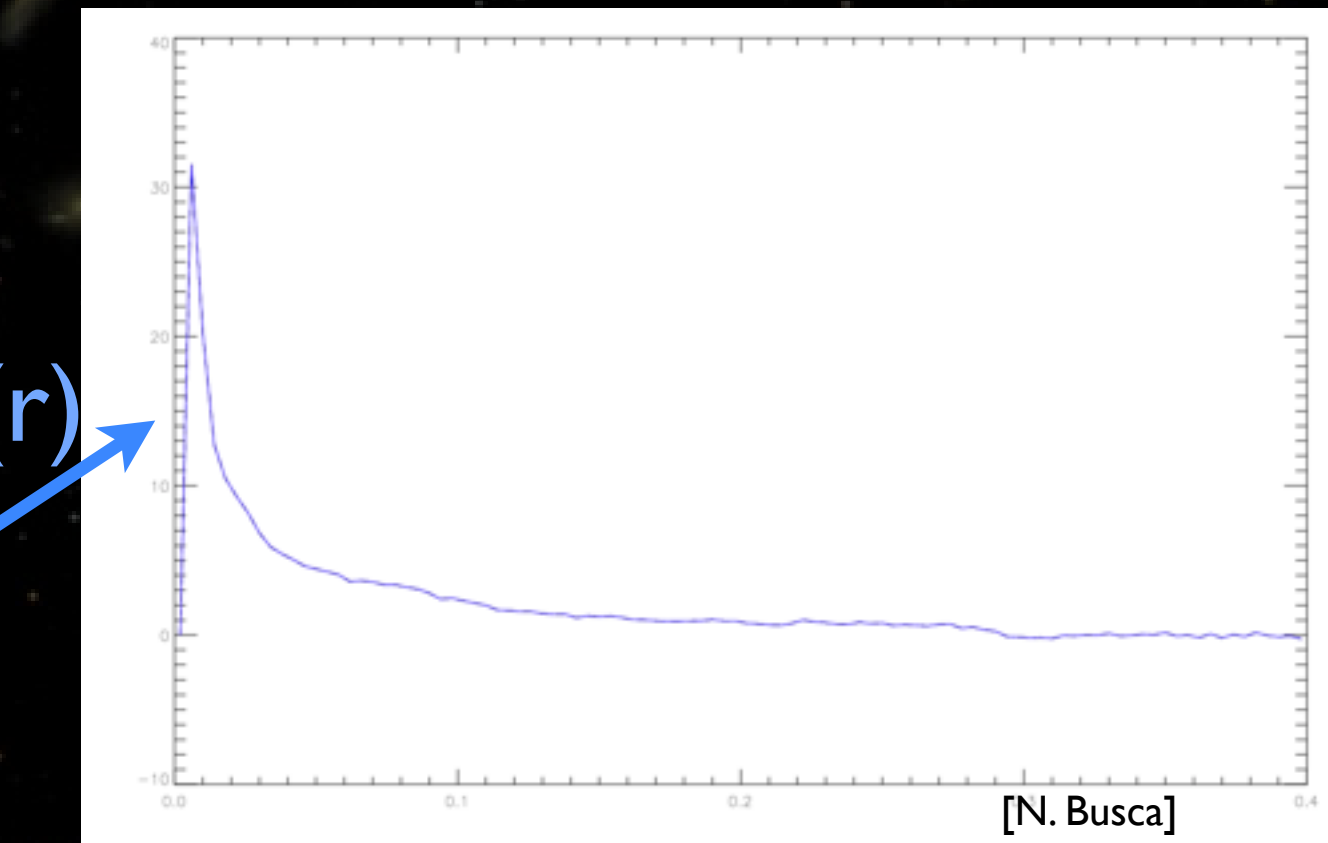
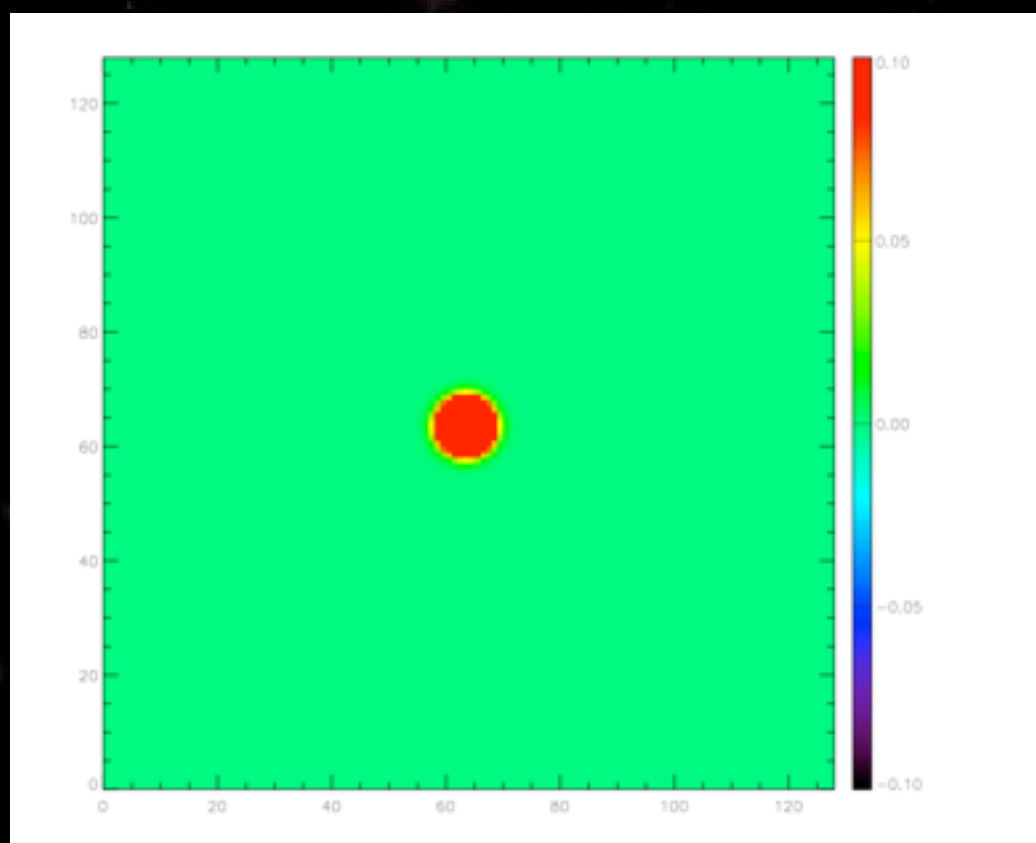
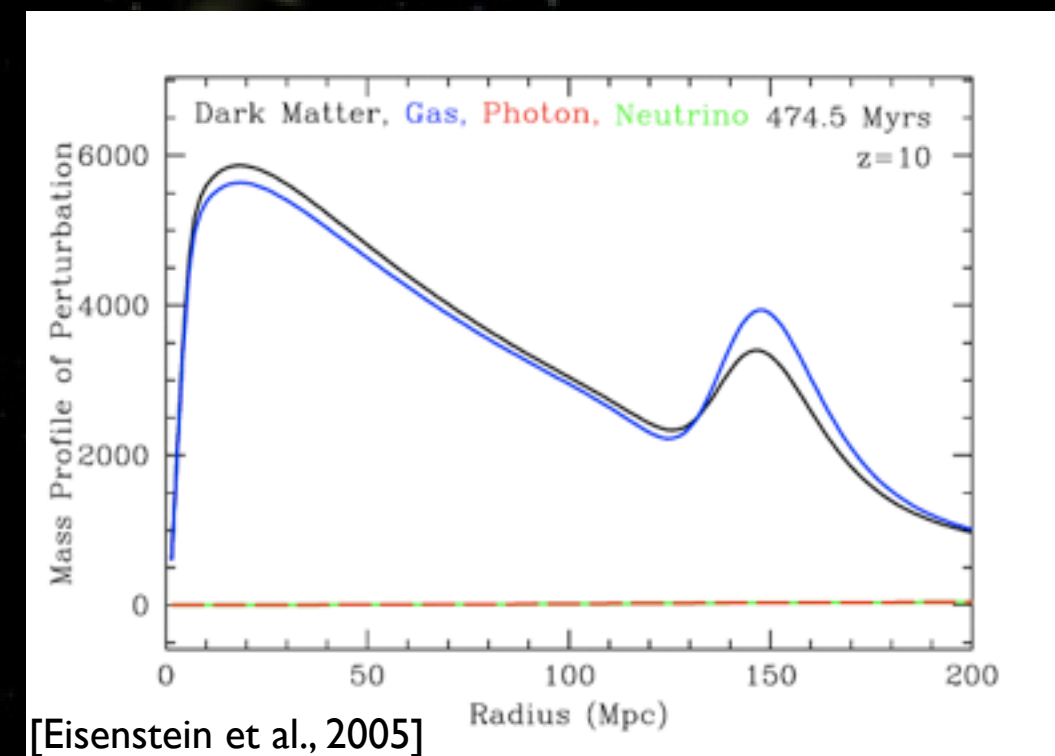


Gaussian

$$\xi(r) \rightarrow$$

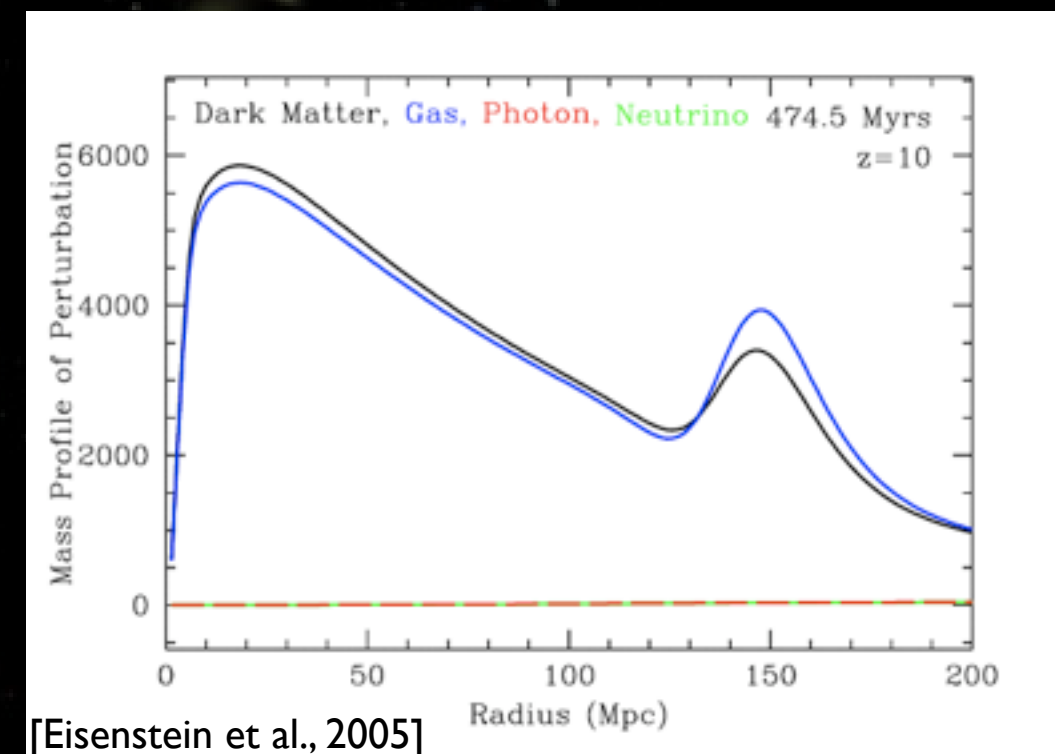
# Oscillations acoustiques de baryons

- Univers jeune: ionisé
  - ★ Photons et baryons couplés
  - ★ Propagation d'ondes de pression
- Découplage matière-rayonnement:  
Univers neutre
  - ★ Les photons s'échappent (CMB)
  - ★ Baryons: excès à l'horizon sonore (150 Mpc)
  - ★ Matière noire restée au centre
  - ★ Un excès demeure à 150 Mpc

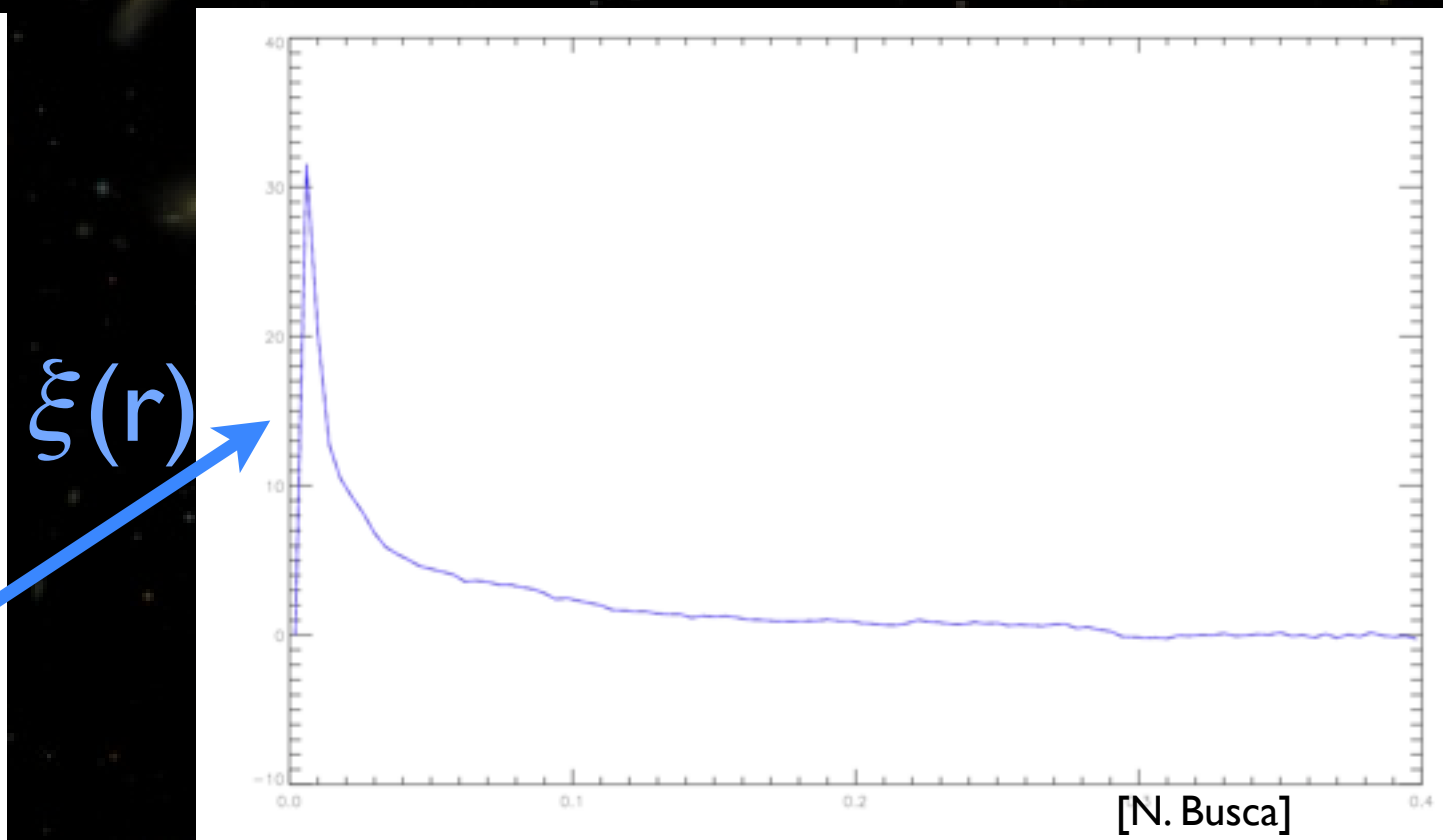
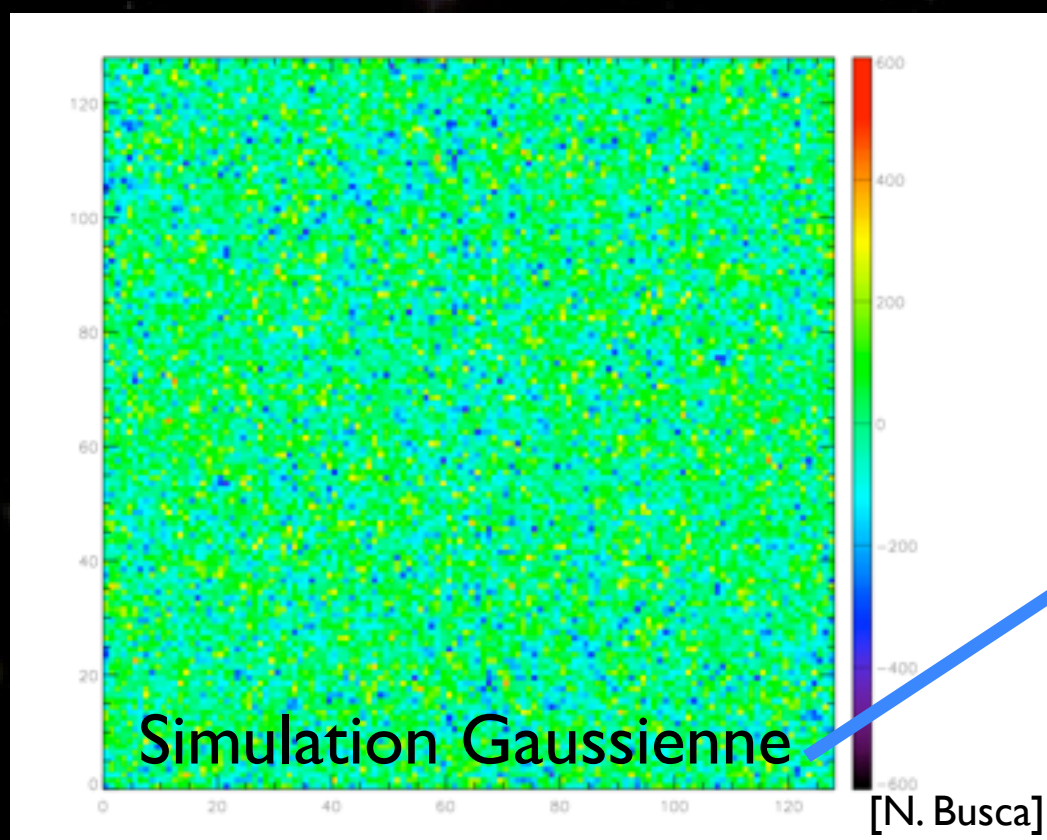


# Oscillations acoustiques de baryons

- Univers jeune: ionisé
  - ★ Photons et baryons couplés
  - ★ Propagation d'ondes de pression
- Découplage matière-rayonnement:  
Univers neutre
  - ★ Les photons s'échappent (CMB)
  - ★ Baryons: excès à l'horizon sonore (150 Mpc)
  - ★ Matière noire restée au centre
  - ★ Un excès demeure à 150 Mpc



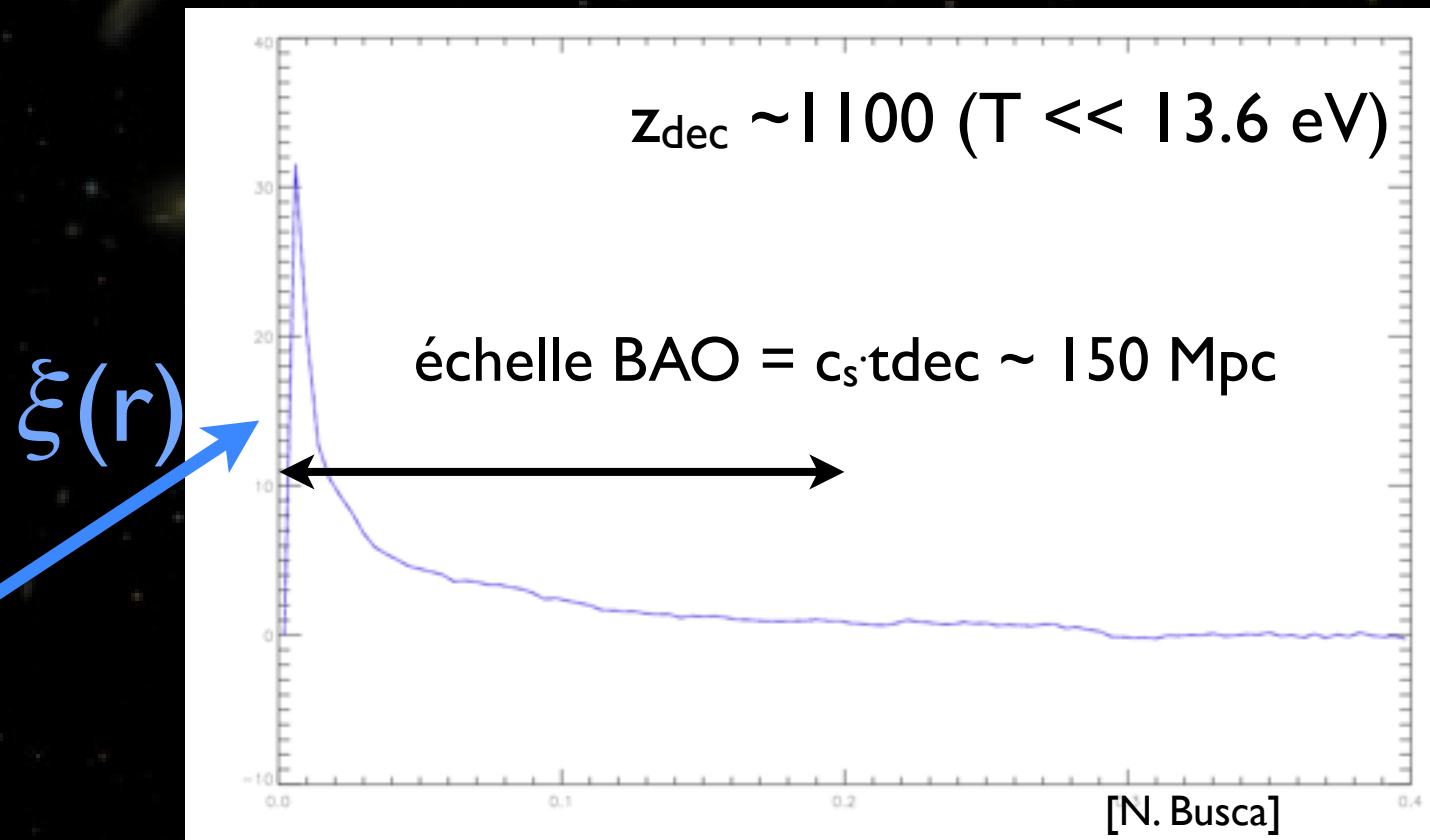
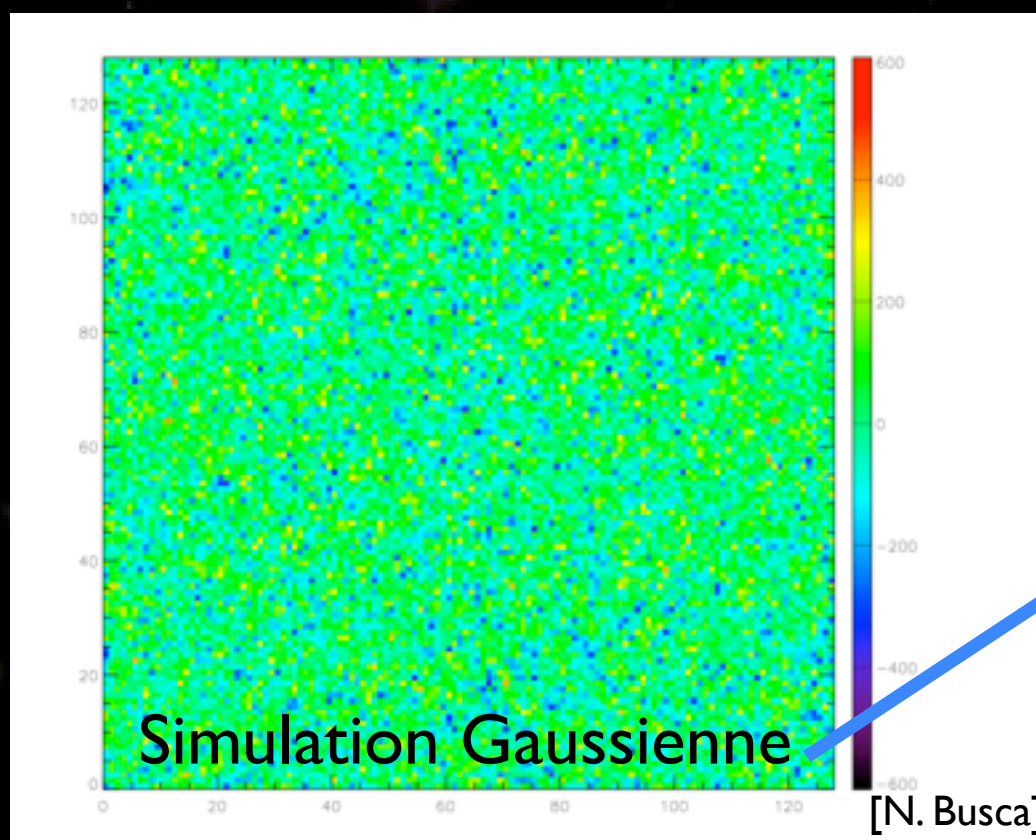
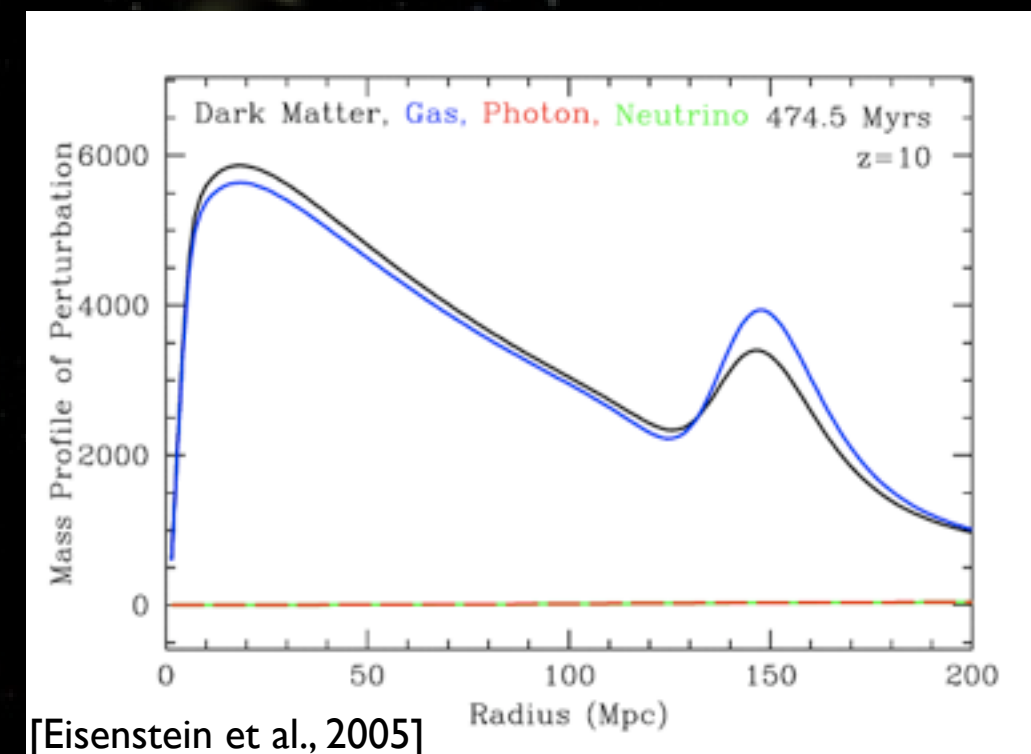
[Eisenstein et al., 2005]



[N. Busca]

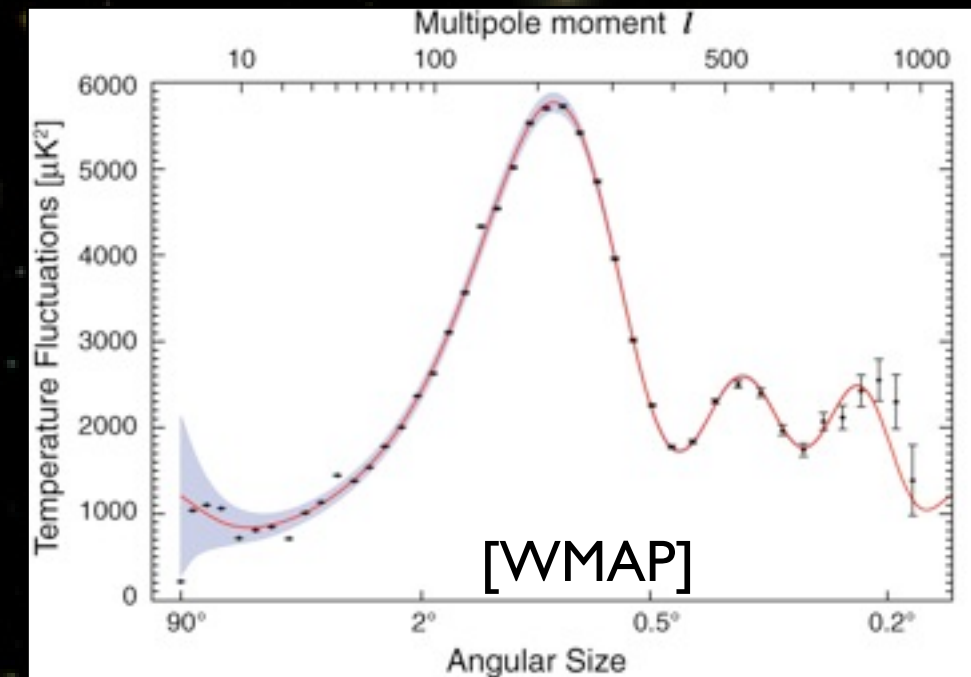
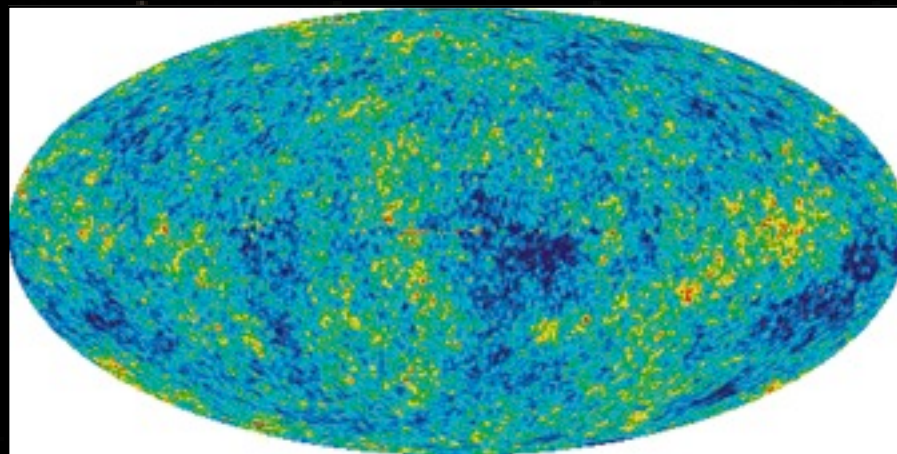
# Oscillations acoustiques de baryons

- Univers jeune: ionisé
  - ★ Photons et baryons couplés
  - ★ Propagation d'ondes de pression
- Découplage matière-rayonnement:  
Univers neutre
  - ★ Les photons s'échappent (CMB)
  - ★ Baryons: excès à l'horizon sonore (150 Mpc)
  - ★ Matière noire restée au centre
  - ★ Un excès demeure à 150 Mpc

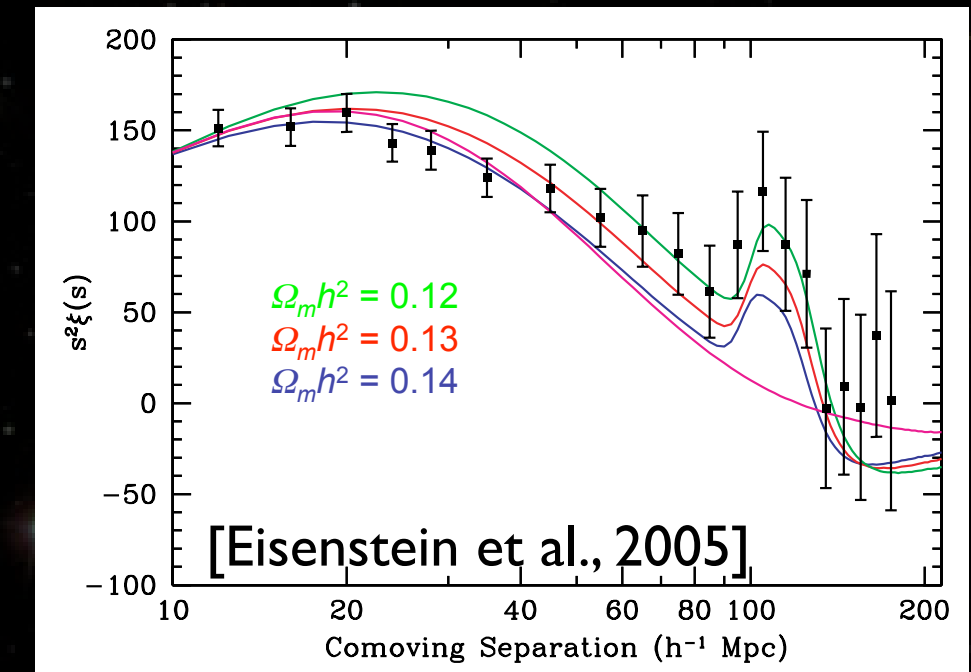
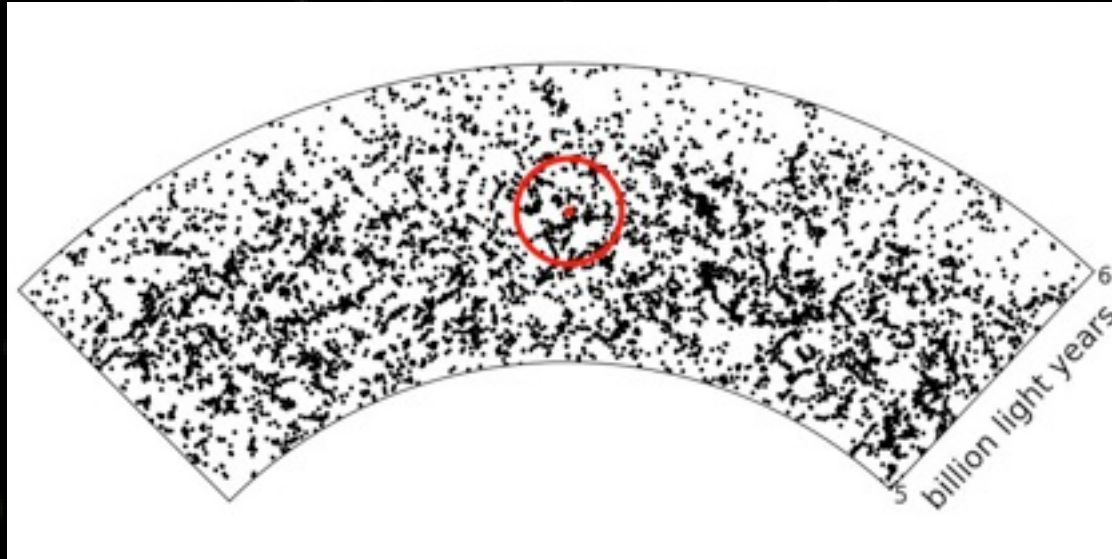


# Observations des BAO

- CMB

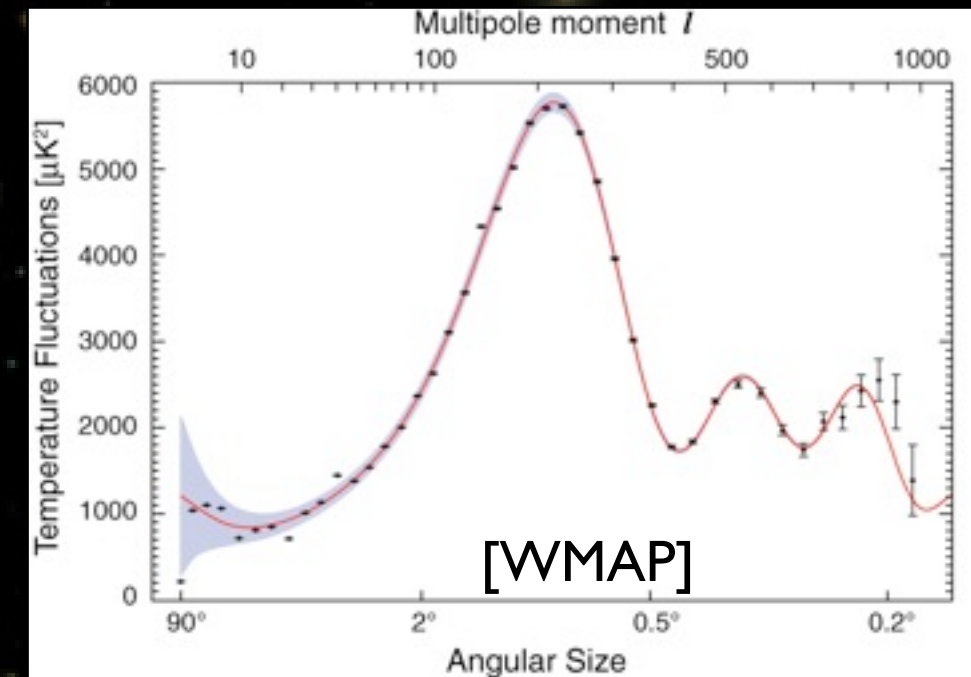
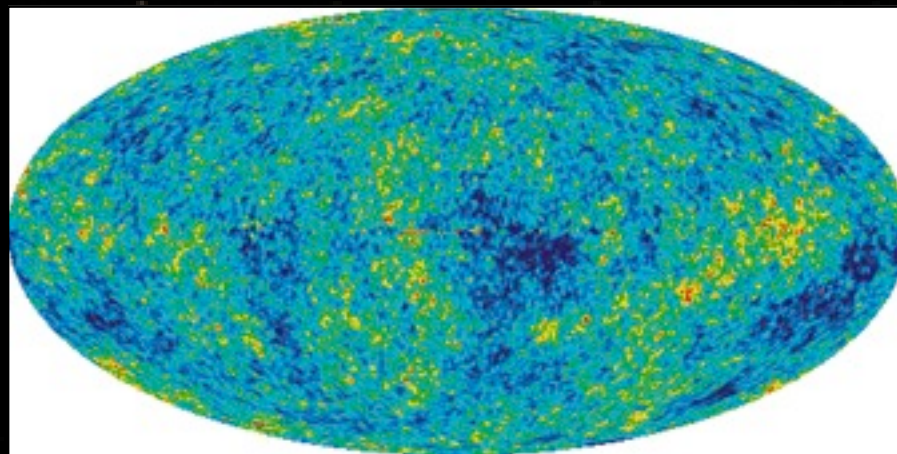


- Galaxies

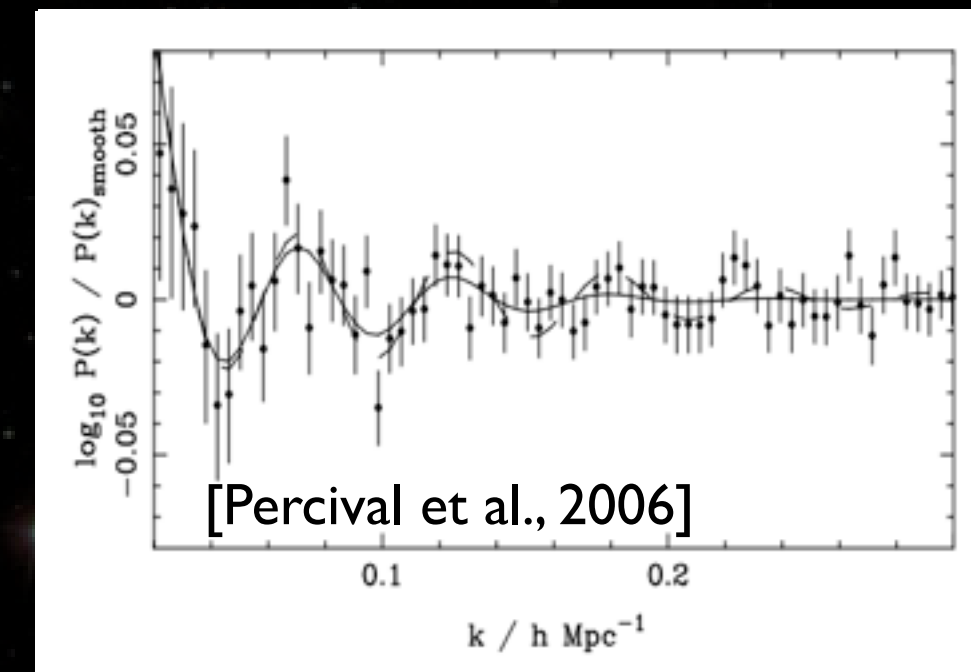
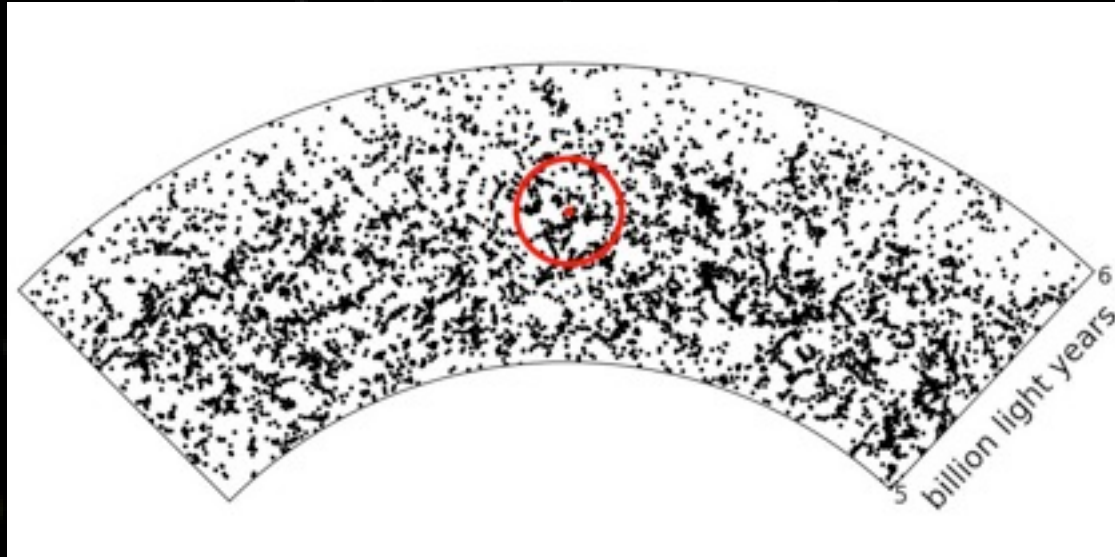


# Observations des BAO

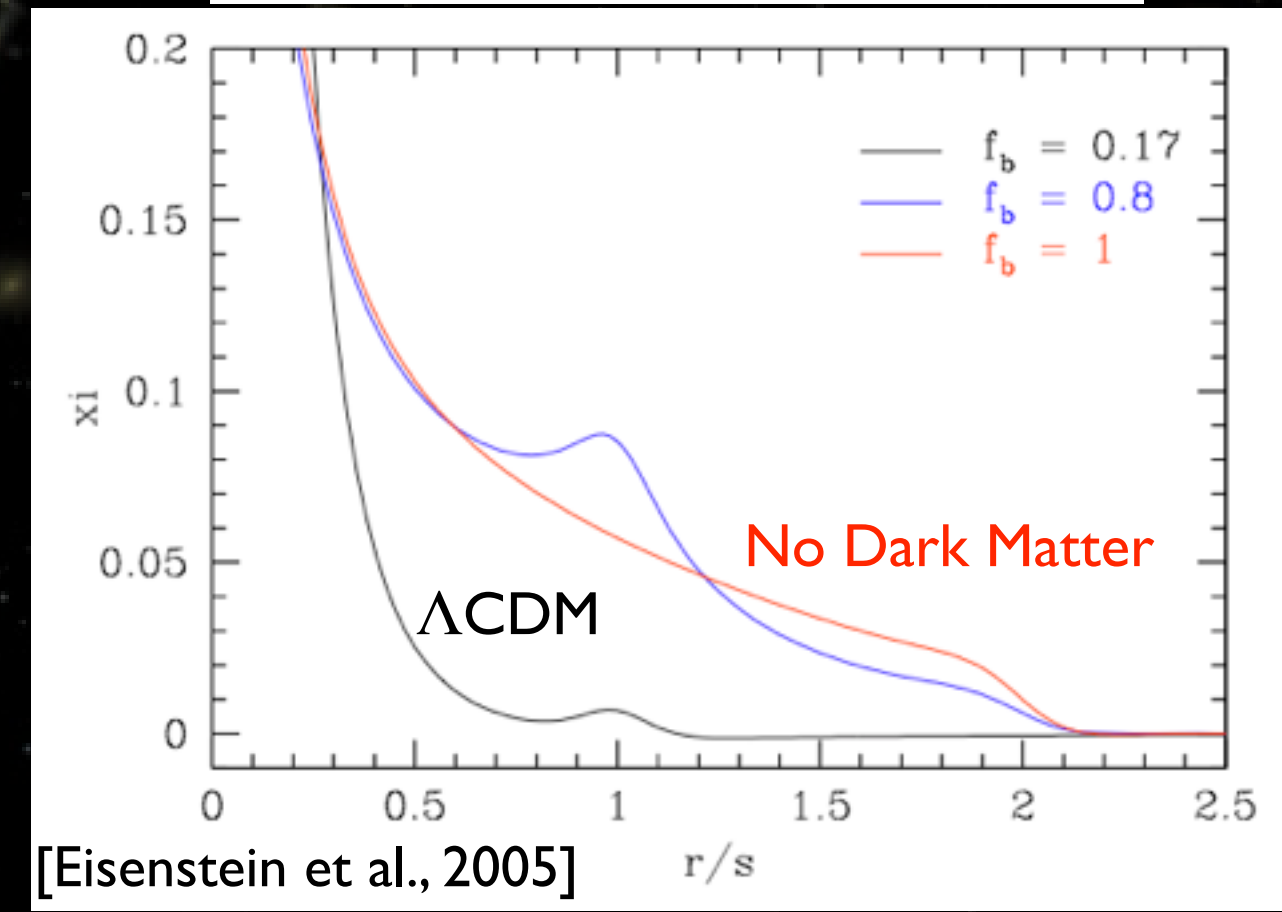
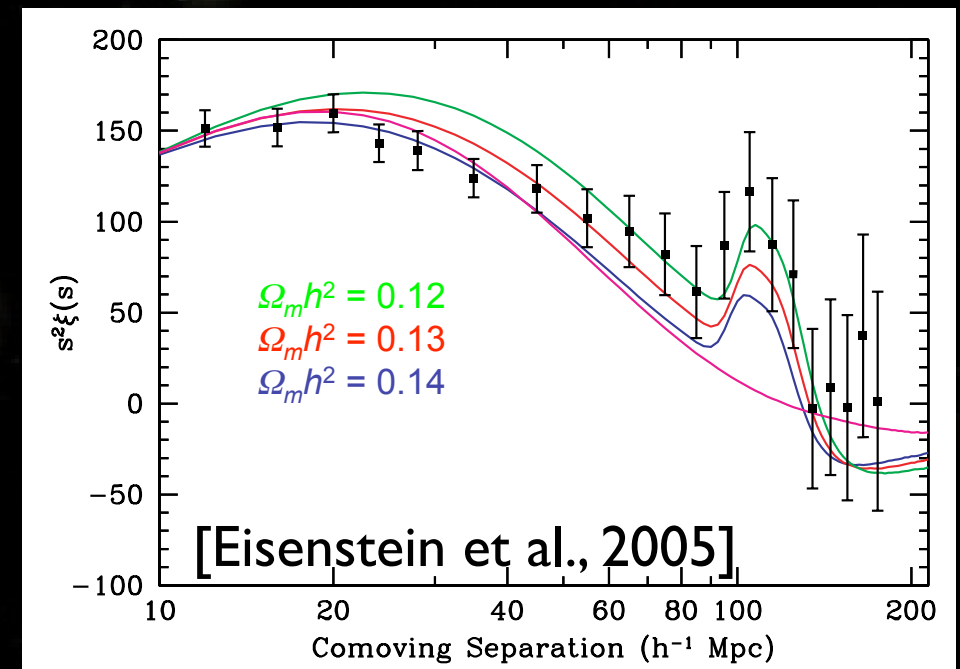
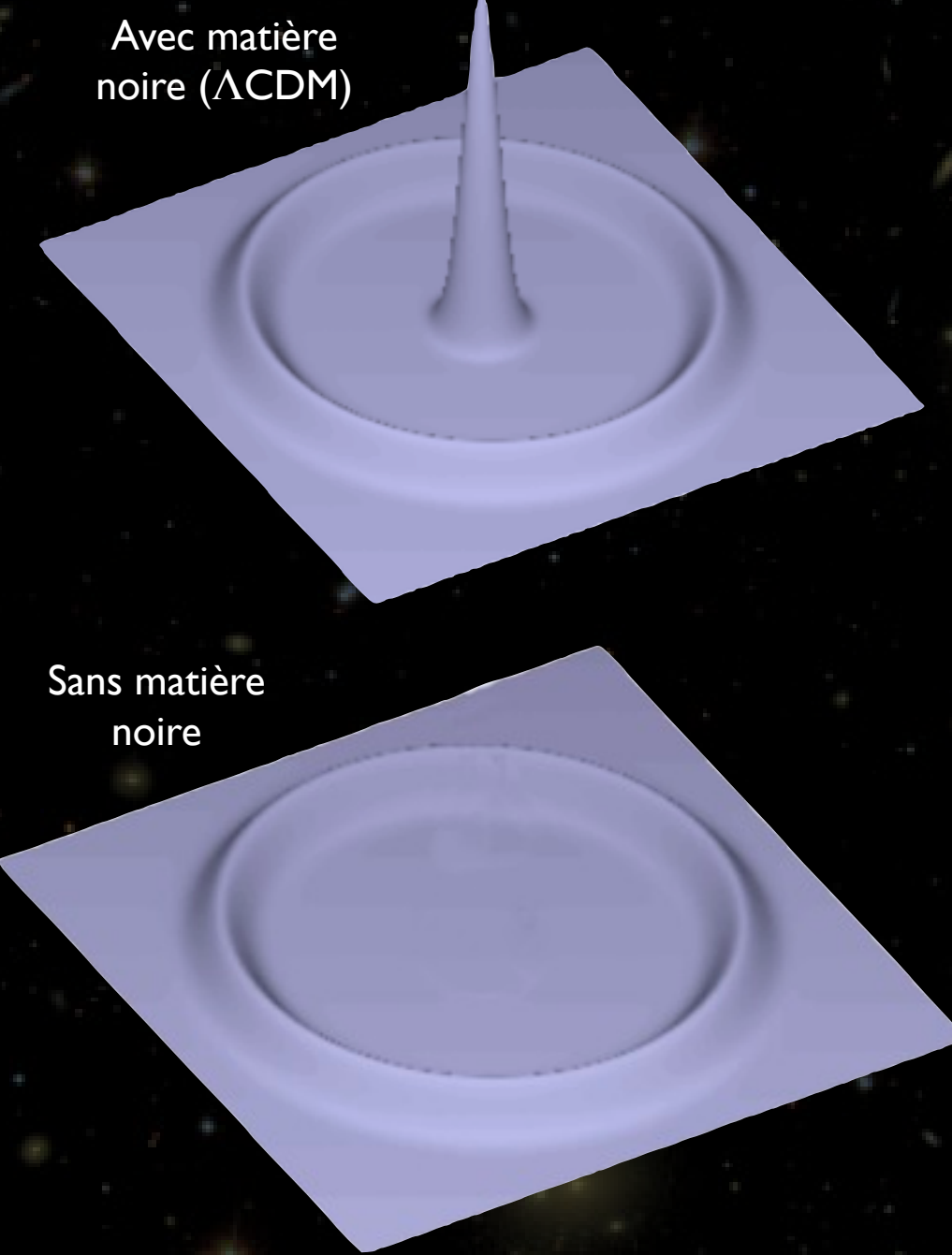
- CMB



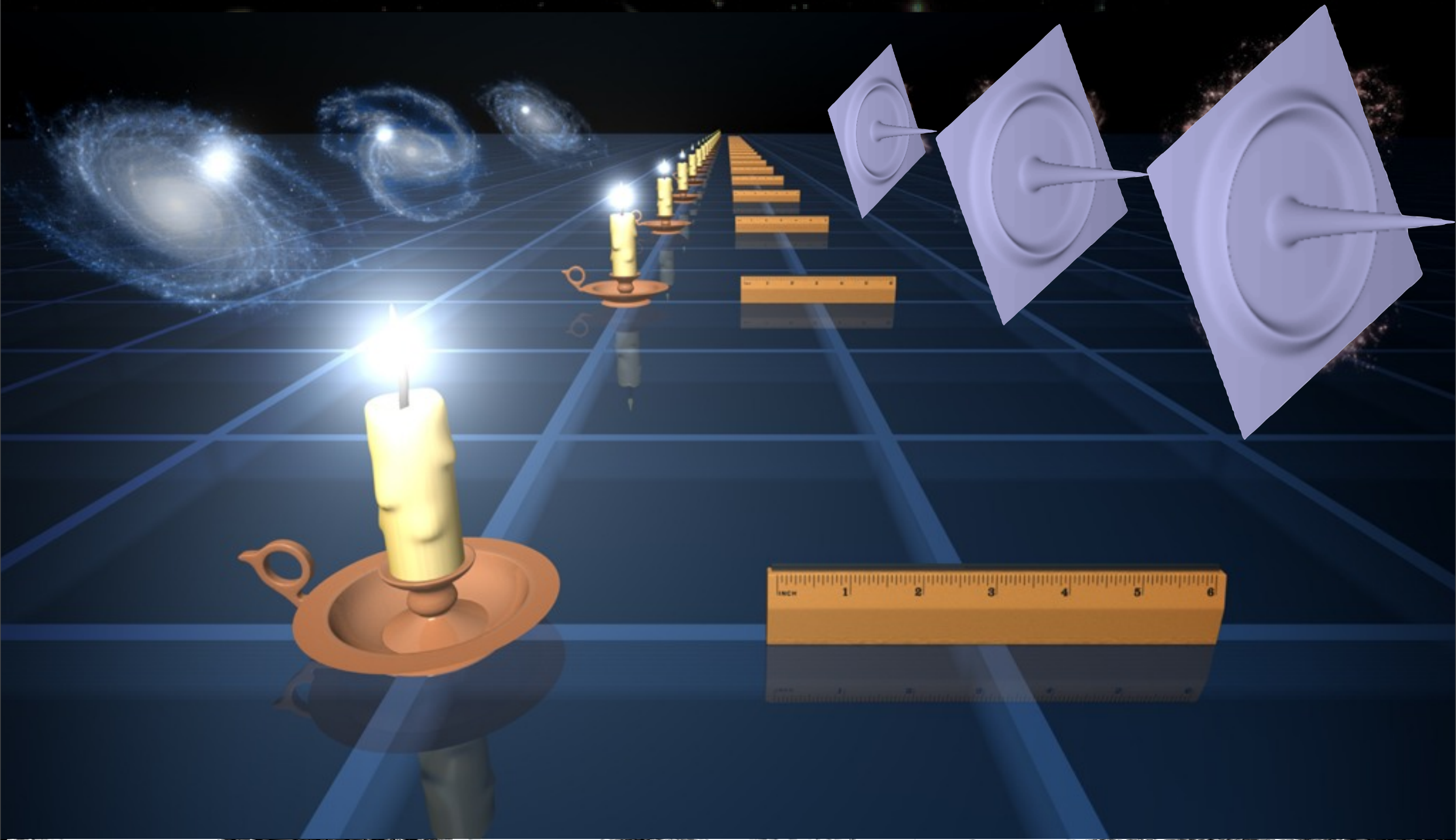
- Galaxies



# BAO et matière noire



# BAO: Règle standard



# BAO 3D ou isotropisées ?

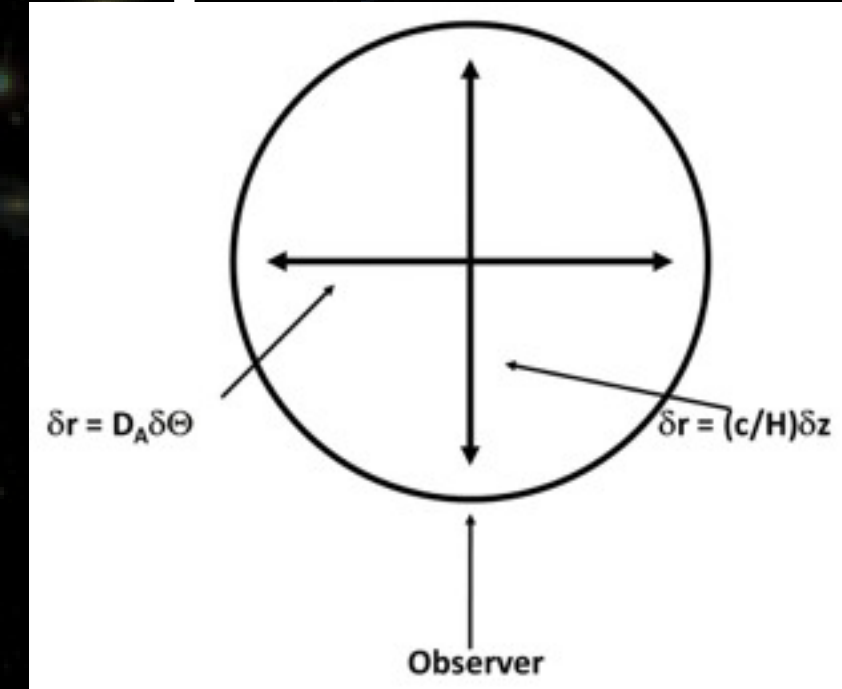
- Rappel:

- ★ Direction transverse:

- Distance angulaire :  $D_a(z) \propto \int \frac{dz}{H(z)}$

- ★ Direction radiale:

- épaisseur en z :  $\Delta z \propto \frac{1}{H(z)}$



- Mesures 3D:

- ★  $r_{\perp}$  (2D) et  $r_{\parallel}$  (1D)

- ★ Informations cosmo complémentaires

- ★ Symétrique dans la bonne cosmo

- ★ Test de Alcock-Paczynski (1979)

- Mesures isotropisées

- ★  $\xi(r) = \xi(\sqrt{r_{\parallel}^2 + r_{\perp}^2})$

- ★ sensible à  $D_v(z)$

$$D_v(z) = [D_a^2(z)cz/H(z)]^{1/3}$$



# BAO 3D ou isotropisées ?

- Rappel:

- ★ Direction transverse:

- Distance angulaire :  $D_a(z) \propto \int \frac{dz}{H(z)}$

- ★ Direction radiale:

- épaisseur en z :  $\Delta z \propto \frac{1}{H(z)}$

- Mesures 3D:

- ★  $r_{\perp}$  (2D) et  $r_{\parallel}$  (1D)

- ★ Informations cosmo complémentaires

- ★ Symétrique dans la bonne cosmo

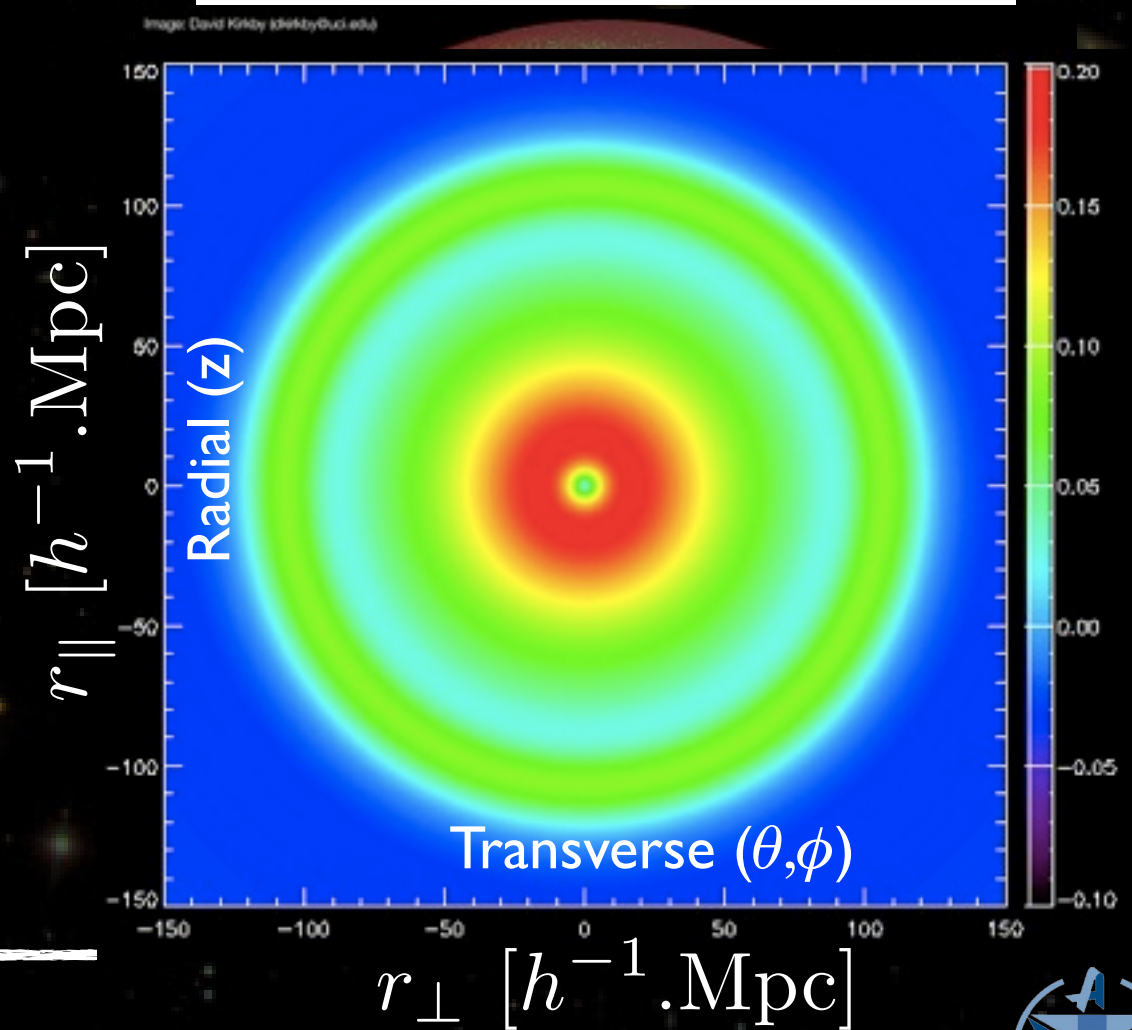
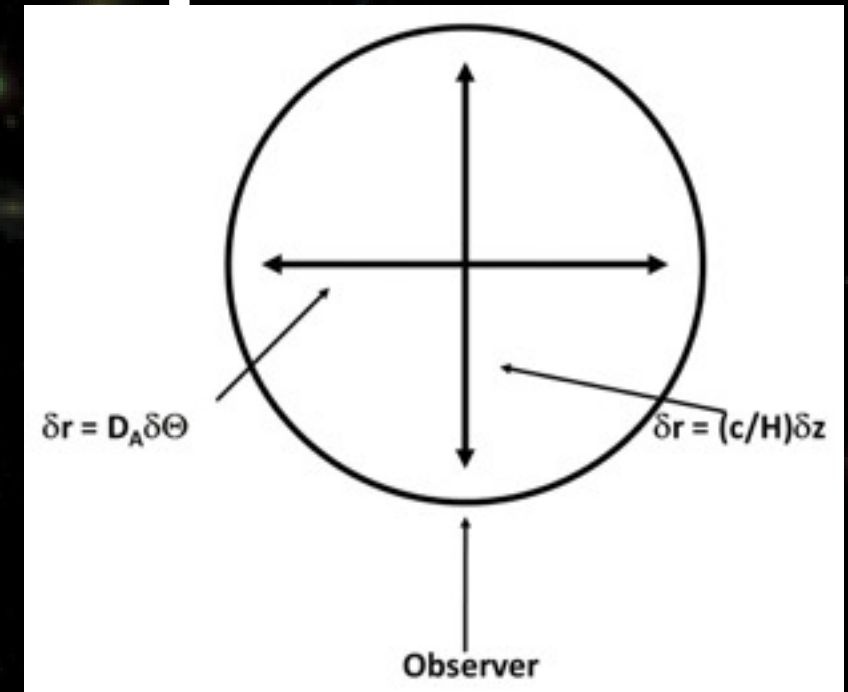
- ★ Test de Alcock-Paczynski (1979)

- Mesures isotropisées

- ★  $\xi(r) = \xi(\sqrt{r_{\parallel}^2 + r_{\perp}^2})$

- ★ sensible à  $Dv(z)$

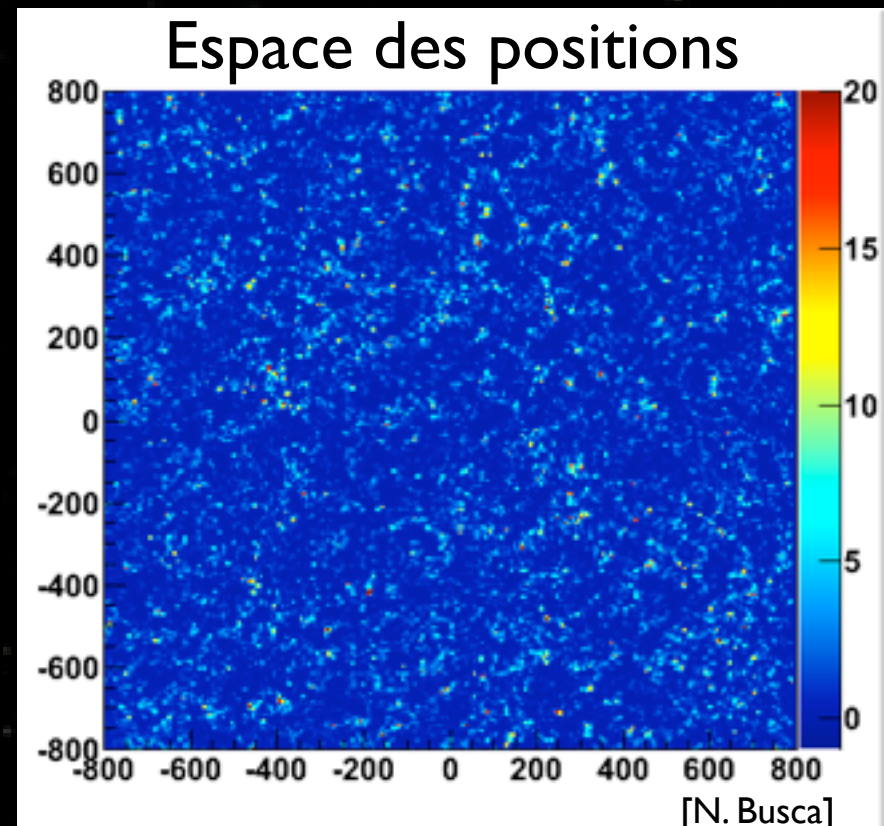
$$D_v(z) = [D_a^2(z)cz/H(z)]^{1/3}$$



# BAO dans le «vrai monde»

## ● Redshift space distortions

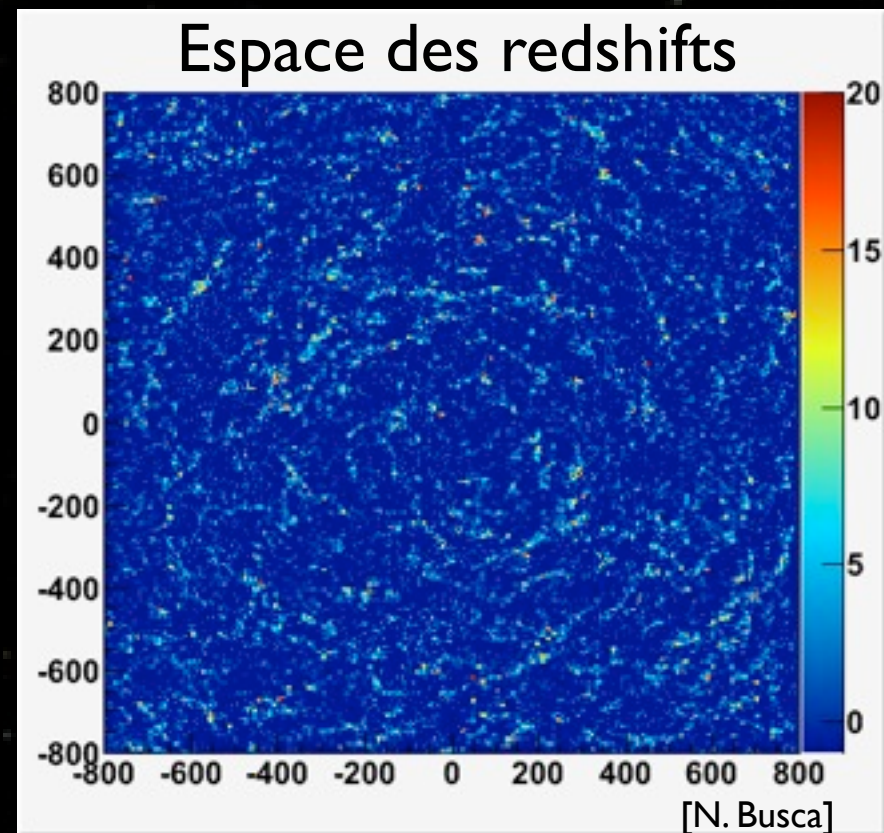
- ★ On ne mesure pas les positions des galaxies
- ★ On mesure  $(\theta, \phi, z)$
- ★  $z$  est affecté de distorsions:  $z_{\text{mes}} = z_{\text{vrai}} + z_{\text{pec}}$ 
  - Effet Kaiser (grandes échelles):
    - chute des galaxies dans les potentiels de DM
    - Augmente le rapport S/N du clustering
  - Doigts de Dieu (amas virialisés: petites échelles):
    - Vitesses aléatoires des galaxies



# BAO dans le «vrai monde»

## ● Redshift space distortions

- ★ On ne mesure pas les positions des galaxies
- ★ On mesure  $(\theta, \phi, z)$
- ★  $z$  est affecté de distorsions:  $z_{\text{mes}} = z_{\text{vrai}} + z_{\text{pec}}$ 
  - Effet Kaiser (grandes échelles):
    - chute des galaxies dans les potentiels de DM
    - Augmente le rapport S/N du clustering
  - Doigts de Dieu (amas virialisés: petites échelles):
    - Vitesses aléatoires des galaxies



# BAO dans le «vrai monde»

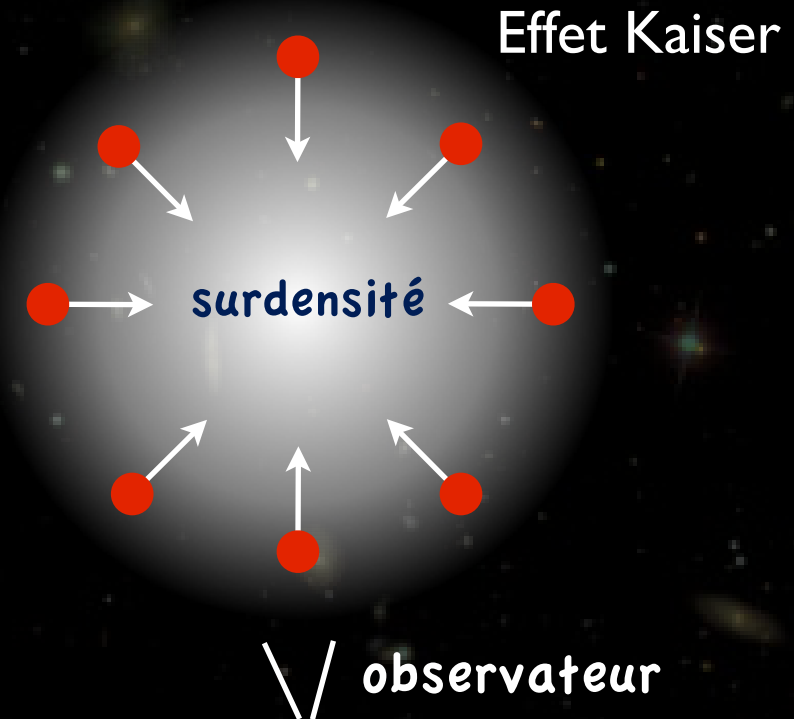
## ● Redshift space distortions

- ★ On ne mesure pas les positions des galaxies
- ★ On mesure  $(\theta, \phi, z)$
- ★  $z$  est affecté de distorsions:  $z_{\text{mes}} = z_{\text{vrai}} + z_{\text{pec}}$ 
  - Effet Kaiser (grandes échelles):
    - chute des galaxies dans les potentiels de DM
    - Augmente le rapport S/N du clustering
  - Doigts de Dieu (amas virialisés: petites échelles):
    - Vitesses aléatoires des galaxies

# BAO dans le «vrai monde»

## ● Redshift space distortions

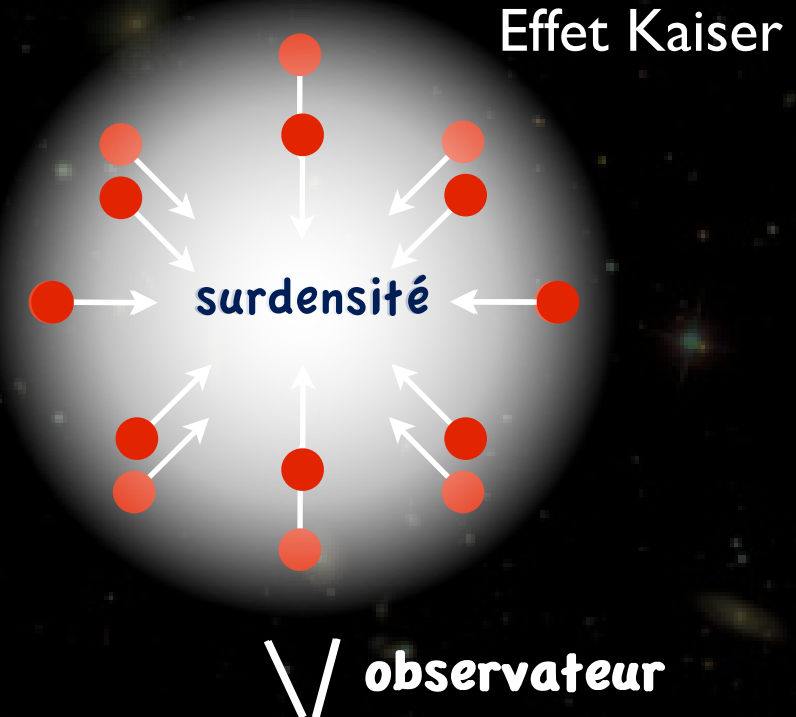
- ★ On ne mesure pas les positions des galaxies
- ★ On mesure  $(\theta, \phi, z)$
- ★  $z$  est affecté de distorsions:  $z_{\text{mes}} = z_{\text{vrai}} + z_{\text{pec}}$ 
  - Effet Kaiser (grandes échelles):
    - chute des galaxies dans les potentiels de DM
    - Augmente le rapport S/N du clustering
  - Doigts de Dieu (amas virialisés: petites échelles):
    - Vitesses aléatoires des galaxies



# BAO dans le «vrai monde»

## ● Redshift space distortions

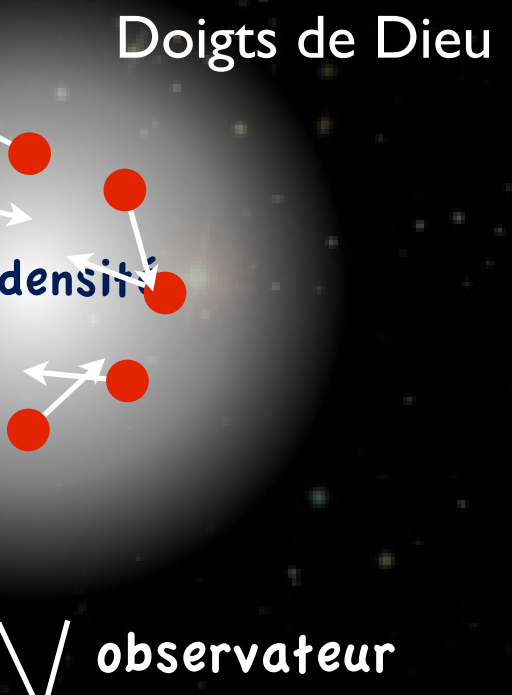
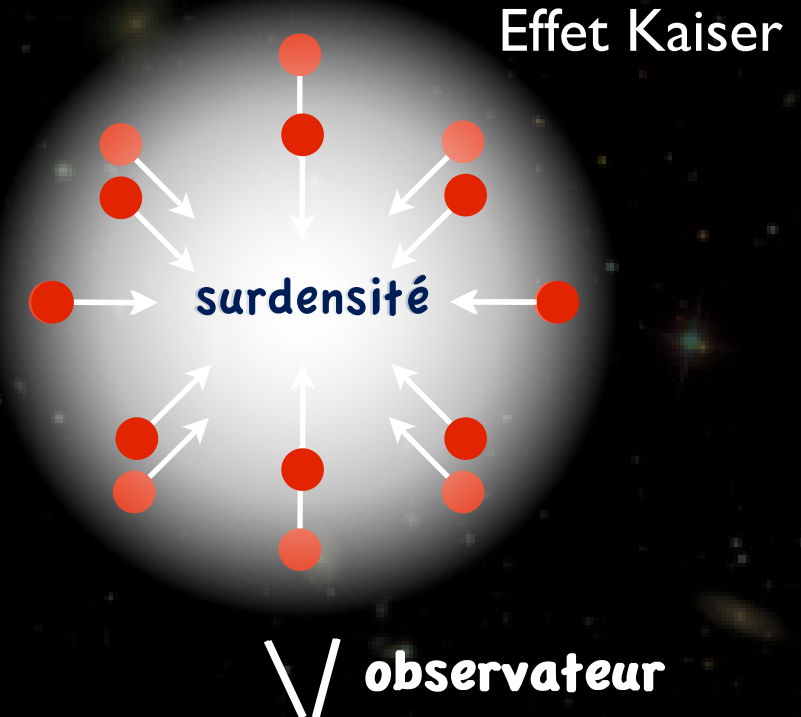
- ★ On ne mesure pas les positions des galaxies
- ★ On mesure  $(\theta, \phi, z)$
- ★  $z$  est affecté de distorsions:  $z_{\text{mes}} = z_{\text{vrai}} + z_{\text{pec}}$ 
  - Effet Kaiser (grandes échelles):
    - chute des galaxies dans les potentiels de DM
    - Augmente le rapport S/N du clustering
  - Doigts de Dieu (amas virialisés: petites échelles):
    - Vitesses aléatoires des galaxies



# BAO dans le «vrai monde»

## ● Redshift space distortions

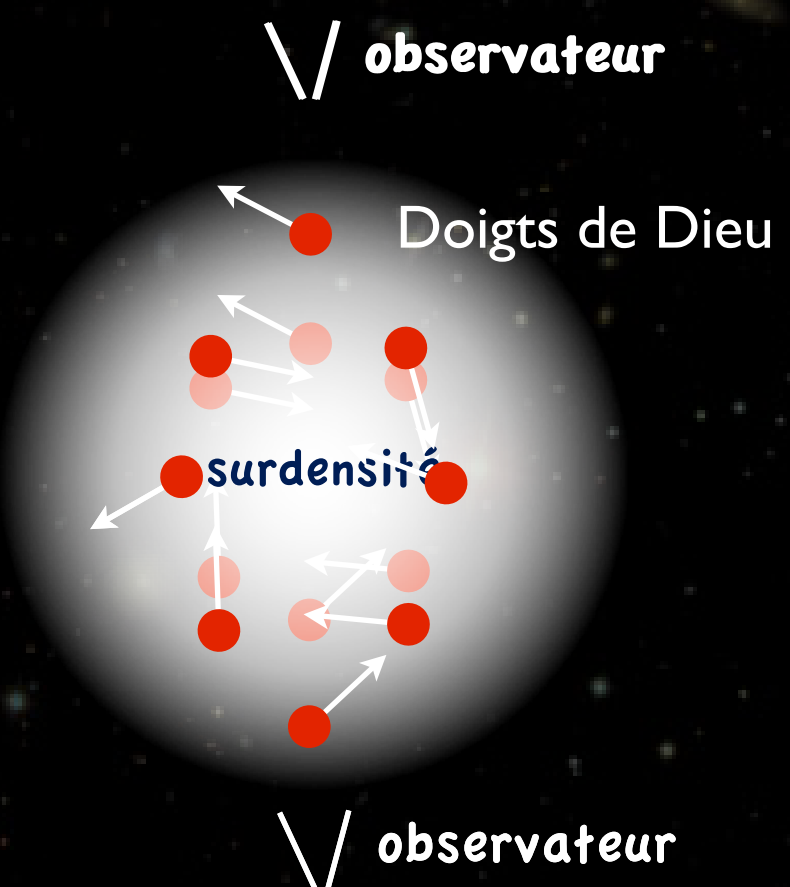
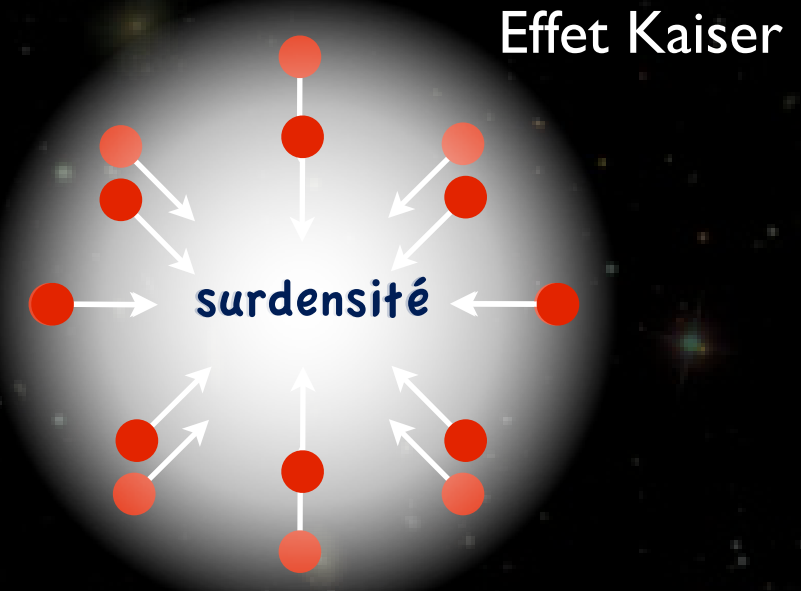
- ★ On ne mesure pas les positions des galaxies
- ★ On mesure  $(\theta, \phi, z)$
- ★  $z$  est affecté de distorsions:  $z_{\text{mes}} = z_{\text{vrai}} + z_{\text{pec}}$ 
  - Effet Kaiser (grandes échelles):
    - chute des galaxies dans les potentiels de DM
    - Augmente le rapport S/N du clustering
  - Doigts de Dieu (amas virialisés: petites échelles):
    - Vitesses aléatoires des galaxies



# BAO dans le «vrai monde»

## ● Redshift space distortions

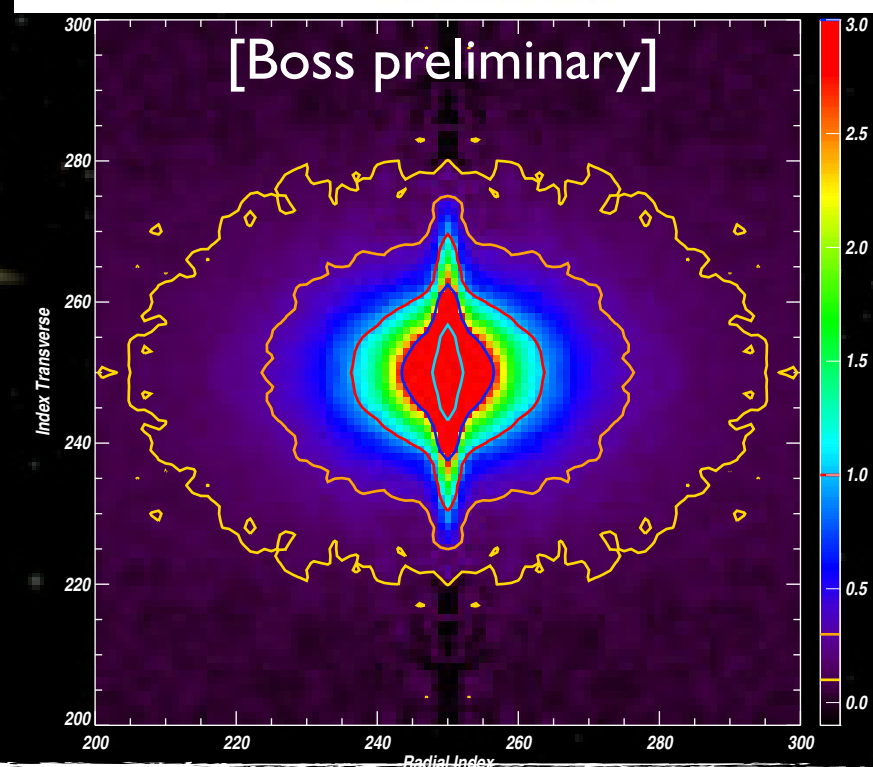
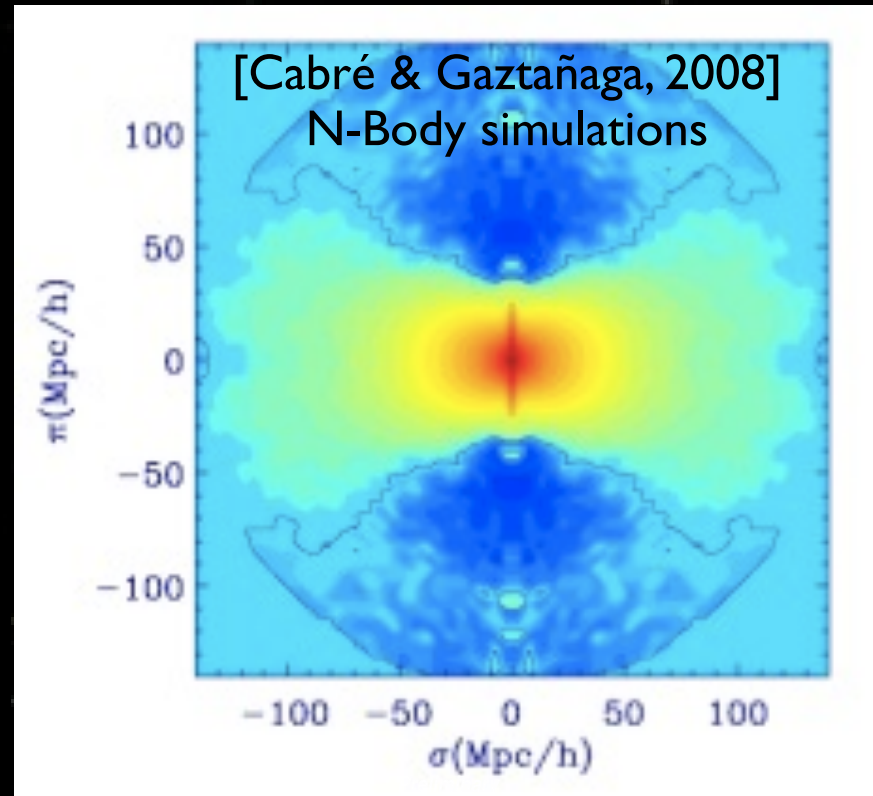
- ★ On ne mesure pas les positions des galaxies
- ★ On mesure  $(\theta, \phi, z)$
- ★  $z$  est affecté de distorsions:  $z_{\text{mes}} = z_{\text{vrai}} + z_{\text{pec}}$ 
  - Effet Kaiser (grandes échelles):
    - chute des galaxies dans les potentiels de DM
    - Augmente le rapport S/N du clustering
  - Doigts de Dieu (amas virialisés: petites échelles):
    - Vitesses aléatoires des galaxies



# BAO dans le «vrai monde»

## ● Redshift space distortions

- ★ On ne mesure pas les positions des galaxies
- ★ On mesure  $(\theta, \phi, z)$
- ★  $z$  est affecté de distorsions:  $z_{\text{mes}} = z_{\text{vrai}} + z_{\text{pec}}$ 
  - Effet Kaiser (grandes échelles):
    - chute des galaxies dans les potentiels de DM
    - Augmente le rapport S/N du clustering
  - Doigts de Dieu (amas virialisés: petites échelles):
    - Vitesses aléatoires des galaxies



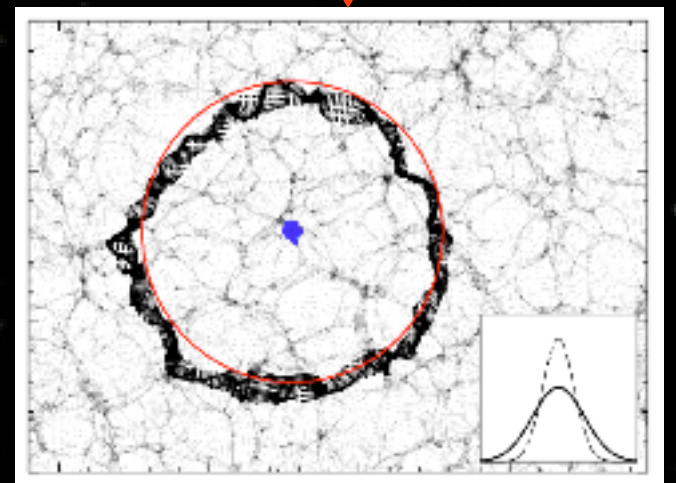
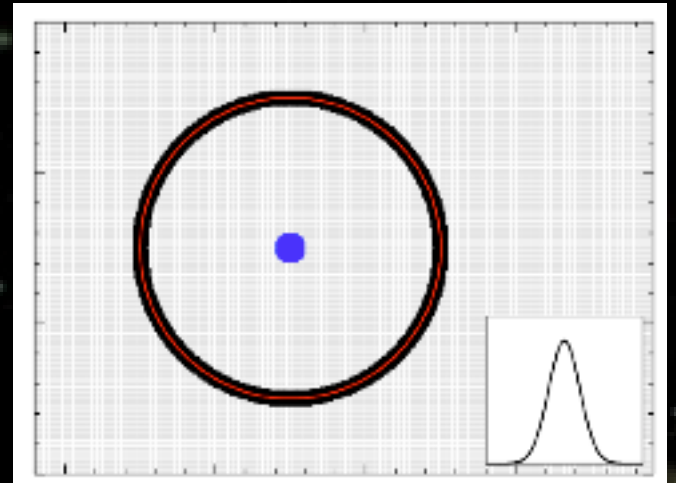
# BAO dans le «vrai monde»

## ● Redshift space distortions

- ★ On ne mesure pas les positions des galaxies
- ★ On mesure  $(\theta, \phi, z)$
- ★  $z$  est affecté de distorsions:  $z_{\text{mes}} = z_{\text{vrai}} + z_{\text{pec}}$ 
  - Effet Kaiser (grandes échelles):
    - chute des galaxies dans les potentiels de DM
    - Augmente le rapport S/N du clustering
  - Doigts de Dieu (amas virialisés: petites échelles):
    - Vitesses aléatoires des galaxies

- ★ Non linéarités:
  - effondrement gravitationnel non linéaire: lisse les structures aux petites échelles et à bas  $z$
- ★ Tout cela complique l'analyse...

Non linéarités:  
[Padmanabhan et al., 2012]



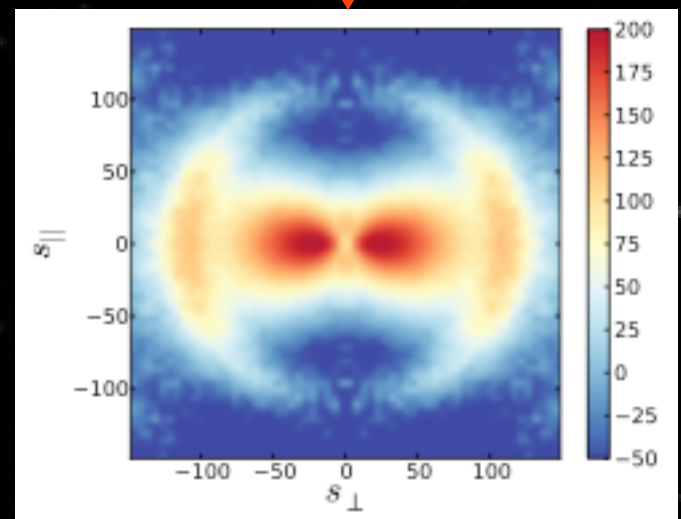
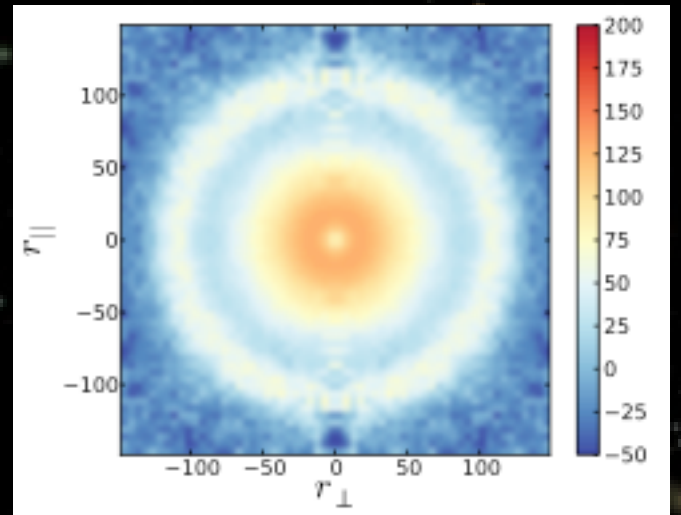
# BAO dans le «vrai monde»

## ● Redshift space distortions

- ★ On ne mesure pas les positions des galaxies
- ★ On mesure  $(\theta, \phi, z)$
- ★  $z$  est affecté de distorsions:  $z_{\text{mes}} = z_{\text{vrai}} + z_{\text{pec}}$ 
  - Effet Kaiser (grandes échelles):
    - chute des galaxies dans les potentiels de DM
    - Augmente le rapport S/N du clustering
  - Doigts de Dieu (amas virialisés: petites échelles):
    - Vitesses aléatoires des galaxies

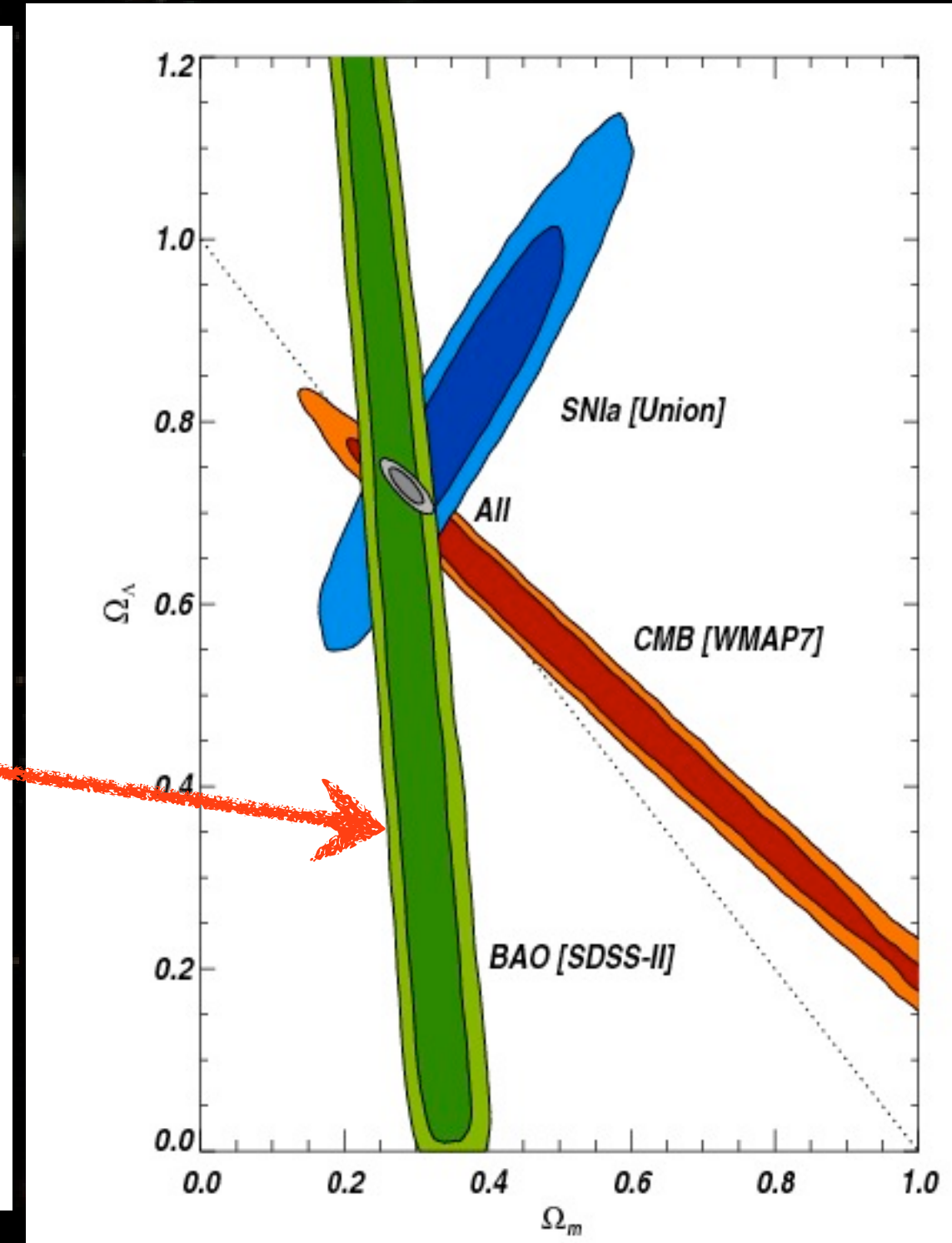
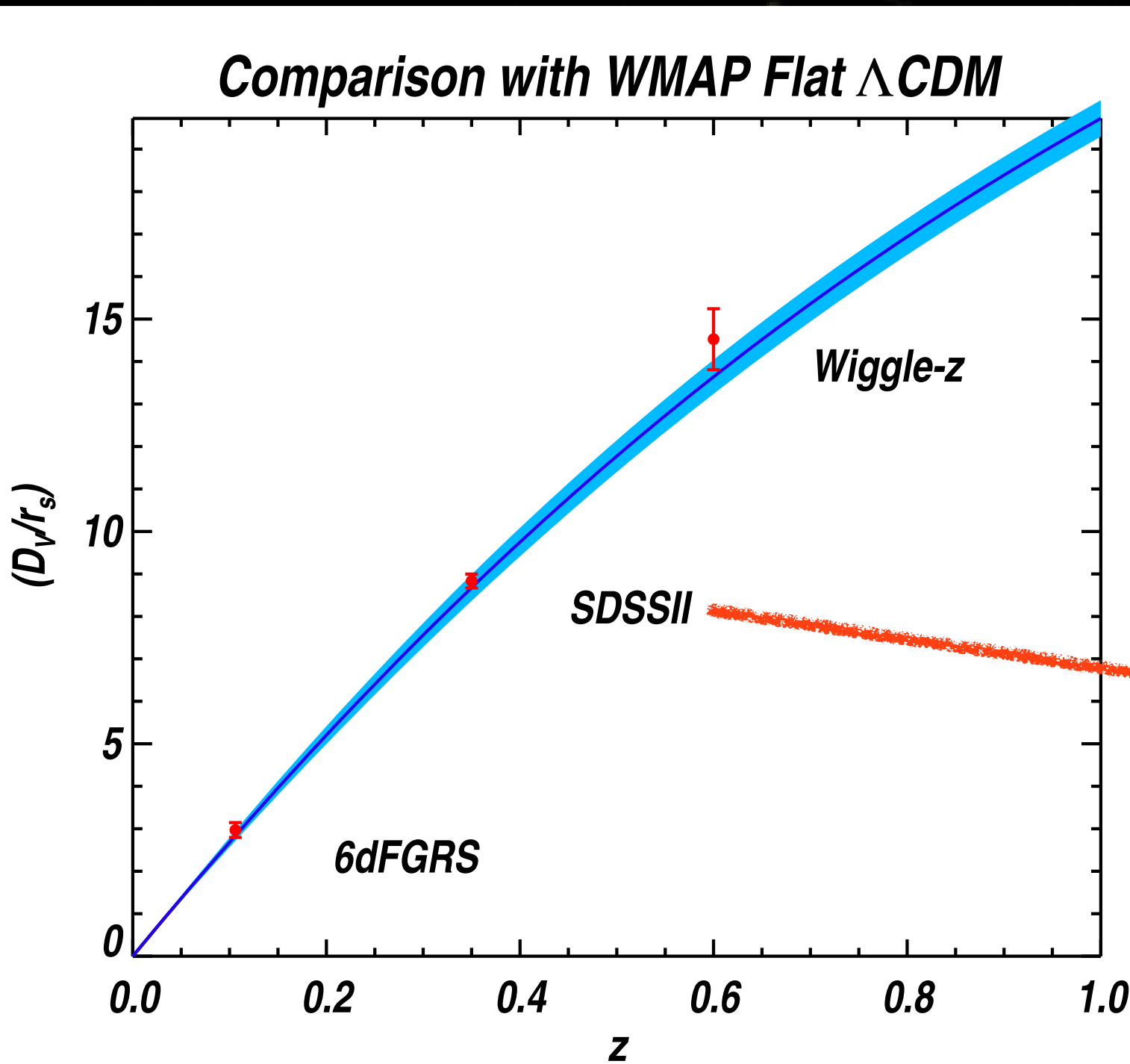
- ★ Non linéarités:
  - effondrement gravitationnel non linéaire: lisse les structures aux petites échelles et à bas  $z$
- ★ Tout cela complique l'analyse...

Non linéarités:  
[Padmanabhan et al., 2012]



Non linéarités + RSD

# Diagramme de Hubble BAO



# Programme

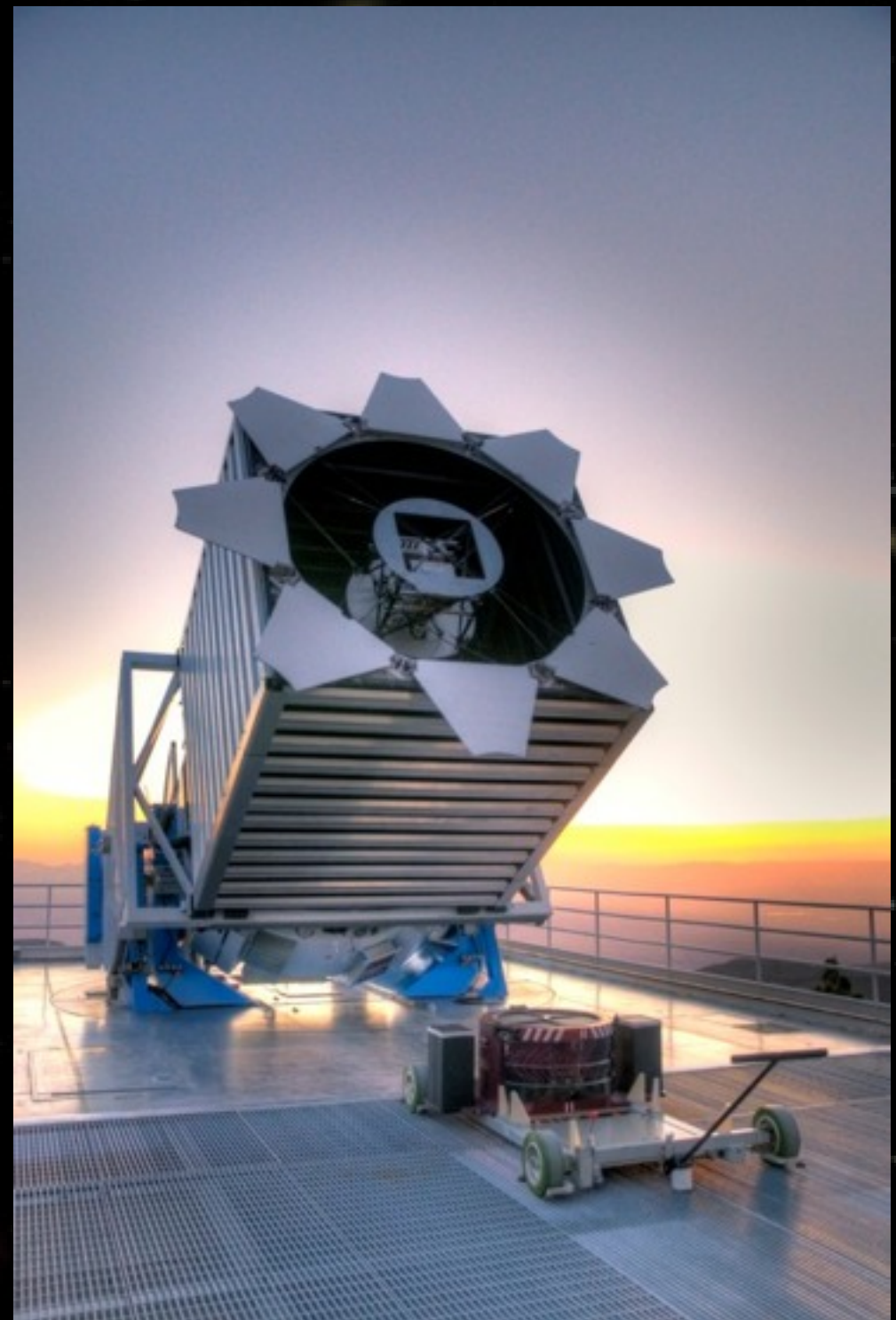
- Rappels cosmologiques
  - ★ Histoire de l'expansion, distances et paramètres cosmologiques
  - ★ Résultats sur l'Énergie sombre
  - ★ Oscillations acoustiques de baryons

- BOSS : Baryon Oscillations Spectroscopic Survey
  - ★ L'héritage de SDSS I et II
  - ★ SDSSIII / BOSS

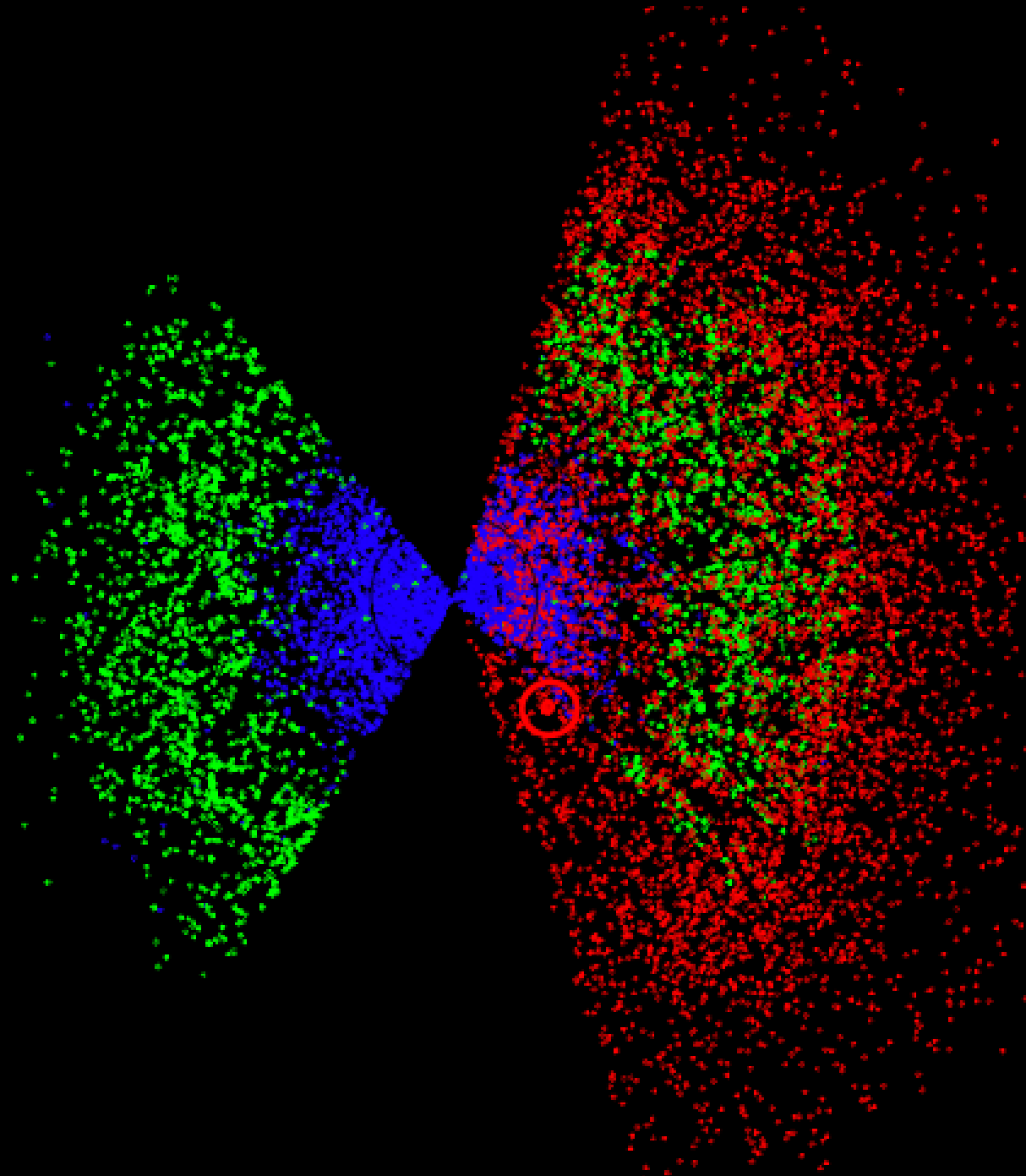
- La corrélation spatiale des LRG avec DR9
  - ★ Sélection de l'échantillon, complétude
  - ★ Fonction de corrélation à deux points, Spectre de puissance
  - ★ Contraintes cosmologiques
    - Principe des analyses
    - Résultats
- La corrélation spatiale dans la forêt Lyman-a
- Conclusions et perspectives

# SDSS-III / BOSS

- Projet principal de SDSS-III
  - ★ Telescope APO (Nouveau-Mexique)
  - ★ 2.5 m
- Relevé spectroscopique
  - ★ Photométrie de SDSS-II (targets)
  - ★ 2 spectros à deux bras: 1000 fibres
    - $3600 \text{ \AA} < \lambda < 10000 \text{ \AA}$
    - $\lambda/\Delta\lambda \sim 3000$
  - ★ 10000 degrés carrés :
    - 1.5 Millions de galaxies LRG ( $z \sim 0.7$ )
    - 150 000 Quasars avec forêt Ly- $\alpha$  à  $z \sim 2.5$
- Objectifs:
  - ★ Position du pic BAO à
    - 1% à  $z=0.6$
    - 1.5% à  $z=2.5$
  - ★ Meilleures contraintes sur l'énergie sombre avant la prochaine génération



# BOSS LRG Vs. SDSS-II

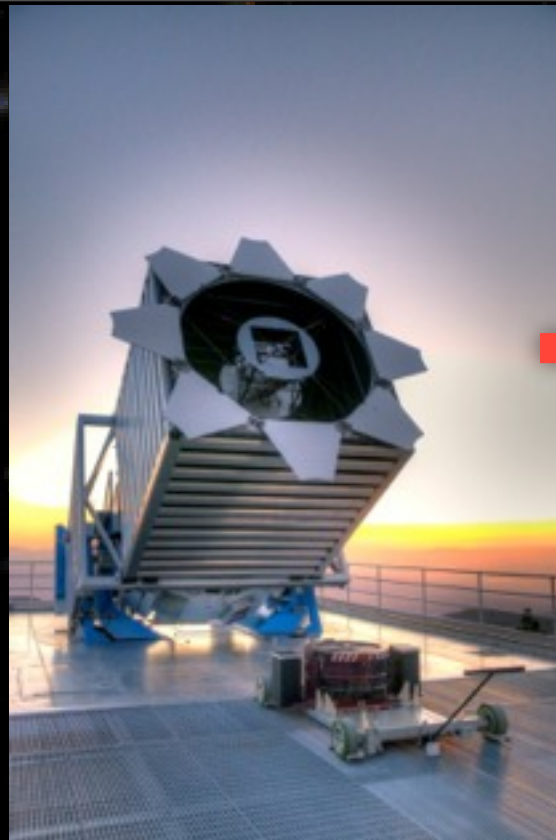


- 2x volume
- 5x density
- 10x statistics
- 1,600,000 LRGs

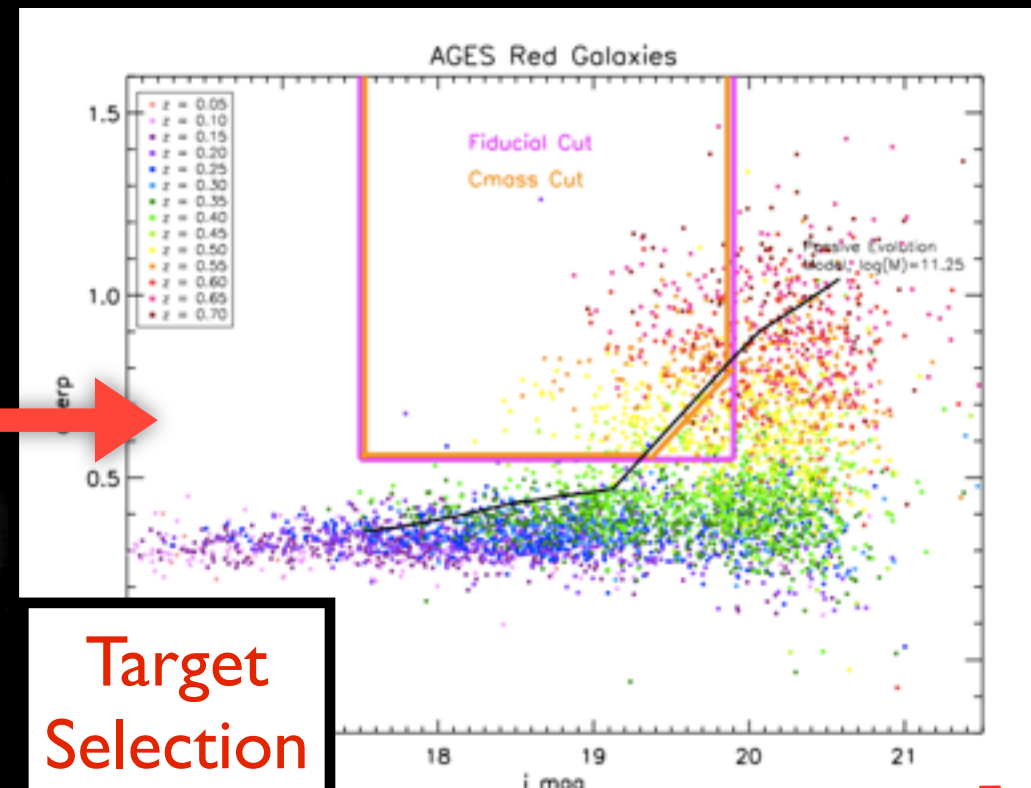
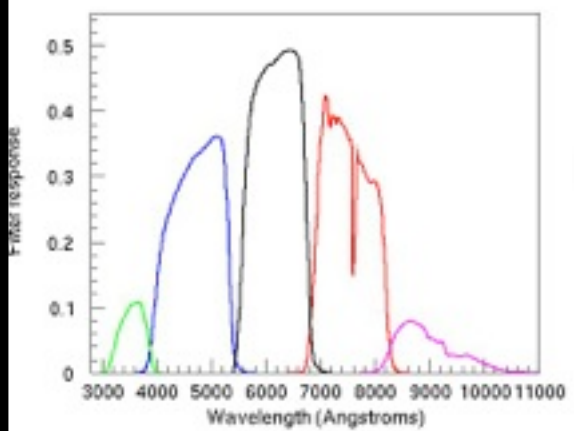
SDSS main sample

SDSS I+II

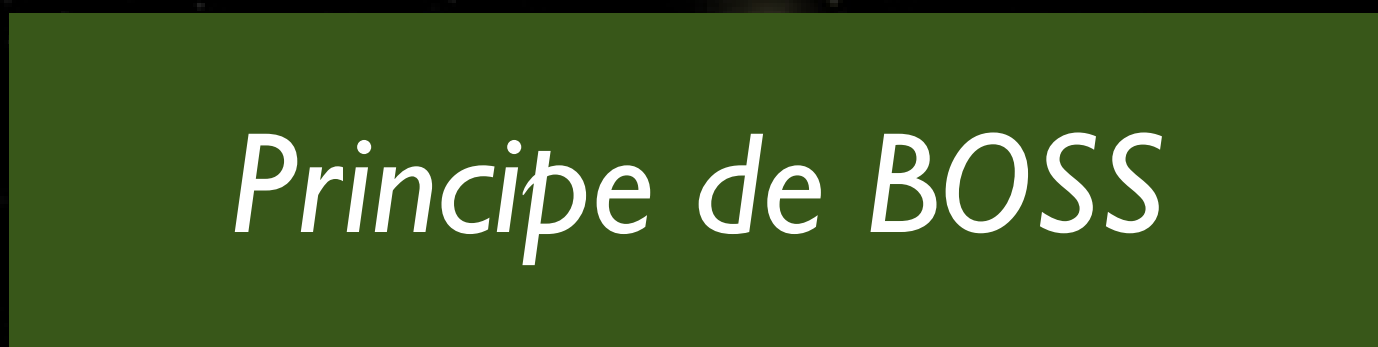
BOSS (SDSS III)



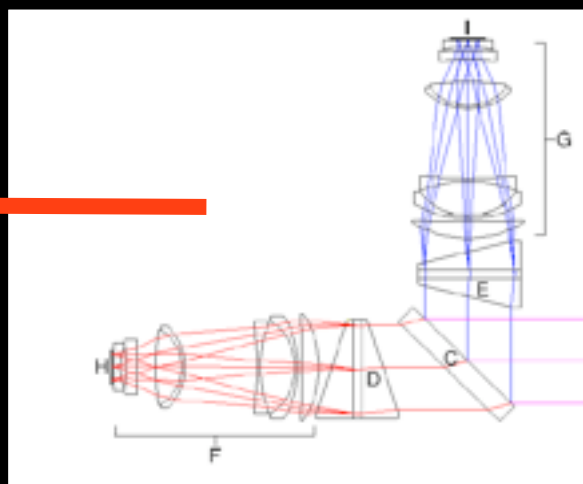
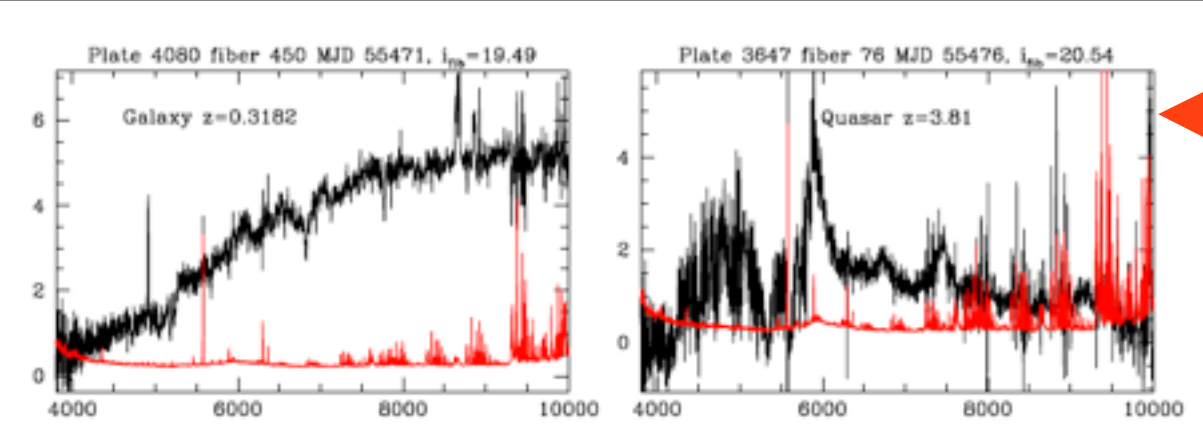
## Photometric Survey



## Target Selection



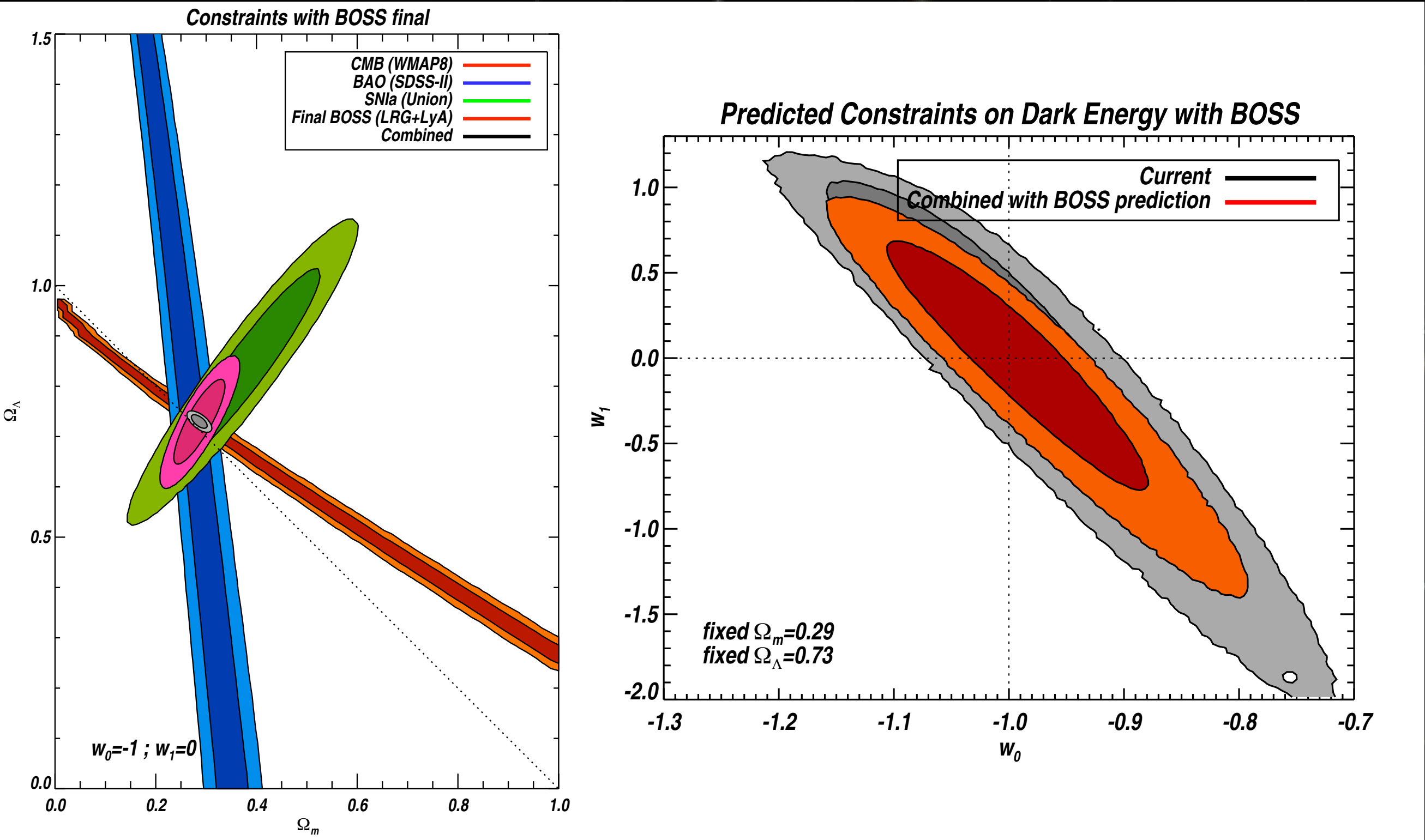
## Spectroscopic Survey



## Tiling

# Perspectives sur D.E.

[Tiré de M.Vargas]



# Programme

- Rappels cosmologiques
  - ★ Histoire de l'expansion, distances et paramètres cosmologiques
  - ★ Résultats sur l'Énergie sombre
  - ★ Oscillations acoustiques de baryons
- BOSS : Baryon Oscillations Spectroscopic Survey
  - ★ L'héritage de SDSS I et II
  - ★ SDSSIII / BOSS
- La corrélation spatiale des LRG avec DR9
  - ★ Sélection de l'échantillon, complétude
  - ★ Fonction de corrélation à deux points, Spectre de puissance
  - ★ Contraintes cosmologiques
    - Principe des analyses
    - Résultats
- La corrélation spatiale dans la forêt Lyman-a
- Conclusions et perspectives

# Recent articles

## Overview: galaxy distance measurements, analysis, and interpretations

Anderson, L. M. et al. 2012, [The clustering of galaxies in the SDSS-III Baryon Oscillation Spectroscopic Survey: Baryon Acoustic Oscillations in the Data Release 9 Spectroscopic Galaxy Sample](#), submitted to *Monthly Notices of the Royal Astronomical Society* and available on the [arXiv preprint server \(1203.6594\)](#).

## Implications for cosmology

Sánchez, A. G. et al. 2012, [The clustering of galaxies in the SDSS-III Baryon Oscillation Spectroscopic Survey: cosmological implications of the large-scale two-point correlation function](#), submitted to *Monthly Notices of the Royal Astronomical Society* and available on the [arXiv preprint server \(1203.6616\)](#).

## Testing General Relativity with galaxy velocities

Reid, B. A. et al. 2012, [The clustering of galaxies in the SDSS-III Baryon Oscillation Spectroscopic Survey: measurements of the growth of structure and expansion rate at  \$z=0.57\$  from anisotropic clustering](#), submitted to *Monthly Notices of the Royal Astronomical Society* and available on the [arXiv preprint server \(1203.6641\)](#).

## Testing General Relativity with passive galaxies

Tojeiro, R. et al. 2012, [The Clustering of Galaxies in the SDSS-III DR9 Baryon Oscillation Spectroscopic Survey: Measuring structure growth using Passive galaxies](#), submitted to *Monthly Notices of the Royal Astronomical Society* and available on the [arXiv preprint server \(1203.6565\)](#).

## Controlling for errors

Ross, A. J. et al. 2012, [The clustering of galaxies in the SDSS-III Baryon Oscillation Spectroscopic Survey: Analysis of potential systematics](#), submitted to XXXXX and available on the [arXiv preprint server \(1203.6499\)](#).

## Comparisons to synthetic data

Manera, M. et al. 2012, [The Clustering of Galaxies in the SDSS-III DR9 Baryon Oscillation Spectroscopic Survey: A Large Sample of Mock Galaxy Catalogues](#), submitted to XXXXX and available on the [arXiv preprint server \(1203.6609\)](#).

# Recent articles

## Overview: galaxy distance measurements, analysis, and interpretations

Anderson, L. M. et al. 2012, [The clustering of galaxies in the SDSS-III Baryon Oscillation Spectroscopic Survey: Baryon Acoustic Oscillations in the Data Release 9 Spectroscopic Galaxy Sample](#), submitted to *Monthly Notices of the Royal Astronomical Society* and available on the [arXiv preprint server](#) (1203.6594).

## Implications for cosmology

Sánchez, A. G. et al. 2012, [The clustering of galaxies in the SDSS-III Baryon Oscillation Spectroscopic Survey: cosmological implications of the large-scale two-point correlation function](#), submitted to *Monthly Notices of the Royal Astronomical Society* and available on the [arXiv preprint server](#) (1203.6616).

## Testing General Relativity with galaxy velocities

Reid, B. A. et al. 2012, [The clustering of galaxies in the SDSS-III Baryon Oscillation Spectroscopic Survey: measurements of the growth of structure and expansion rate at  \$z=0.57\$  from anisotropic clustering](#), submitted to *Monthly Notices of the Royal Astronomical Society* and available on the [arXiv preprint server](#) (1203.6641).

## Testing General Relativity with passive galaxies

Tojeiro, R. et al. 2012, [The Clustering of Galaxies in the SDSS-III DR9 Baryon Oscillation Spectroscopic Survey: Measuring structure growth using Passive galaxies](#), submitted to *Monthly Notices of the Royal Astronomical Society* and available on the [arXiv preprint server](#) (1203.6565).

## Controlling for errors

Ross, A. J. et al. 2012, [The clustering of galaxies in the SDSS-III Baryon Oscillation Spectroscopic Survey: Analysis of potential systematics](#), submitted to XXXXX and available on the [arXiv preprint server](#) (1203.6499).

## Comparisons to synthetic data

Manera, M. et al. 2012, [The Clustering of Galaxies in the SDSS-III DR9 Baryon Oscillation Spectroscopic Survey: A Large Sample of Mock Galaxy Catalogues](#), submitted to XXXXX and available on the [arXiv preprint server](#) (1203.6609).

# Sélection des cibles spectro

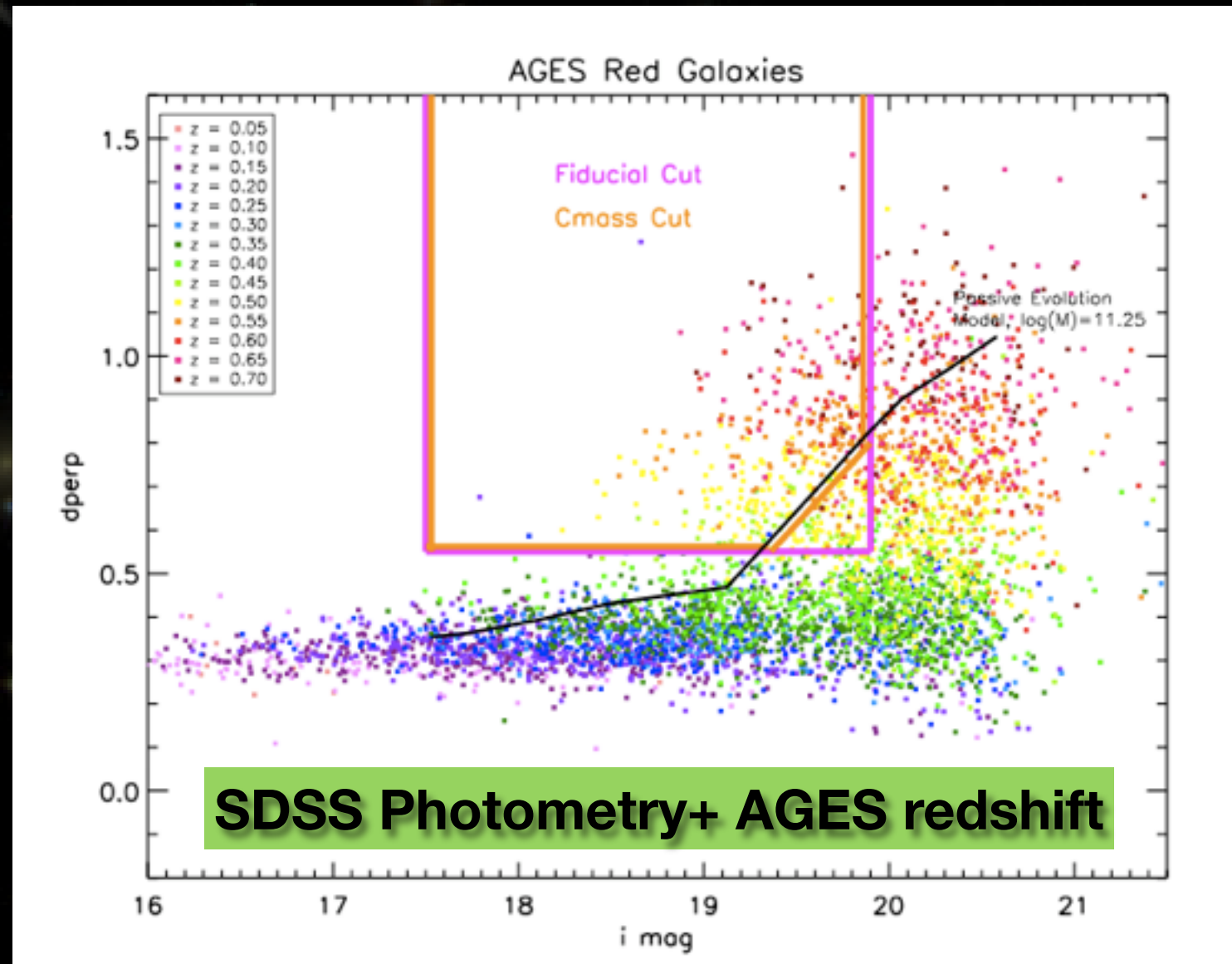
- Photométrie SDSS-II
  - ★ 5 bandes ( $u, g, r, i, z$ )

- Objectif: CMASS

- ★ échantillon complet,  
uniforme en masse (LRG)  
et limité en volume entre  
 $z \sim 0.4$  et  $z \sim 0.8$

- Coupures:

- ★  $d_{\text{perp}}$ :
  - ~ proportionnel à  $z$
- ★ Coupure en masse:
  - LRG
- ★ Coupure en magnitude  $i$ :
  - limité en volume



[Tiré de M.Vargas]

Contamination stellaire < 1%  
Efficacité 99%

# Sélection des cibles spectro

- Photométrie SDSS-II

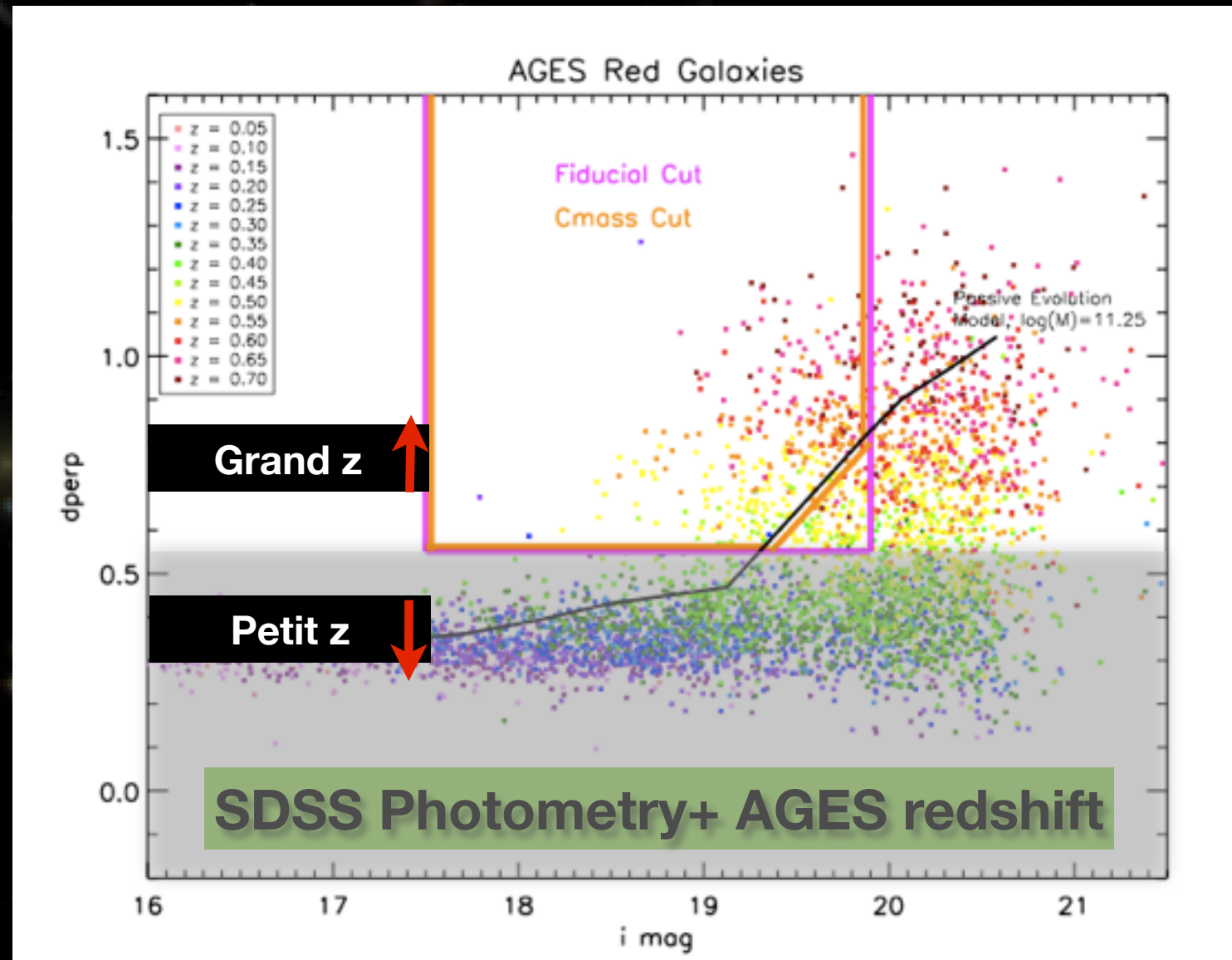
- Photométrie SDSS-II
  - ★ 5 bandes ( $u, g, r, i, z$ )

- Objectif: CMASS

- Objectif: CMASS
  - ★ échantillon complet, uniforme en masse (LRG) et limité en volume entre  $z \sim 0.4$  et  $z \sim 0.8$

- Coupures:

- Coupures:
  - ★  $d_{\text{perp}}$ :
    - ~ proportionnel à  $z$
  - ★ Coupure en masse:
    - LRG
  - ★ Coupure en magnitude  $i$ :
    - limité en volume



Contamination stellaire < 1%  
Efficacité 99%

# Sélection des cibles spectro

- Photométrie SDSS-II

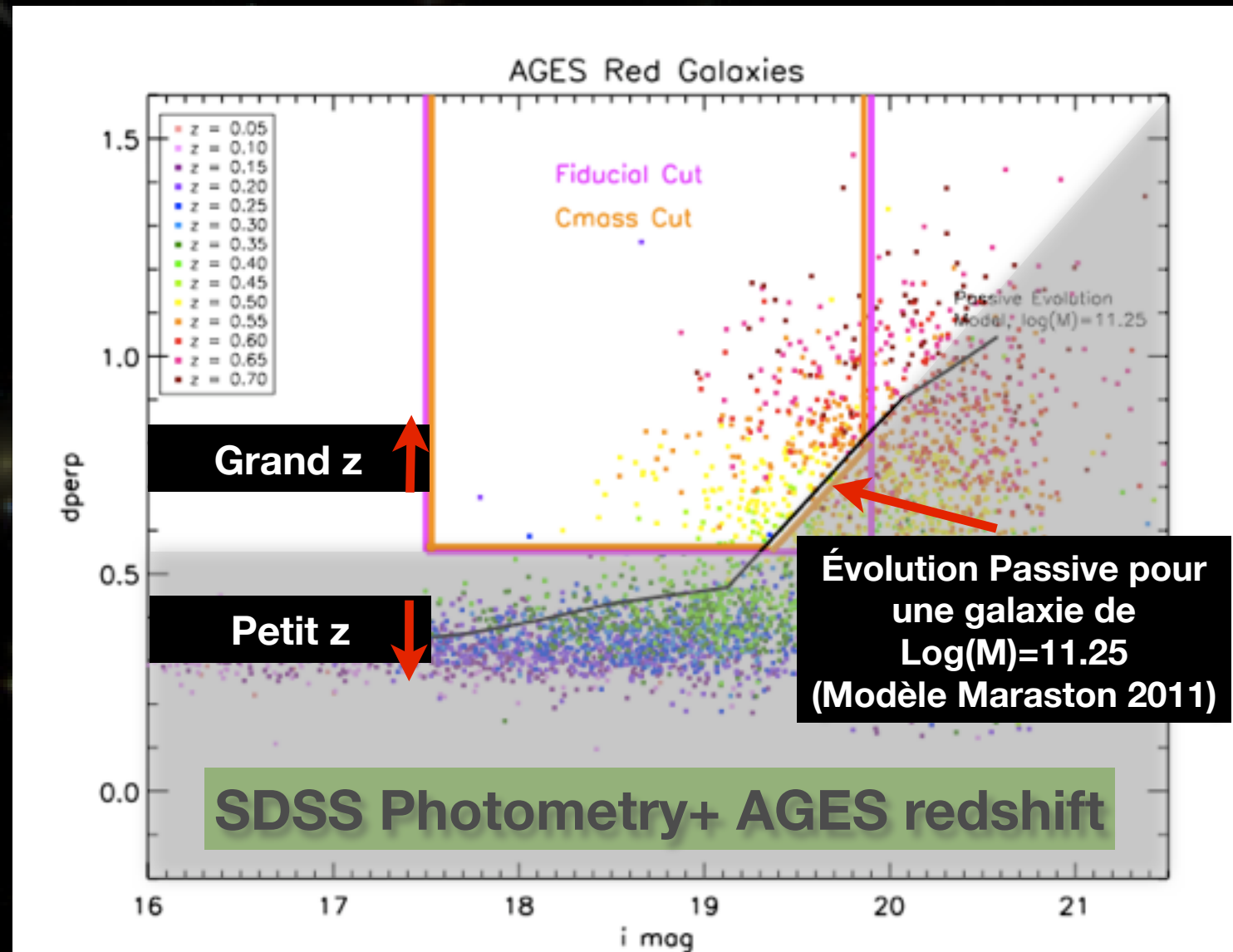
- ★ 5 bandes ( $u, g, r, i, z$ )

- Objectif: CMASS

- ★ échantillon complet, uniforme en masse (LRG) et limité en volume entre  $z \sim 0.4$  et  $z \sim 0.8$

- Coupures:

- ★  $d_{\text{perp}}$ :
  - ~ proportionnel à  $z$
- ★ Coupure en masse:
  - LRG
- ★ Coupure en magnitude  $i$ :
  - limité en volume



Contamination stellaire < 1%  
Efficacité 99%

# Sélection des cibles spectro

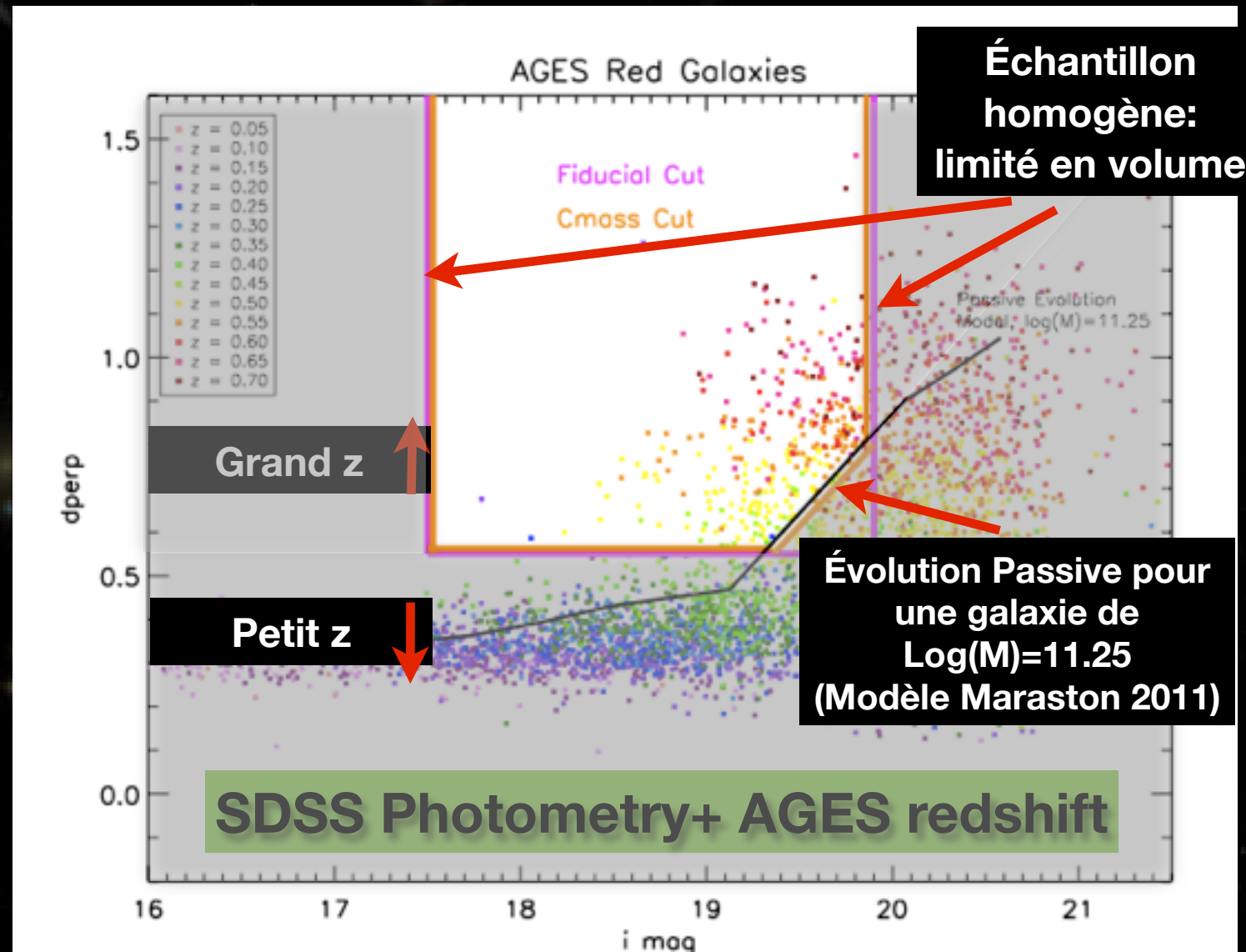
- Photométrie SDSS-II
  - ★ 5 bandes ( $u, g, r, i, z$ )

- Objectif: CMASS

- ★ échantillon complet, uniforme en masse (LRG) et limité en volume entre  $z \sim 0.4$  et  $z \sim 0.8$

- Coupures:

- ★  $d_{\text{perp}}$ :
  - ~ proportionnel à  $z$
- ★ Coupure en masse:
  - LRG
- ★ Coupure en magnitude  $i$ :
  - limité en volume



Contamination stellaire < 1%  
Efficacité 99%

# Liste des objets pour $\xi(r)$

- **On veut:**

- ★ Des objets spectrés et spectroscopiquement CMASS
- ★ qui ait été des targets CMASS
  - (des erreurs peuvent se glisser...)
- ★ Ou bien des objets déjà connus
  - (attention au double comptage...)
- ★ Gérer les collisions de fibres
  - impossible de placer deux fibres plus proches que 62 arcsec

Spectra  
No CMASS

A Venn diagram consisting of two overlapping circles. The left circle is light brown and labeled "Spectra No CMASS". The right circle is dark green and labeled "Spectra CMASS". Their intersection area is white.

- **Completeness**

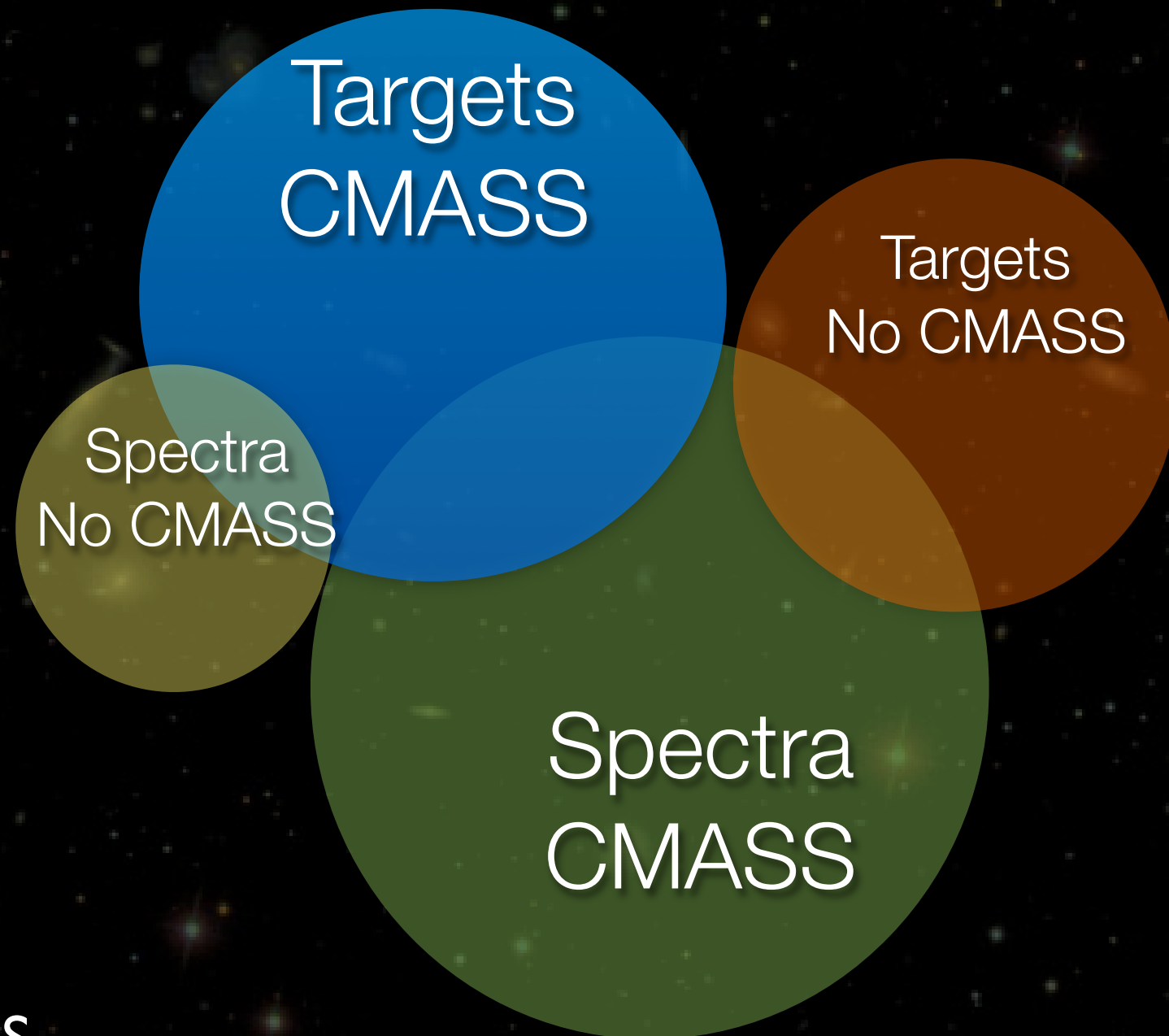
$$\text{Completeness} = \frac{\text{Spectra}}{\text{Targets}}$$

- ★ Retirer des cibles les objets spectroscopiquement non CMASS

# Liste des objets pour $\xi(r)$

- **On veut:**

- ★ Des objets spectrés et spectroscopiquement CMASS
- ★ qui ait été des targets CMASS
  - (des erreurs peuvent se glisser...)
- ★ Ou bien des objets déjà connus
  - (attention au double comptage...)
- ★ Gérer les collisions de fibres
  - impossible de placer deux fibres plus proches que 62 arcsec



- **Completeness**

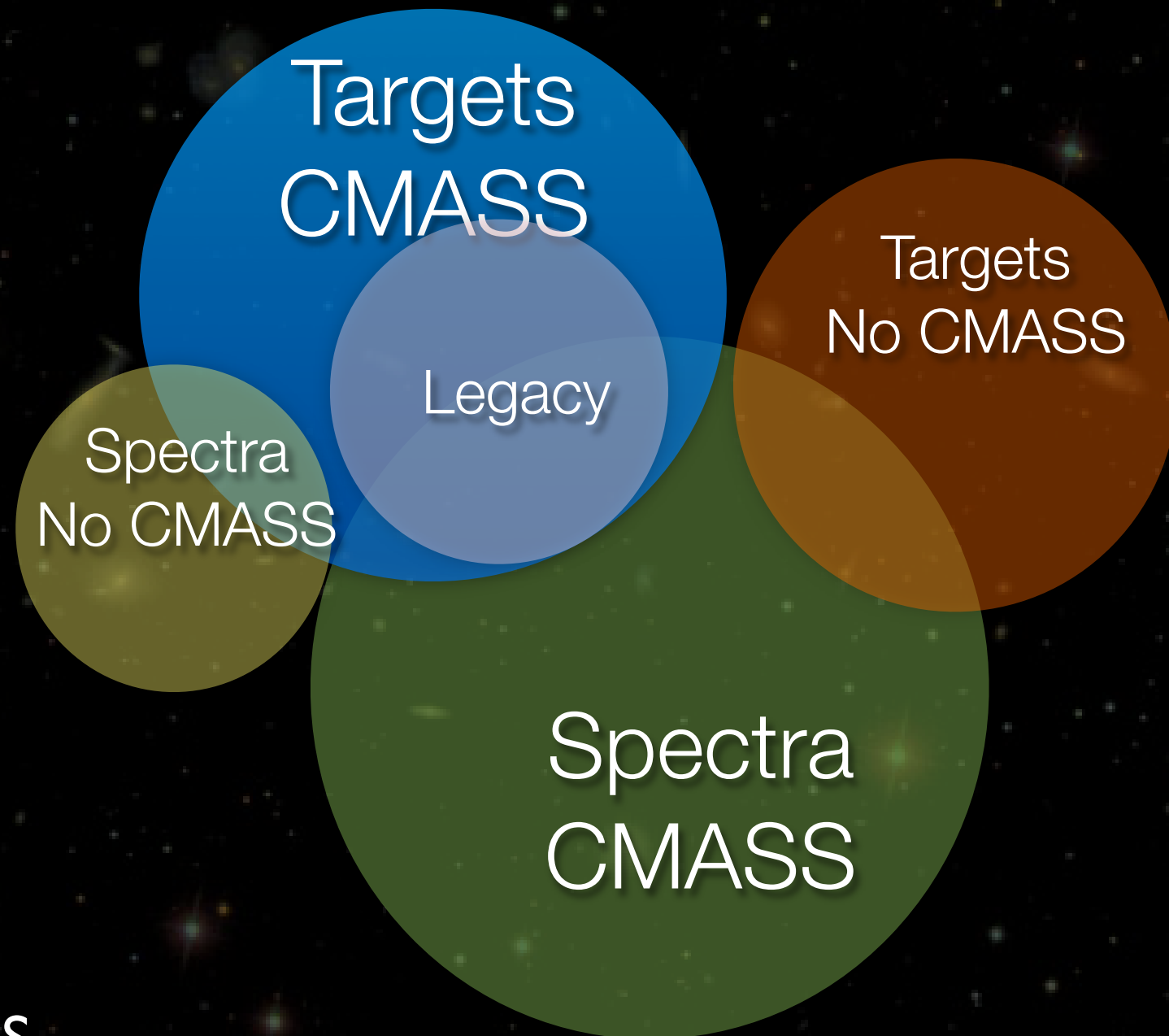
$$\text{Completeness} = \frac{\text{Spectra}}{\text{Targets}}$$

- ★ Retirer des cibles les objets spectroscopiquement non CMASS

# Liste des objets pour $\xi(r)$

- **On veut:**

- ★ Des objets spectrés et spectroscopiquement CMASS
- ★ qui ait été des targets CMASS
  - (des erreurs peuvent se glisser...)
- ★ Ou bien des objets déjà connus
  - (attention au double comptage...)
- ★ Gérer les collisions de fibres
  - impossible de placer deux fibres plus proches que 62 arcsec



- **Completeness**

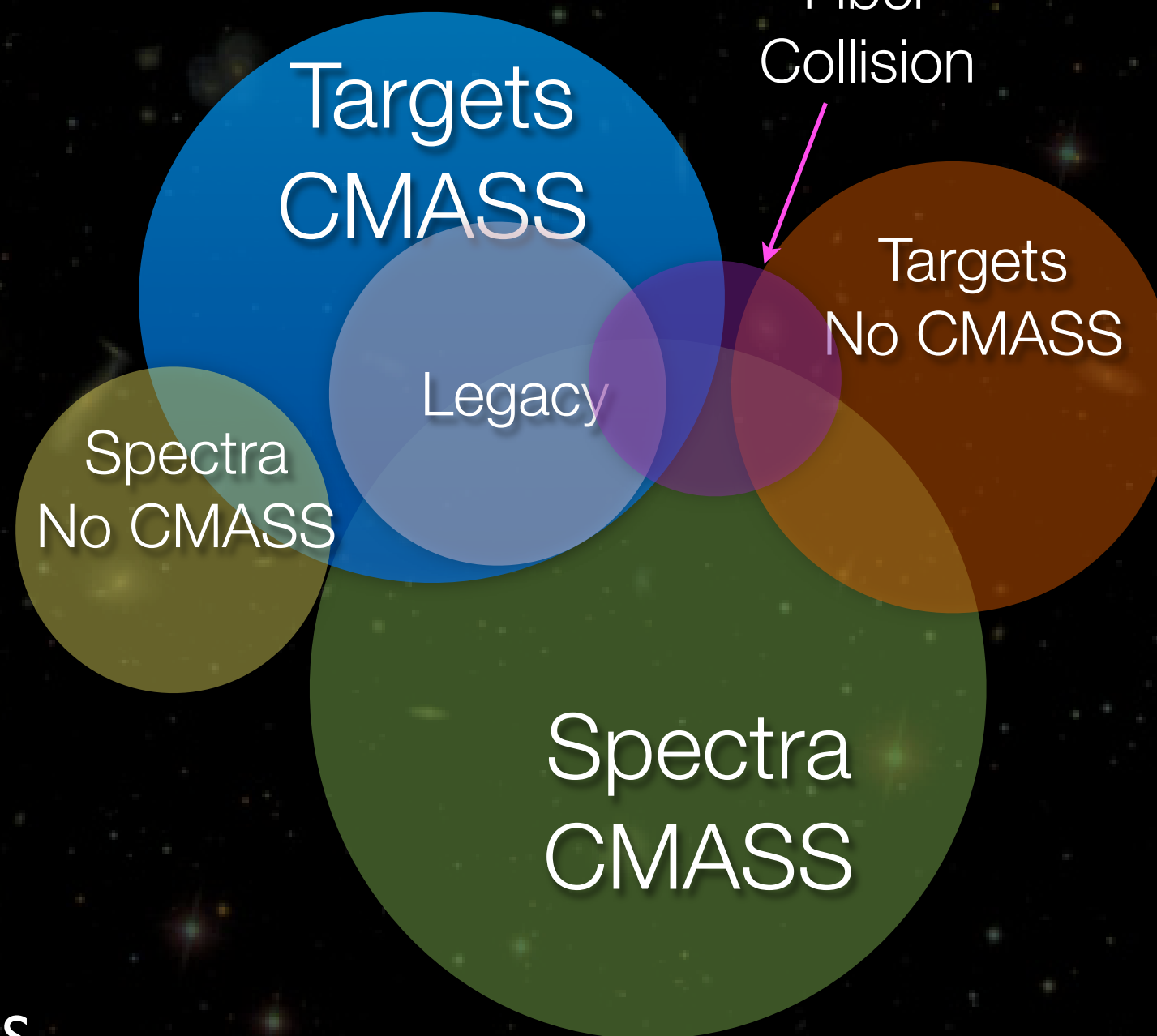
$$\text{Completeness} = \frac{\text{Spectra}}{\text{Targets}}$$

- ★ Retirer des cibles les objets spectroscopiquement non CMASS

# Liste des objets pour $\xi(r)$

- **On veut:**

- ★ Des objets spectrés et spectroscopiquement CMASS
- ★ qui ait été des targets CMASS
  - (des erreurs peuvent se glisser...)
- ★ Ou bien des objets déjà connus
  - (attention au double comptage...)
- ★ Gérer les collisions de fibres
  - impossible de placer deux fibres plus proches que 62 arcsec



- **Completeness**

$$\text{Completeness} = \frac{\text{Spectra}}{\text{Targets}}$$

- ★ Retirer des cibles les objets spectroscopiquement non CMASS

# Completeness

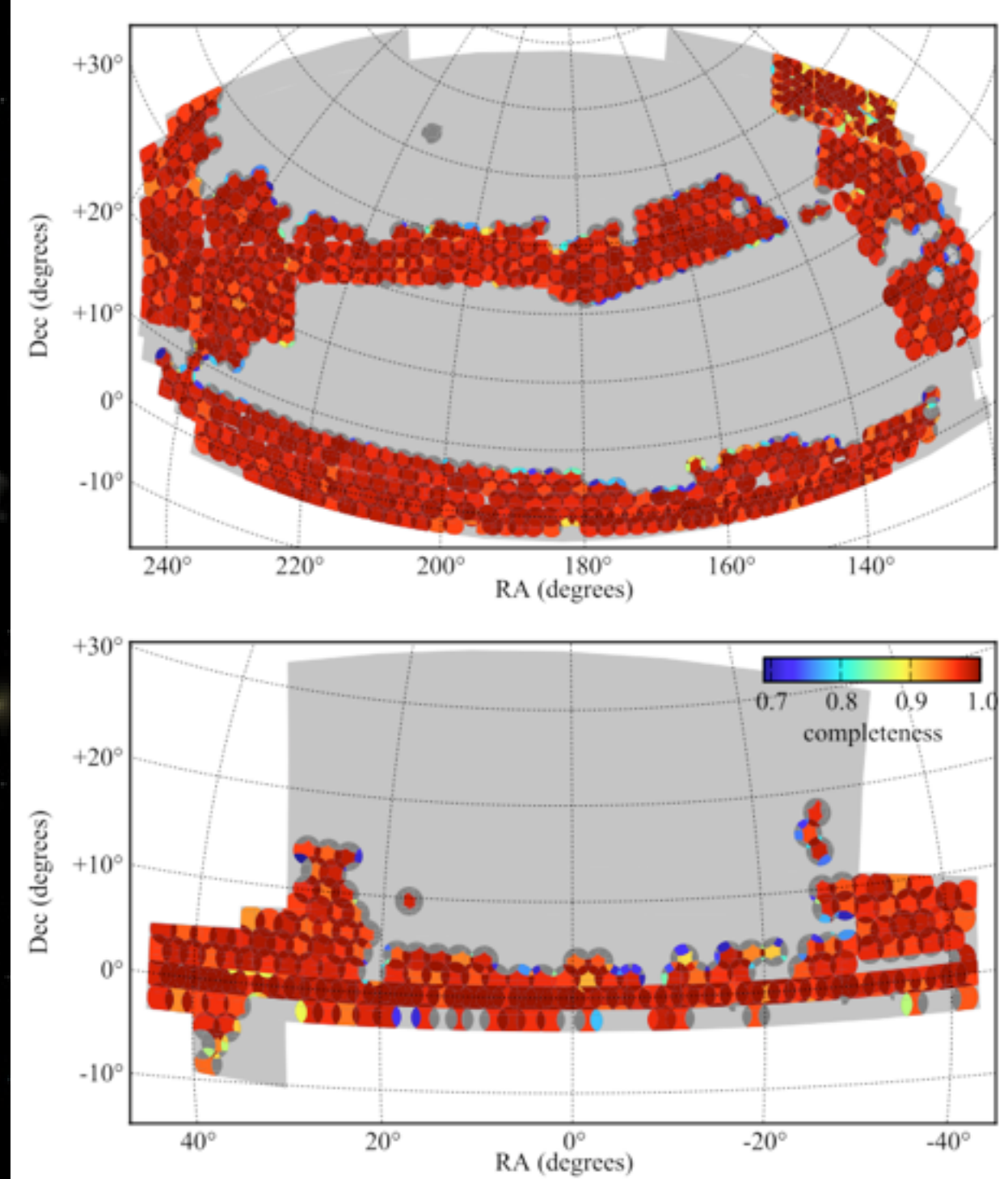
- Définition:

$$\text{Completeness} = \frac{\text{Spectra}}{\text{Targets}}$$

- rarement = | :

- ★ Survey en cours
- ★ Taux de succès non uniforme
  - essentiellement du à la météo

[Anderson et al, 2012]



# Completeness

- Définition:

$$\text{Completeness} = \frac{\text{Spectra}}{\text{Targets}}$$

- rarement = | :

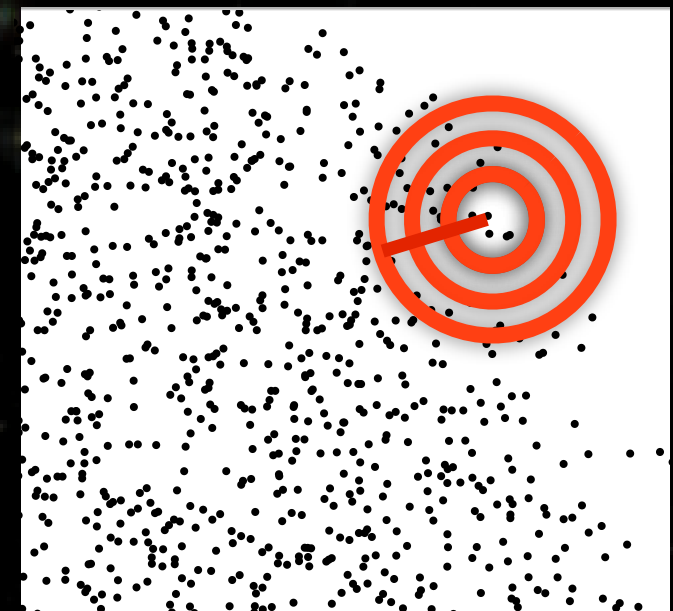
- ★ Survey en cours
- ★ Taux de succès non uniforme
  - essentiellement du à la météo

- Importance:

- ★ Corriger  $\xi(r)$  des effets de non uniformité du sampling

- Utilisation d'un échantillon «random» dans l'estimateur de  $\xi(r)$
  - $\hat{\xi}_{PH} = \frac{DD}{RR}$  [version simple]

- ★ pondérer en fonction de la densité de galaxies [Feldman, Kaiser, Peacock, 1993]



# Completeness

- Définition:

$$\text{Completeness} = \frac{\text{Spectra}}{\text{Targets}}$$

- rarement = 1 :

- ★ Survey en cours
- ★ Taux de succès non uniforme
  - essentiellement du à la météo

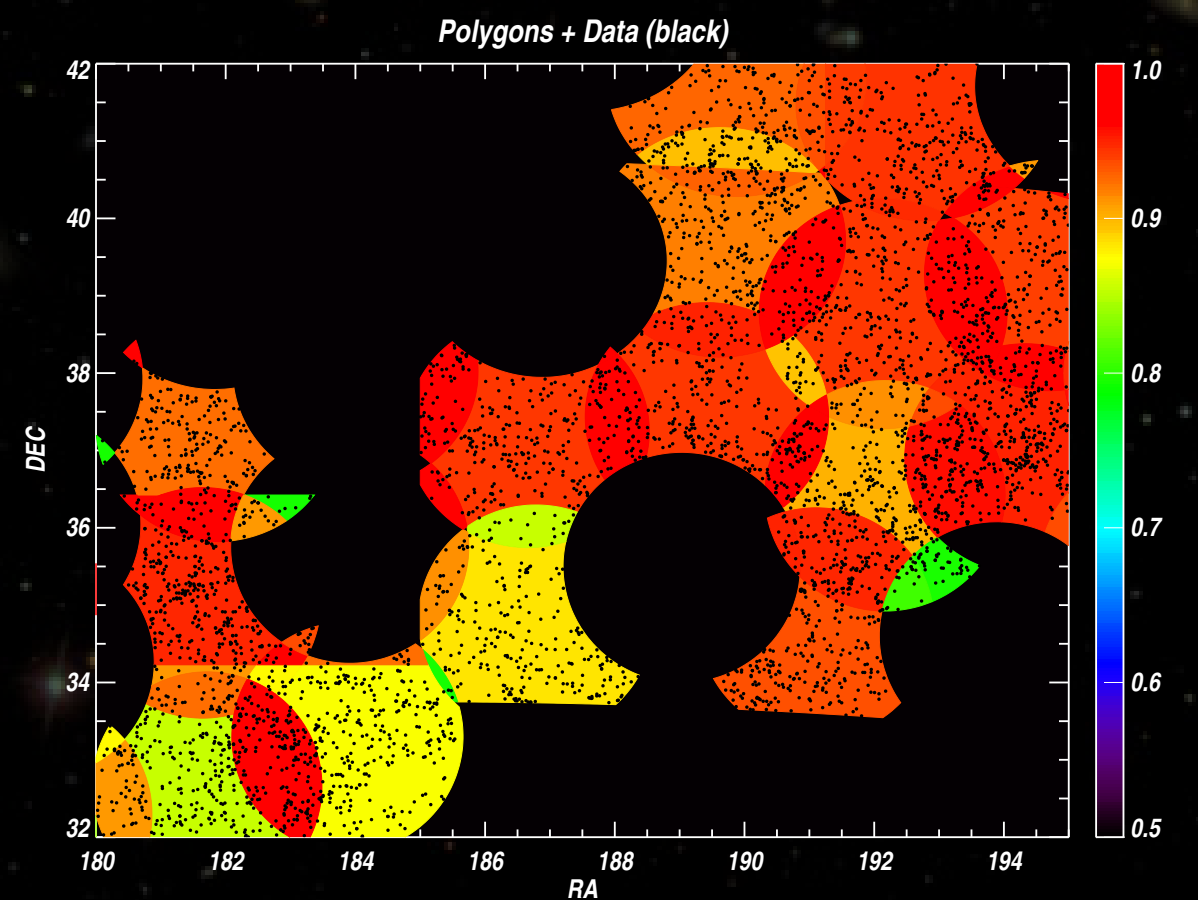
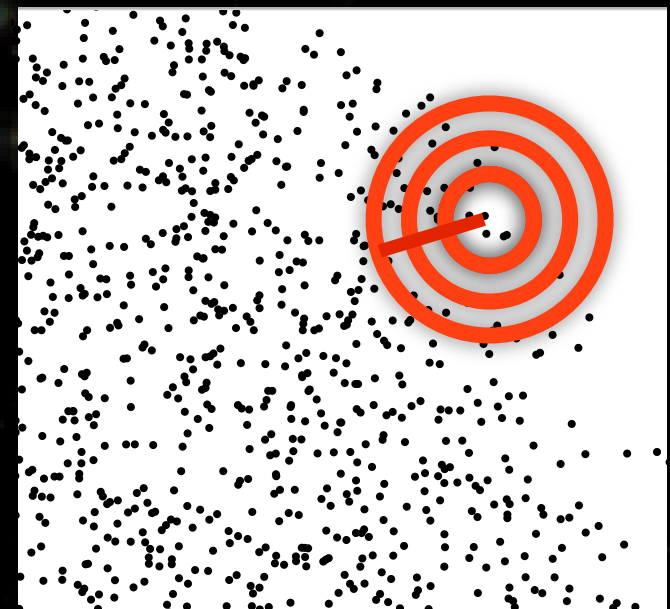
- Importance:

- ★ Corriger  $\xi(r)$  des effets de non uniformité du sampling

- Utilisation d'un échantillon «random» dans l'estimateur de  $\xi(r)$

- $\hat{\xi}_{PH} = \frac{DD}{RR}$  [version simple]

- ★ pondérer en fonction de la densité de galaxies [Feldman, Kaiser, Peacock, 1993]



# Completeness

- Définition:

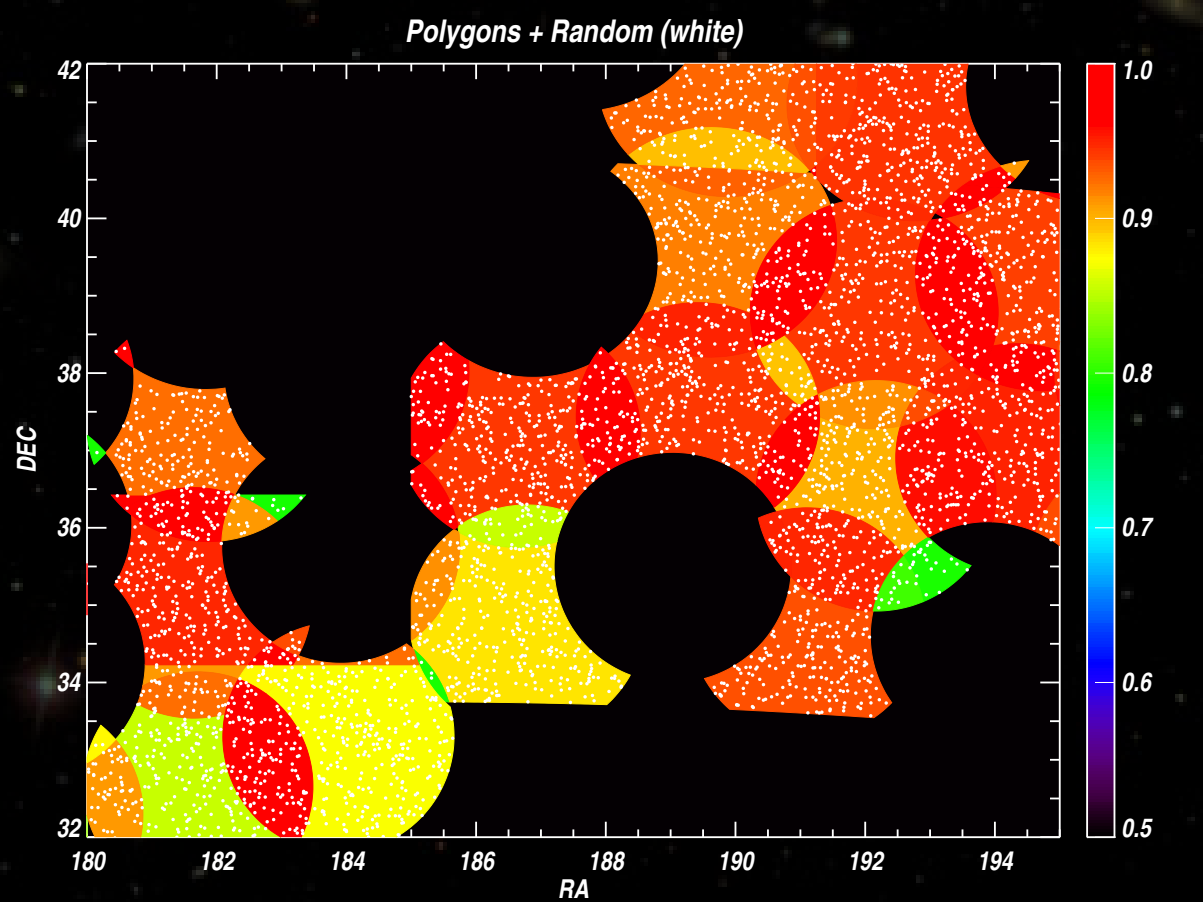
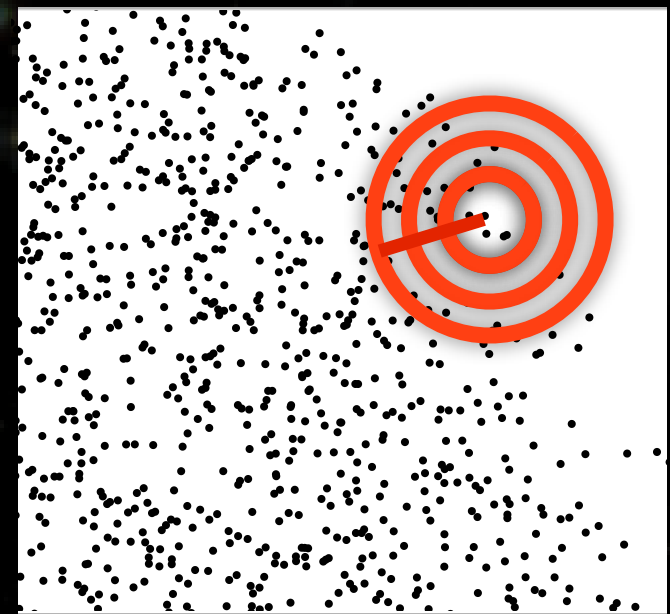
$$\text{Completeness} = \frac{\text{Spectra}}{\text{Targets}}$$

- rarement = | :

- ★ Survey en cours
- ★ Taux de succès non uniforme
  - essentiellement du à la météo

- Importance:

- ★ Corriger  $\xi(r)$  des effets de non uniformité du sampling
  - Utilisation d'un échantillon «random» dans l'estimateur de  $\xi(r)$
  - $\hat{\xi}_{PH} = \frac{DD}{RR}$  [version simple]
- ★ pondérer en fonction de la densité de galaxies [Feldman, Kaiser, Peacock, 1993]



# Completeness

- Définition:

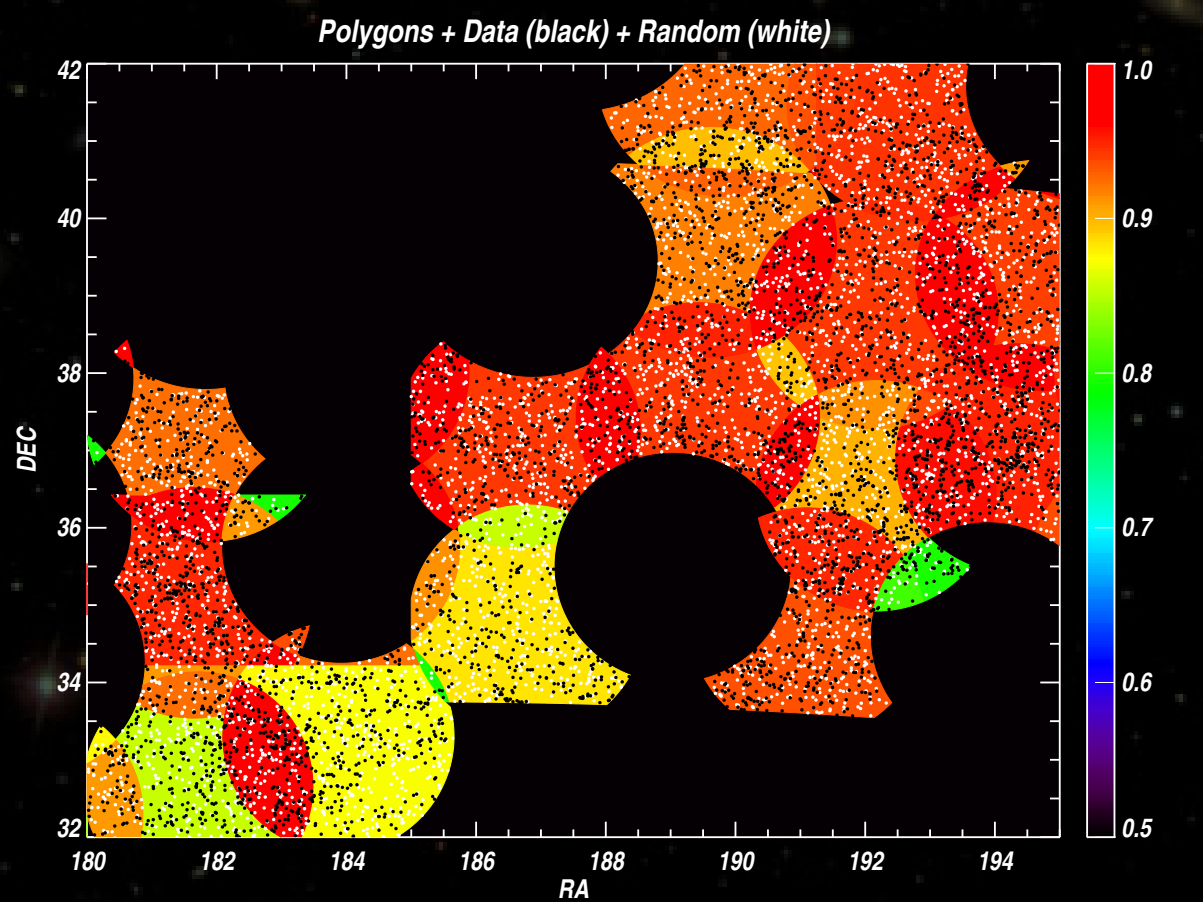
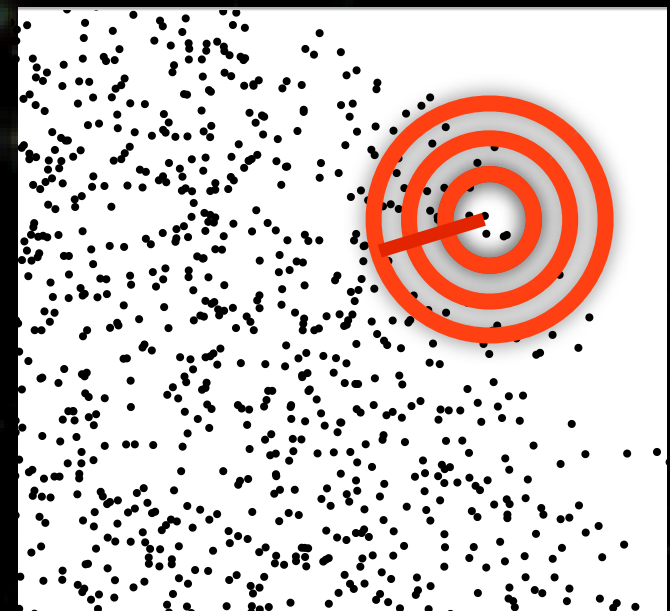
$$\text{Completeness} = \frac{\text{Spectra}}{\text{Targets}}$$

- rarement = | :

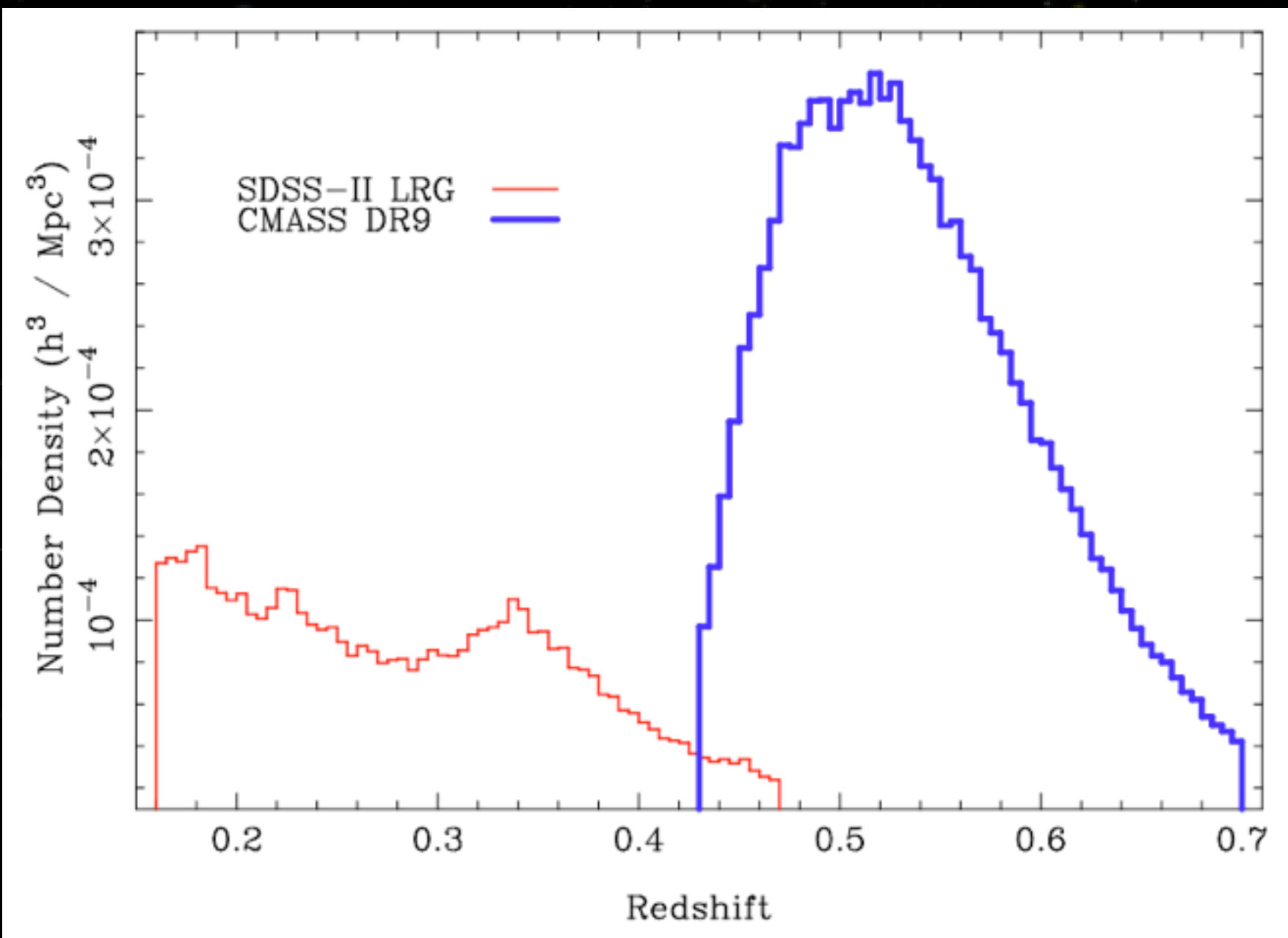
- ★ Survey en cours
- ★ Taux de succès non uniforme
  - essentiellement du à la météo

- Importance:

- ★ Corriger  $\xi(r)$  des effets de non uniformité du sampling
  - Utilisation d'un échantillon «random» dans l'estimateur de  $\xi(r)$
  - $\hat{\xi}_{PH} = \frac{DD}{RR}$  [version simple]
- ★ pondérer en fonction de la densité de galaxies [Feldman, Kaiser, Peacock, 1993]



# Distribution en redshift



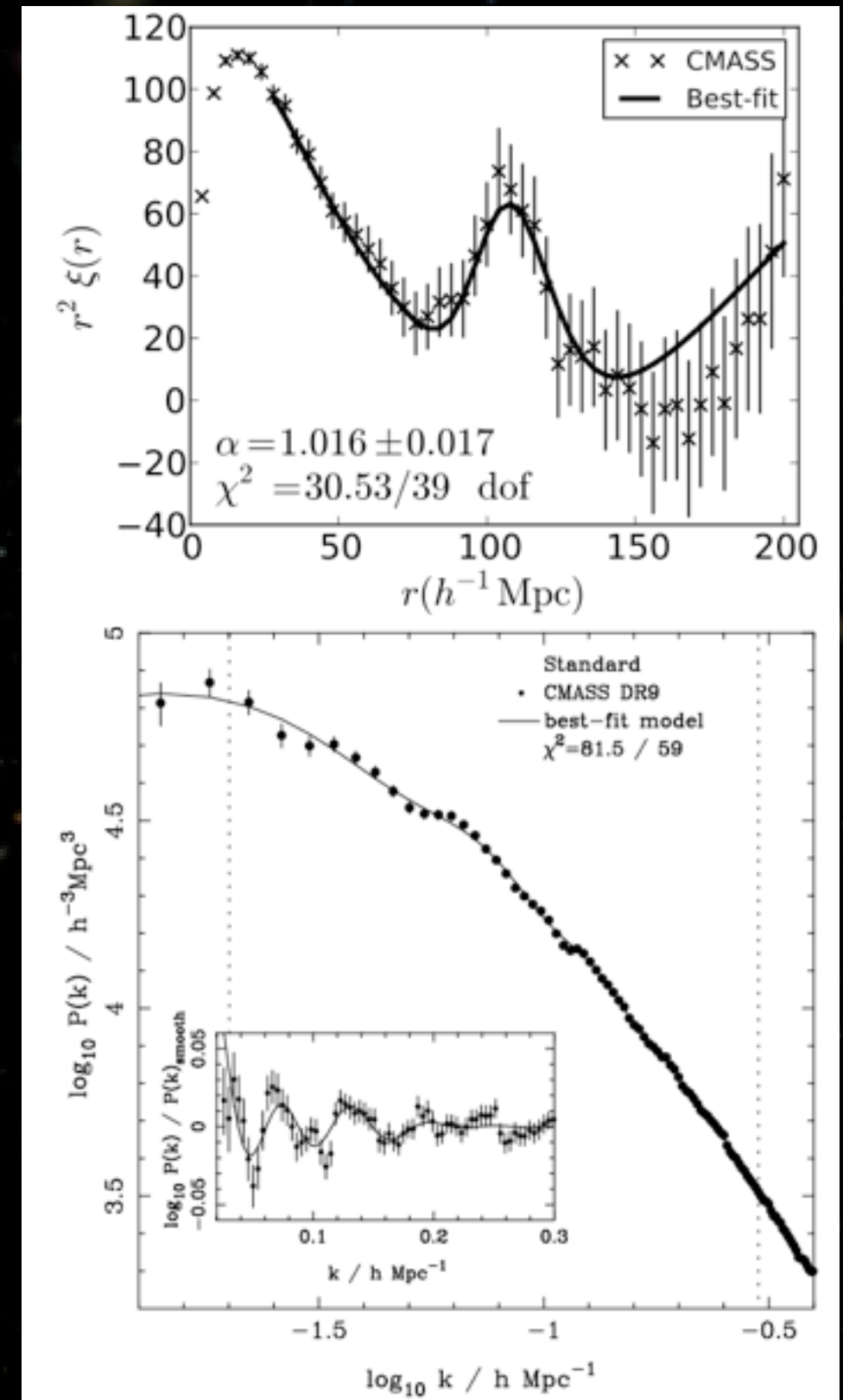
Property	NGC	SGC	total
$\bar{N}_{\text{gal}}$	222 538	60 792	283 330
$\bar{N}_{\text{known}}$	3766	1810	5576
$\bar{N}_{\text{star}}$	7201	1771	8972
$\bar{N}_{\text{fail}}$	3751	1122	4873
$\bar{N}_{\text{cp}}$	14 116	3640	17 756
$\bar{N}_{\text{missed}}$	4931	1911	6842
$\bar{N}_{\text{used}}$	207 246	57 037	264 283
$\bar{N}_{\text{obs}}$	233 490	63 685	297 175
$\bar{N}_{\text{targ}}$	256 303	71 046	327 349
Total area / $\text{deg}^2$	2635	709	3344
Effective area / $\text{deg}^2$	2584	690	3275

Volume:  $2.2 \text{ Gpc}^3$

[Anderson et al, 2012]

# $\xi(r)$ et $P(k)$ isotropisés

- Les deux sont en principe équivalents
  - ★ mais implémentation très différente en pratique
  - ★ Erreurs différentes
- $x(r)$  : Landy-Szalay
- $P(k)$  : basé sur des FFT
- Barres d'erreurs:
  - ★ Simulations N-body LasDamas [McBride et al. 2011]
- NB: Choix d'une cosmologie fiducielles (pour avoir des «r»)

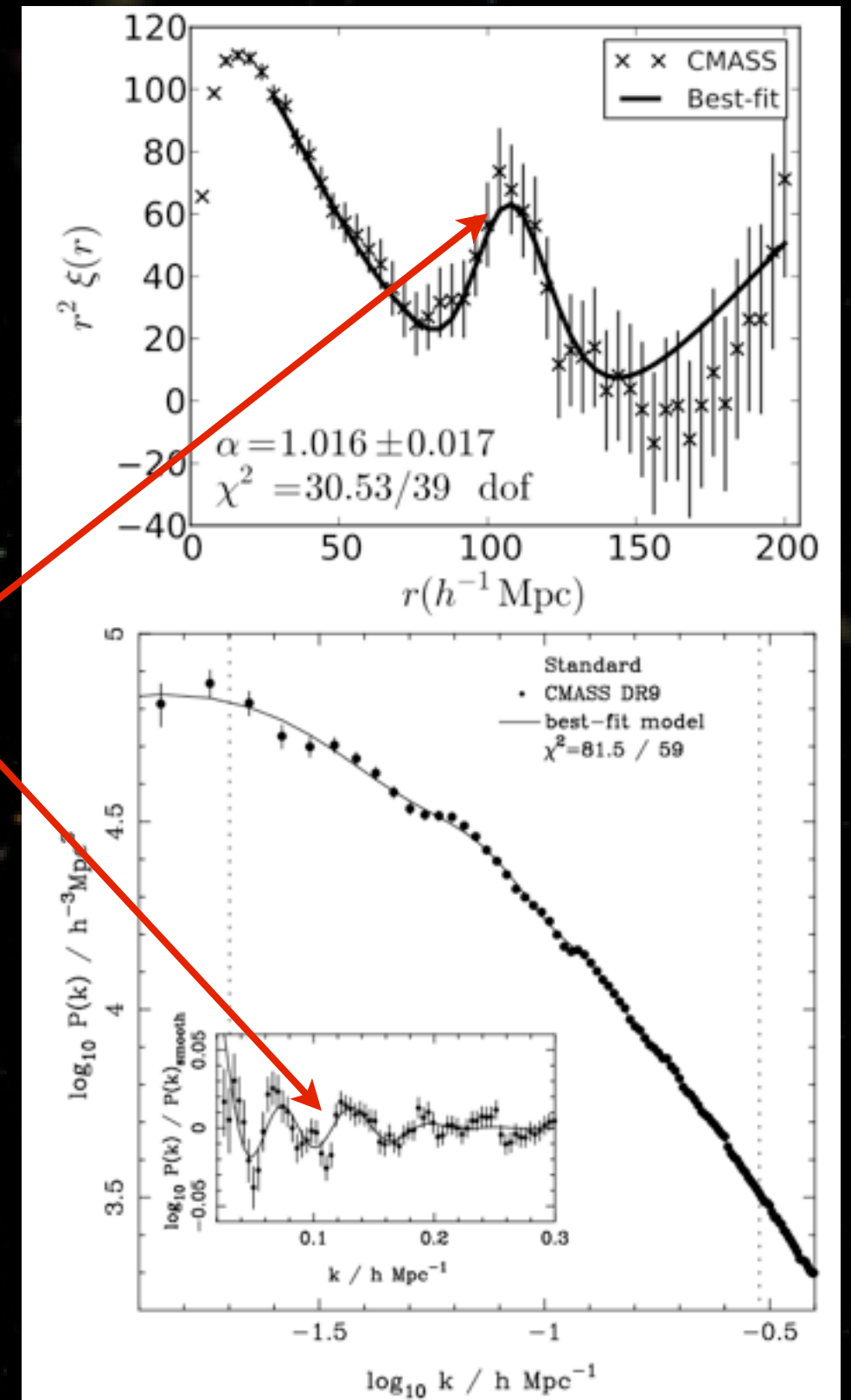


[Anderson et al, 2012]

# $\xi(r)$ et $P(k)$ isotropisés

- Les deux sont en principe équivalents
  - ★ mais implémentation très différente en pratique
  - ★ Erreurs différentes
- $x(r)$  : Landy-Szalay
- $P(k)$  : basé sur des FFT
- Barres d'erreurs:
  - ★ Simulations N-body LasDamas [McBride et al. 2011]
- NB: Choix d'une cosmologie fiducielles (pour avoir des «r»)

BAO  
à  $5\sigma$



[Anderson et al, 2012]

# Cosmologie fiduciale et $\alpha$

## ● Raisons

- ★ On doit choisir une cosmologie pour calculer les distances
- ★ Difficile d'imaginer un processus itératif (CPU - data + mocks)

## ● Paramètre de dilatation $\alpha$ :

- ★ pour  $\xi(r)$  ajustement de :

$$\xi^{\text{fit}}(r) = B^2 \xi_{\text{fidu}}(\alpha r) + A(r)$$

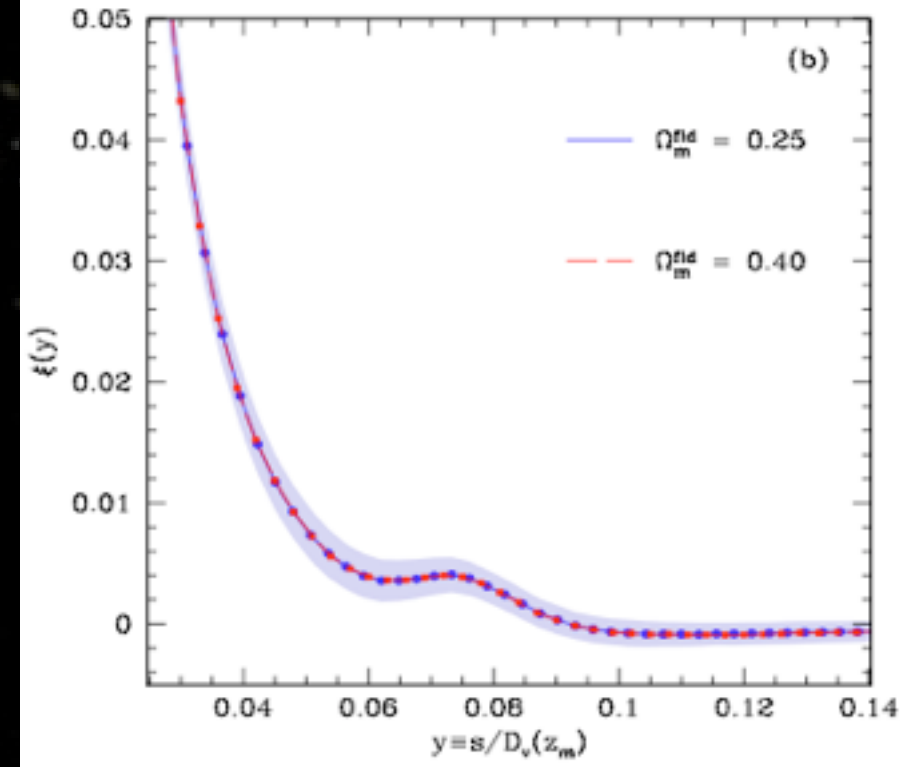
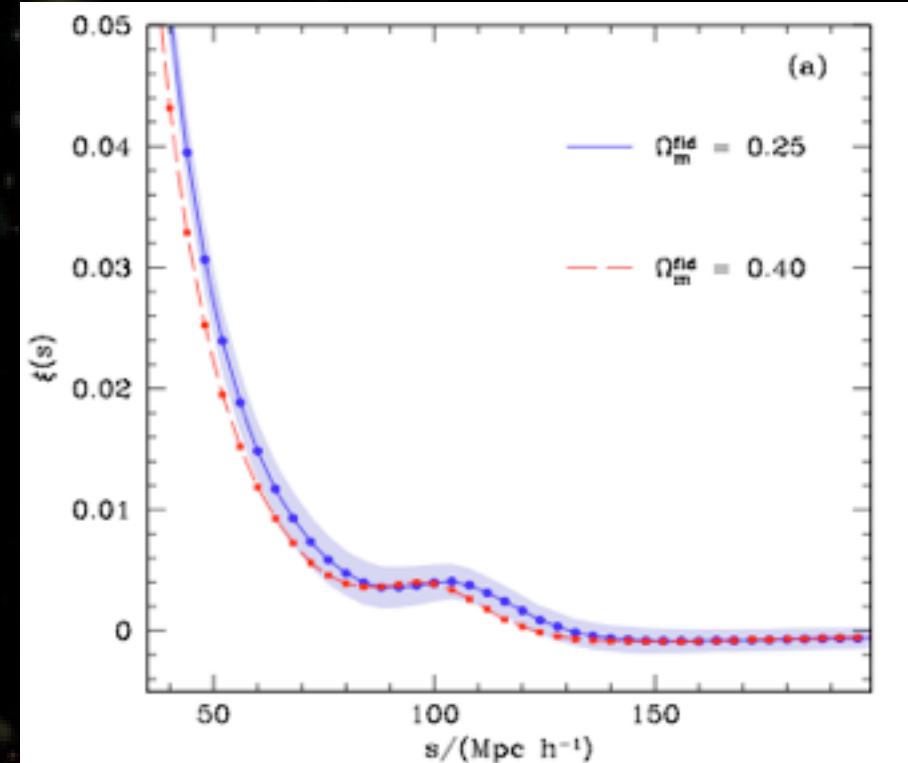
avec  $A(r) = \frac{a_1}{r^2} + \frac{a_2}{r} + a_3$

- ★ pour  $P(k)$  :

$$P^{\text{fit}}(r) = P^{\text{smooth}}(k) \times P_{\text{fidu}}^{\text{wiggles}}(k/\alpha)$$

$$P_{\text{fidu}}^{\text{wiggles}}(k) = \frac{P_{\text{fidu}}(k)}{P_{\text{fidu}}^{\text{smooth}}(k)}$$

## ● Toute la cosmologie est dans $\alpha$



[Sanchez et al, 2012]

# Programme

- Rappels cosmologiques
  - ★ Histoire de l'expansion, distances et paramètres cosmologiques
  - ★ Résultats sur l'Énergie sombre
  - ★ Oscillations acoustiques de baryons
- BOSS : Baryon Oscillations Spectroscopic Survey
  - ★ L'héritage de SDSS I et II
  - ★ SDSSIII / BOSS
- La corrélation spatiale des LRG avec DR9
  - ★ Sélection de l'échantillon, complétude
  - ★ Fonction de corrélation à deux points, Spectre de puissance
  - ★ Contraintes cosmologiques
    - Principe des analyses
    - Résultats
- La corrélation spatiale dans la forêt Lyman-a
- Conclusions et perspectives

# $\alpha$ et l'horizon sonore

- $\alpha$  : cosmologie erronée dans le calcul des distances

- ★ contient le Jacobien de la transformation  $r \rightarrow r'$

$$d^3r' = \left( \frac{D'_V(z)}{D_V(z)} \right)^3 d^3r \quad D_v(z) = [D_a^2(z)cz/H(z)]^{1/3}$$

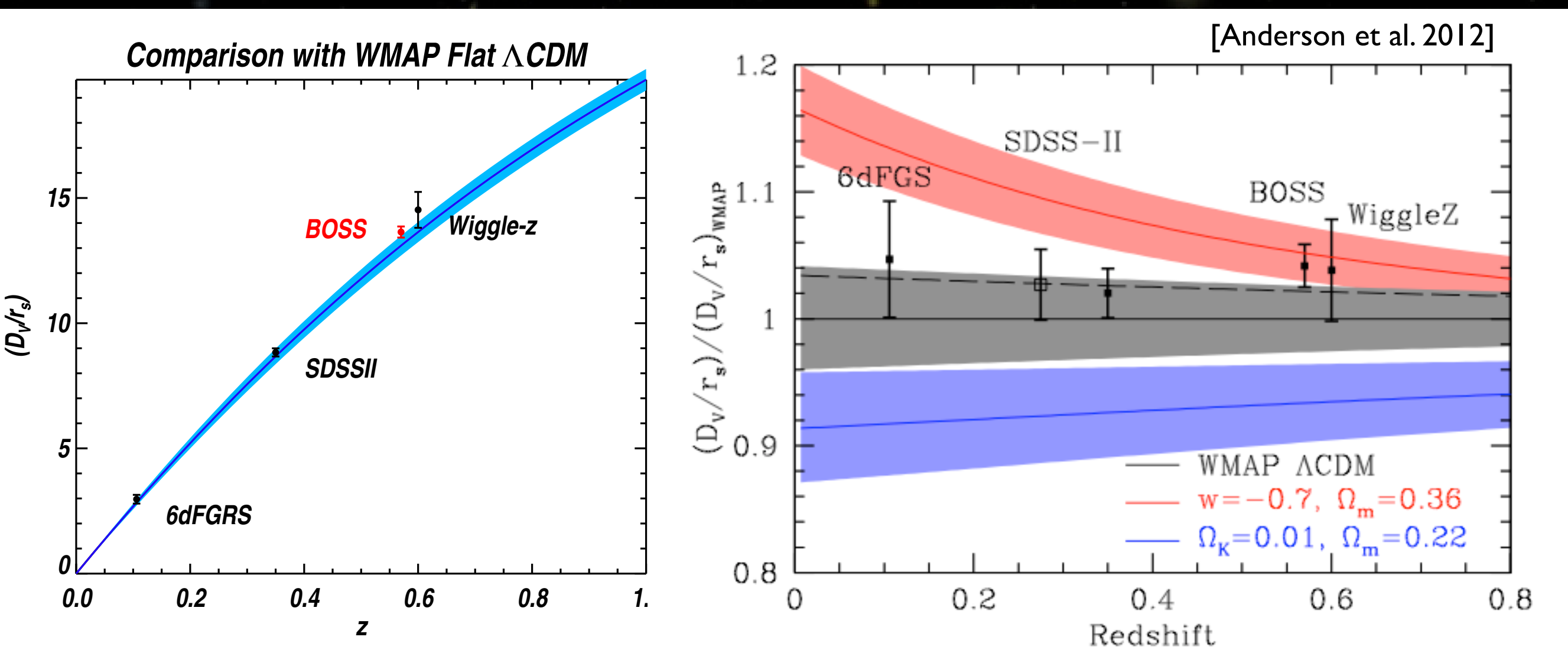
- $\alpha$  dépendance de l'horizon sonore w.r.t. la cosmologie

- ★ Contient le Jacobien de la transformation  $r_s \rightarrow r'_s$

- Finalement :  $\alpha = \frac{D_V}{D_{V,\text{fidu}}} \times \frac{r_{s,\text{fidu}}}{r_s} = \frac{D_V/r_s}{(D_V/r_s)_{\text{fidu}}}$

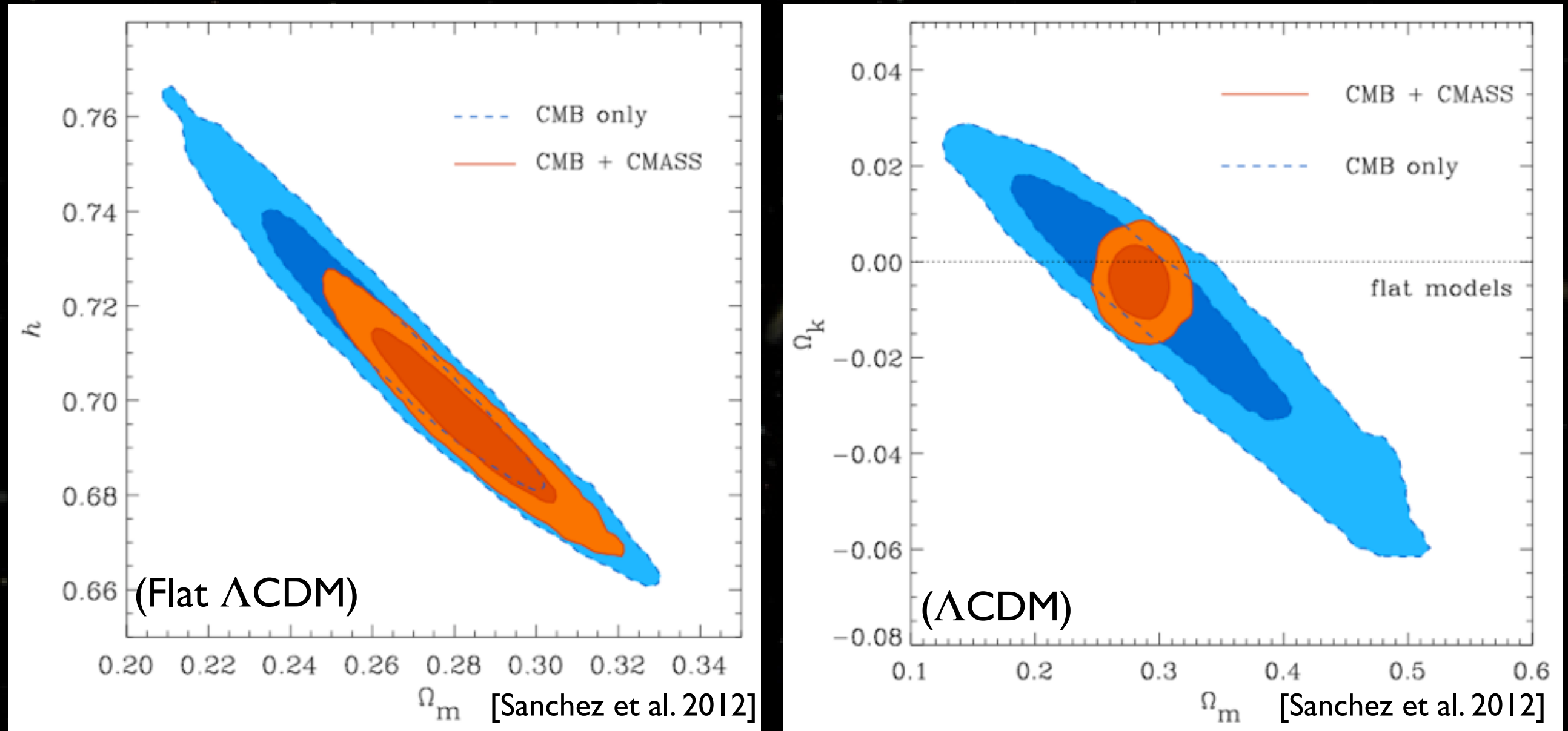
- Notre observable est donc:  $D_V/r_s = \alpha \times (D_V/r_s)_{\text{fidu}}$

# Diagramme de Hubble

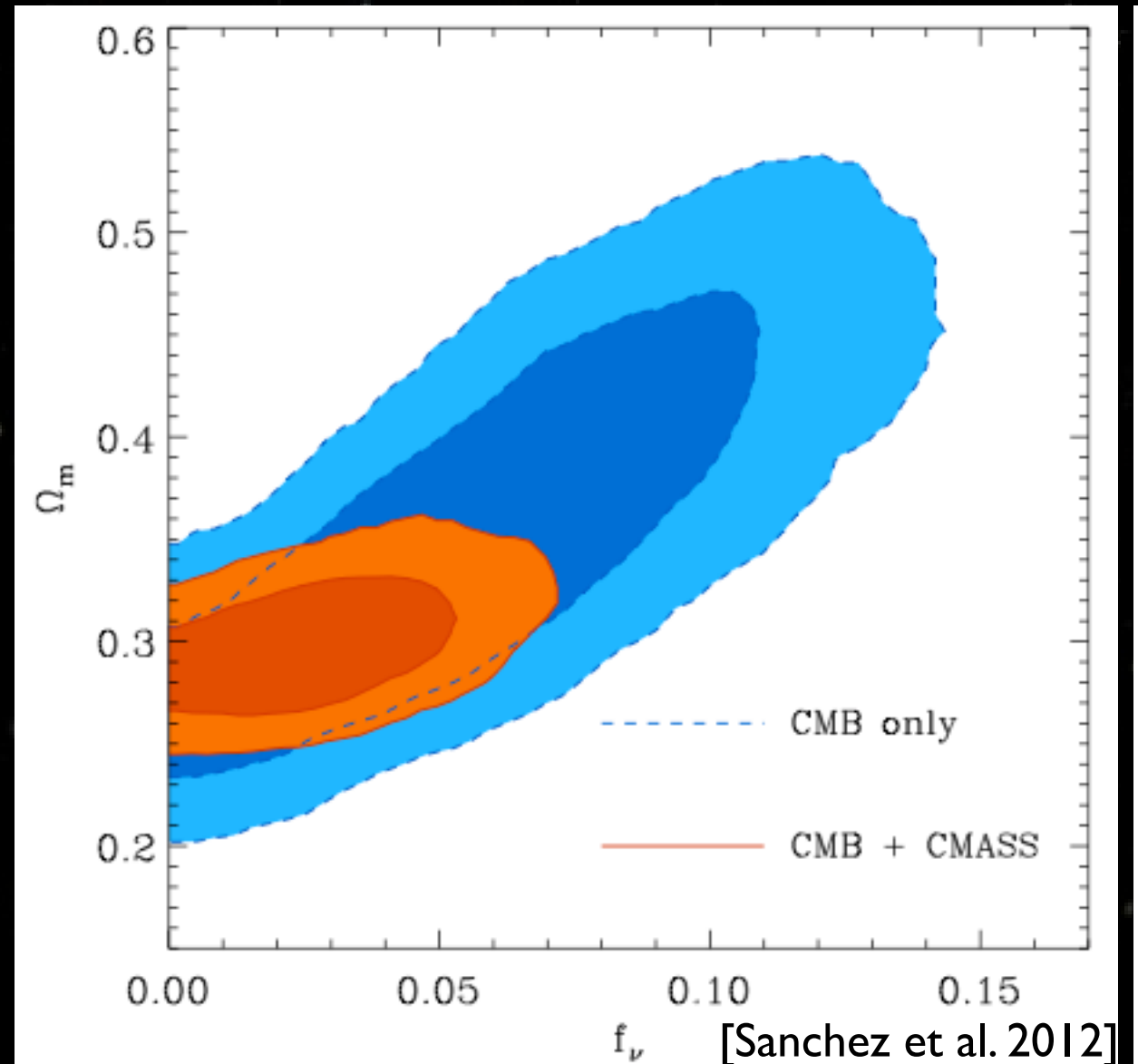


Les BAO de BOSS-CMASS sont équivalentes une SNIa  
à  $z=0.57$  avec 1.6% de précision au lieu de ~14%

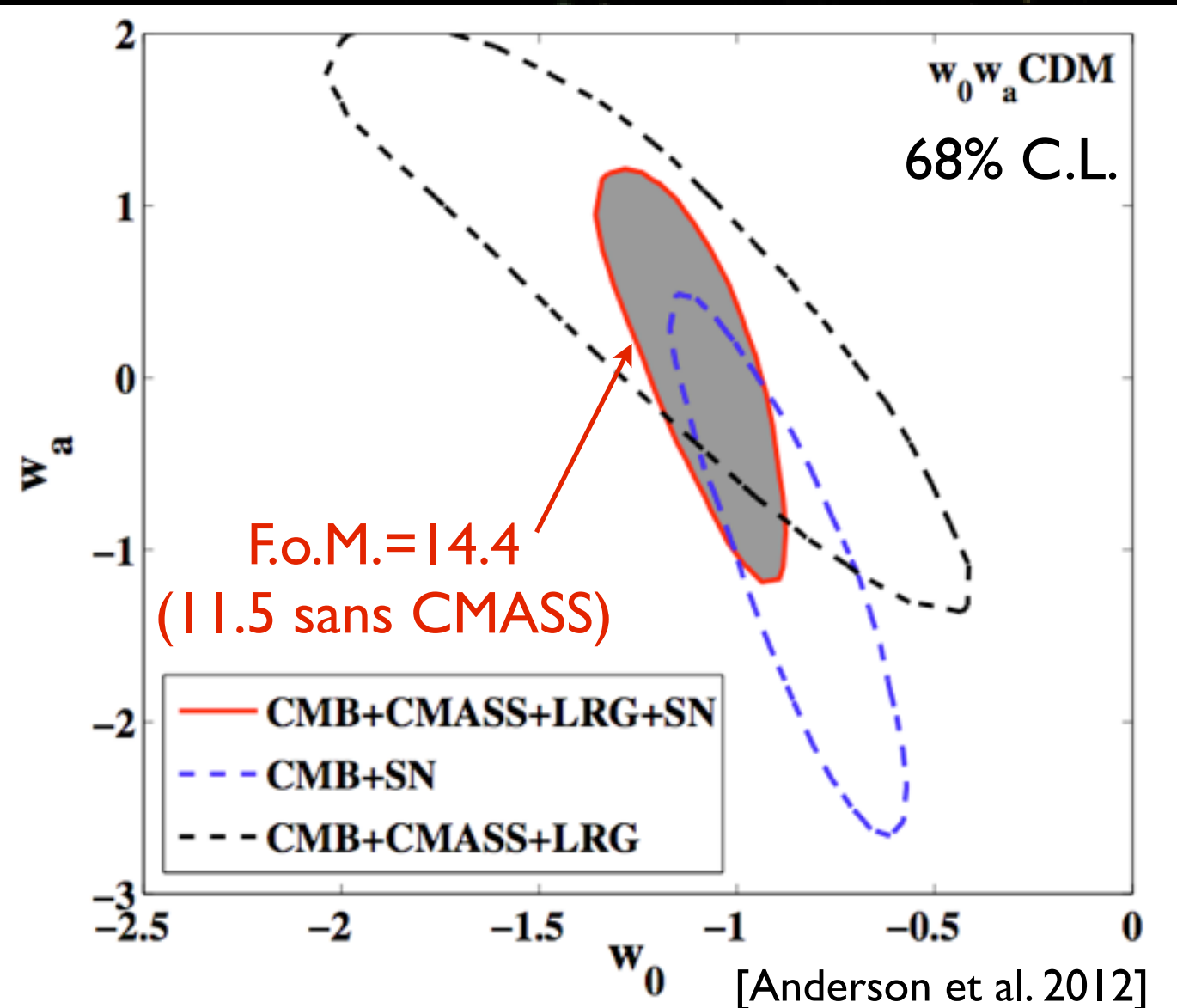
# Paramètres cosmologiques



# Paramètres cosmologiques

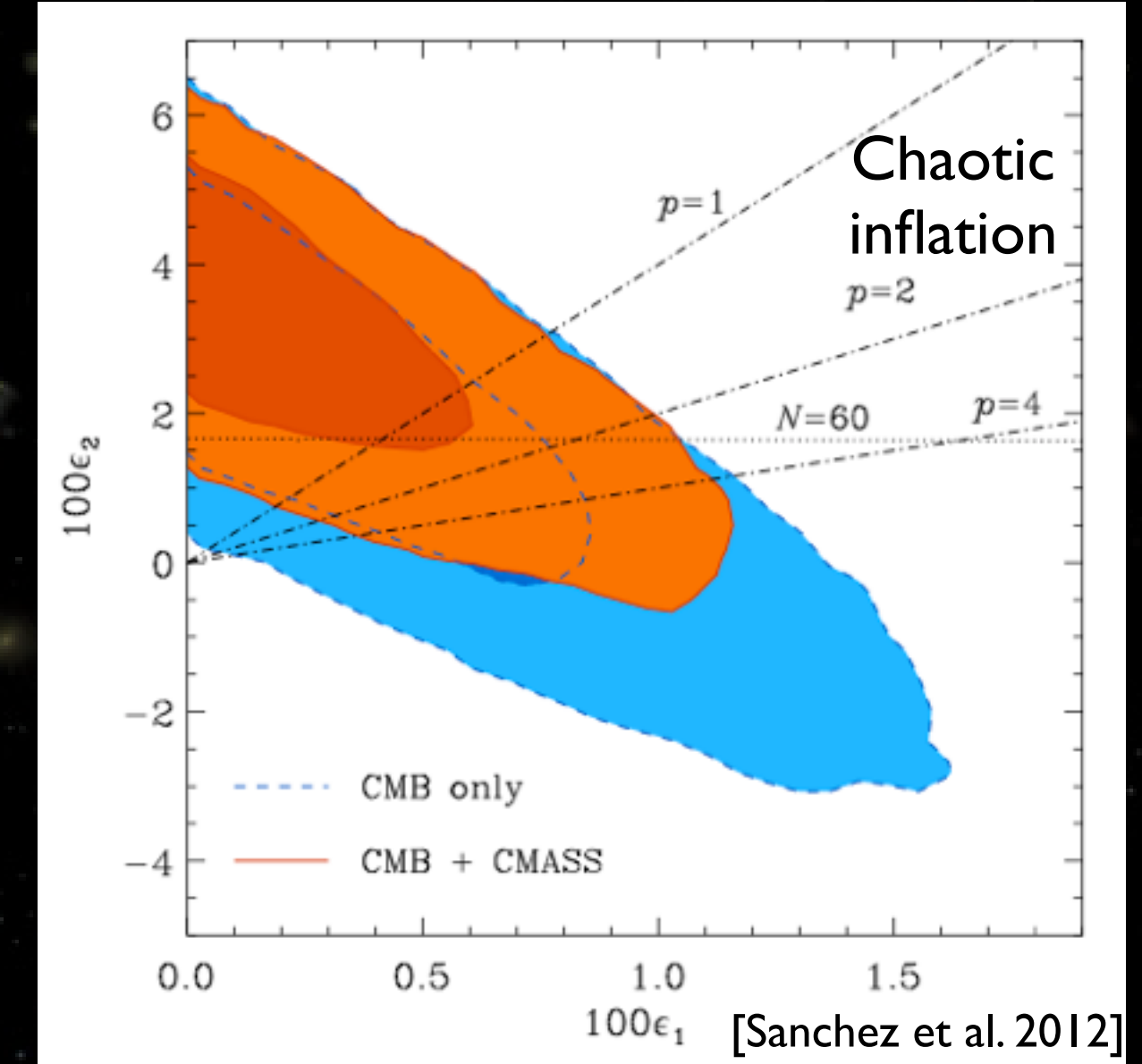
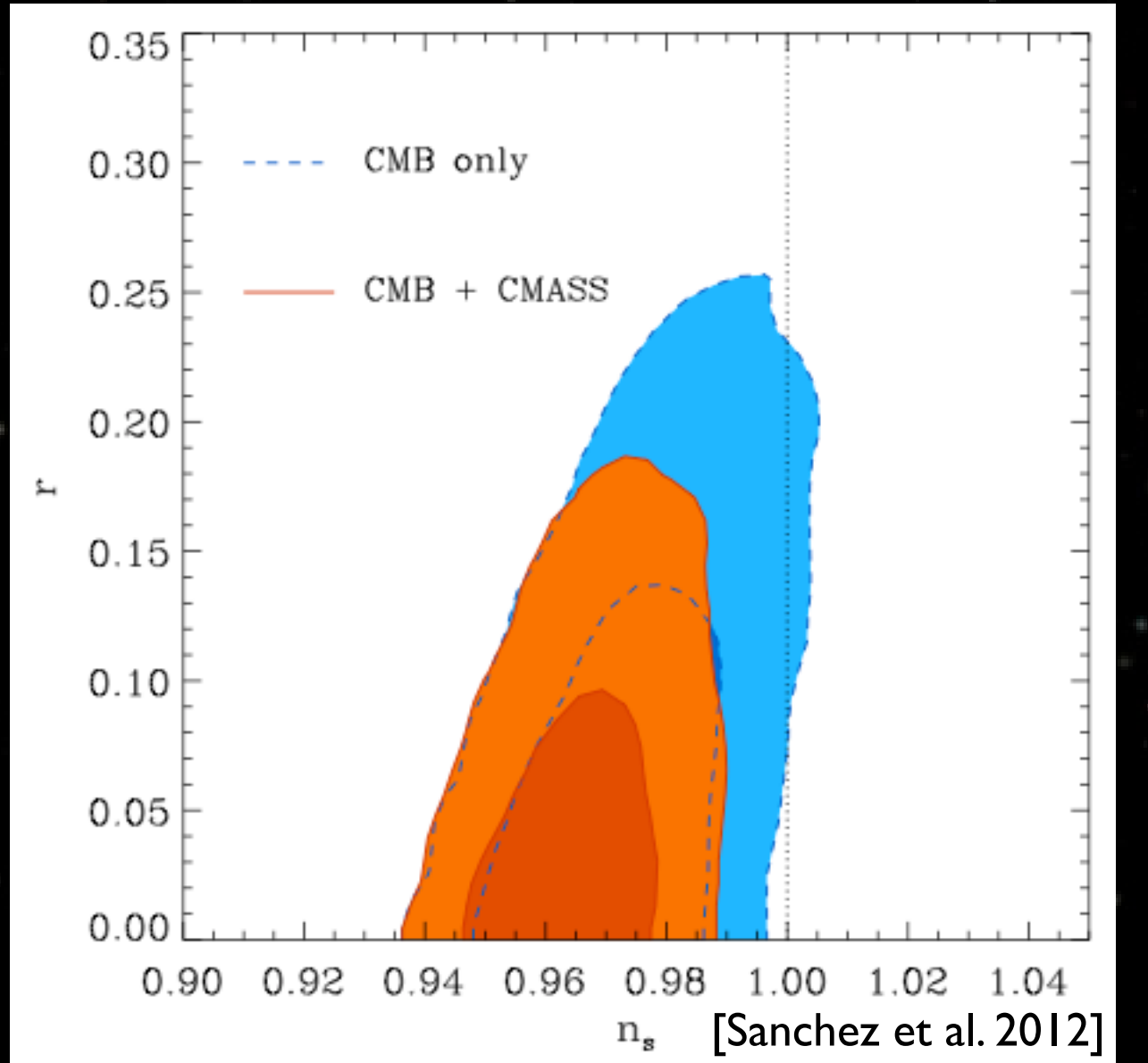


Fraction de neutrinos     $f_\nu = \frac{\Omega_\nu}{\Omega_{dm}}$



Équation d'état de l'énergie sombre

# Univers primordial



Paramètres de slow-roll de l'inflation

# Programme

- Rappels cosmologiques
  - ★ Histoire de l'expansion, distances et paramètres cosmologiques
  - ★ Résultats sur l'Énergie sombre
  - ★ Oscillations acoustiques de baryons
- BOSS : Baryon Oscillations Spectroscopic Survey
  - ★ L'héritage de SDSS I et II
  - ★ SDSSIII / BOSS
- La corrélation spatiale des LRG avec DR9
  - ★ Sélection de l'échantillon, complétude
  - ★ Fonction de corrélation à deux points, Spectre de puissance
  - ★ Contraintes cosmologiques
    - Principe des analyses
    - Résultats
- La corrélation spatiale dans la forêt Lyman-a
- Conclusions et perspectives

# BAO dans la forêt Lyman- $\alpha$

- **Quasars:**

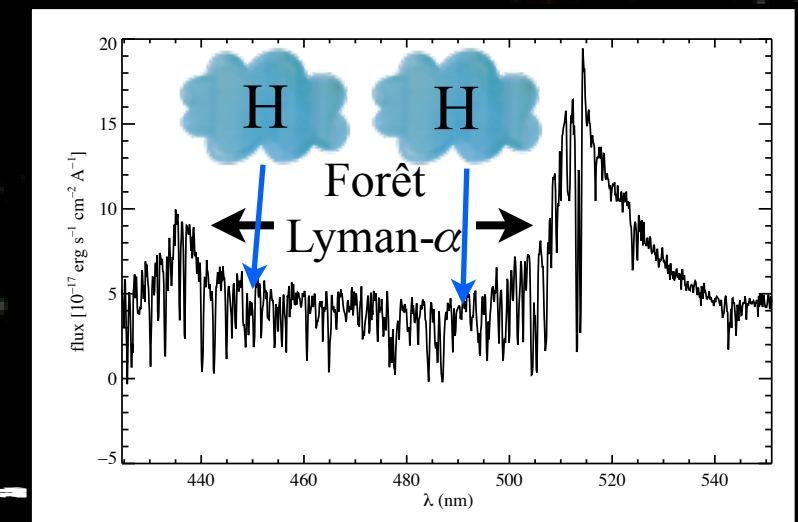
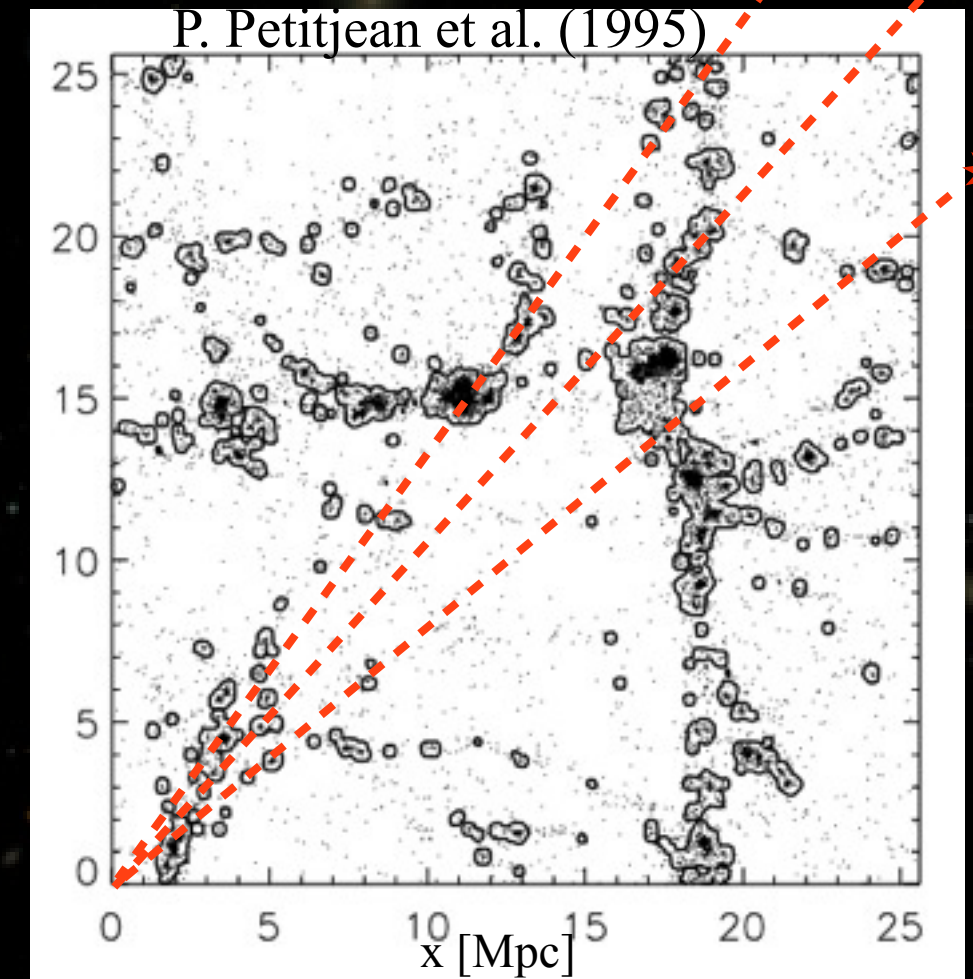
- ★ Trou noir hypermassif accrétant de la matière
- ★ ~Premiers objets effondrés de l'Univers
- ★ Très lumineux : visible jusqu'à  $z>6$
- ★ Spectre connu comportant un continuum

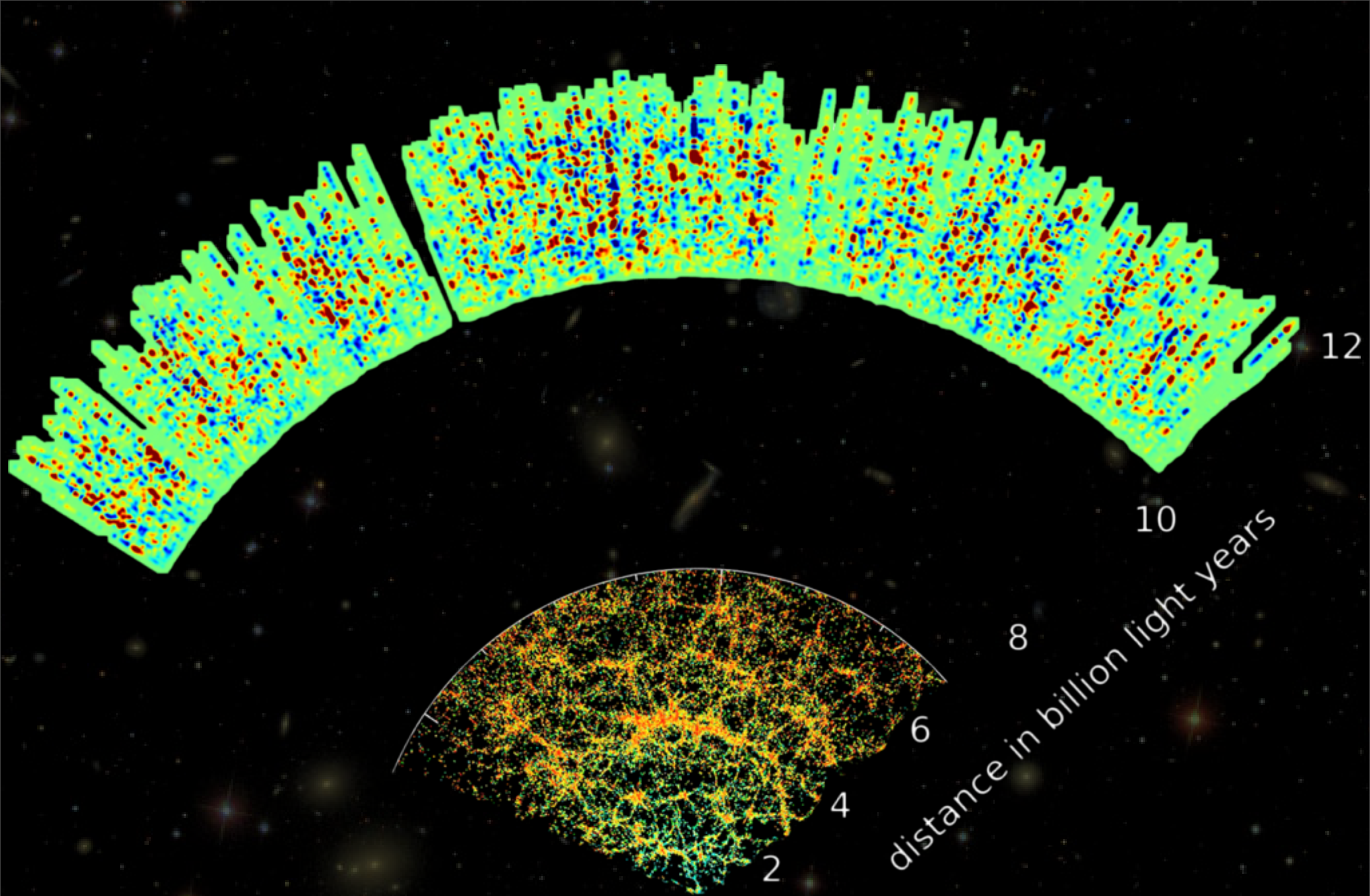
- **Forêt Lyman- $\alpha$**

- ★ Raies d'absorptions par l'hydrogène neutre le long du trajet:

- Lumière du Quasar redshiftée progressivement
- Absorption par la transition Lyman- $\alpha$  à  $\lambda$  fixe dans le référentiel du nuage d'Hydrogène
- Série de raies d'absorption dans le continu du Quasar : → Forêt Lyman- $\alpha$
- absorption  $\sim$  densité d'H (liée à la matière noire)

→ **Mesure de la densité de matière noire le long de la ligne de visée !!**

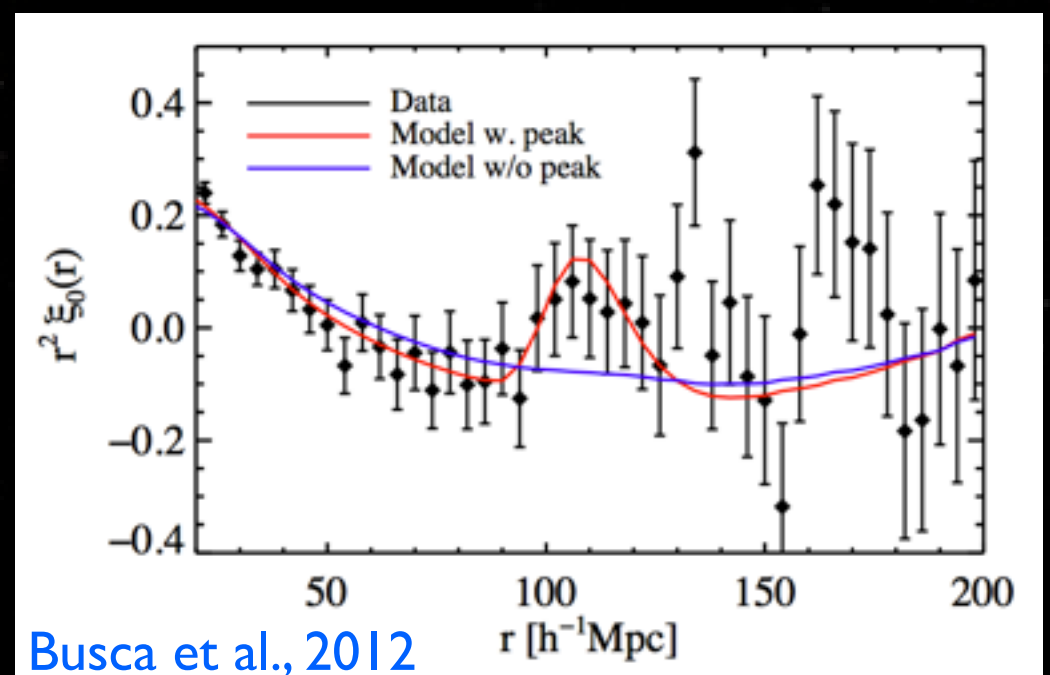
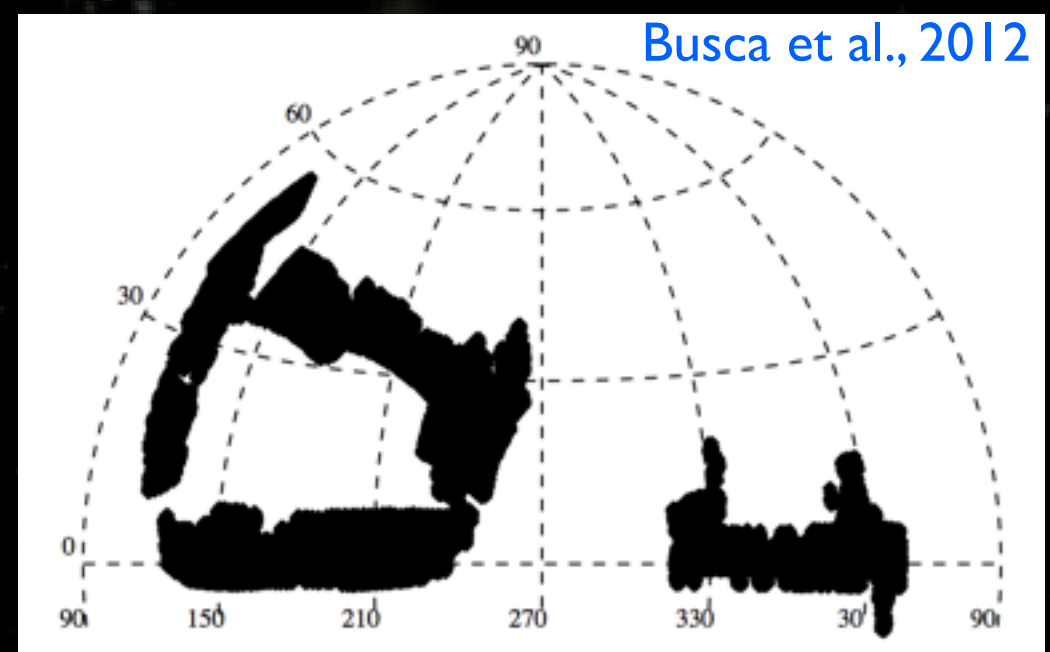
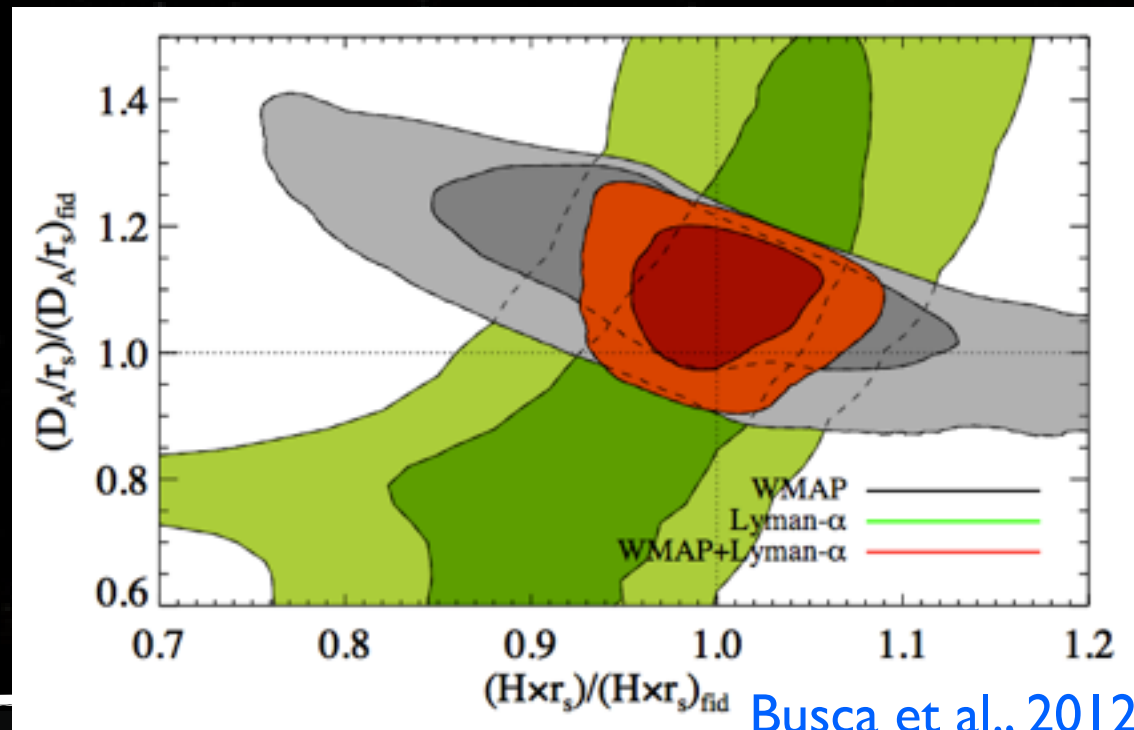




# BAO avec les Quasars !

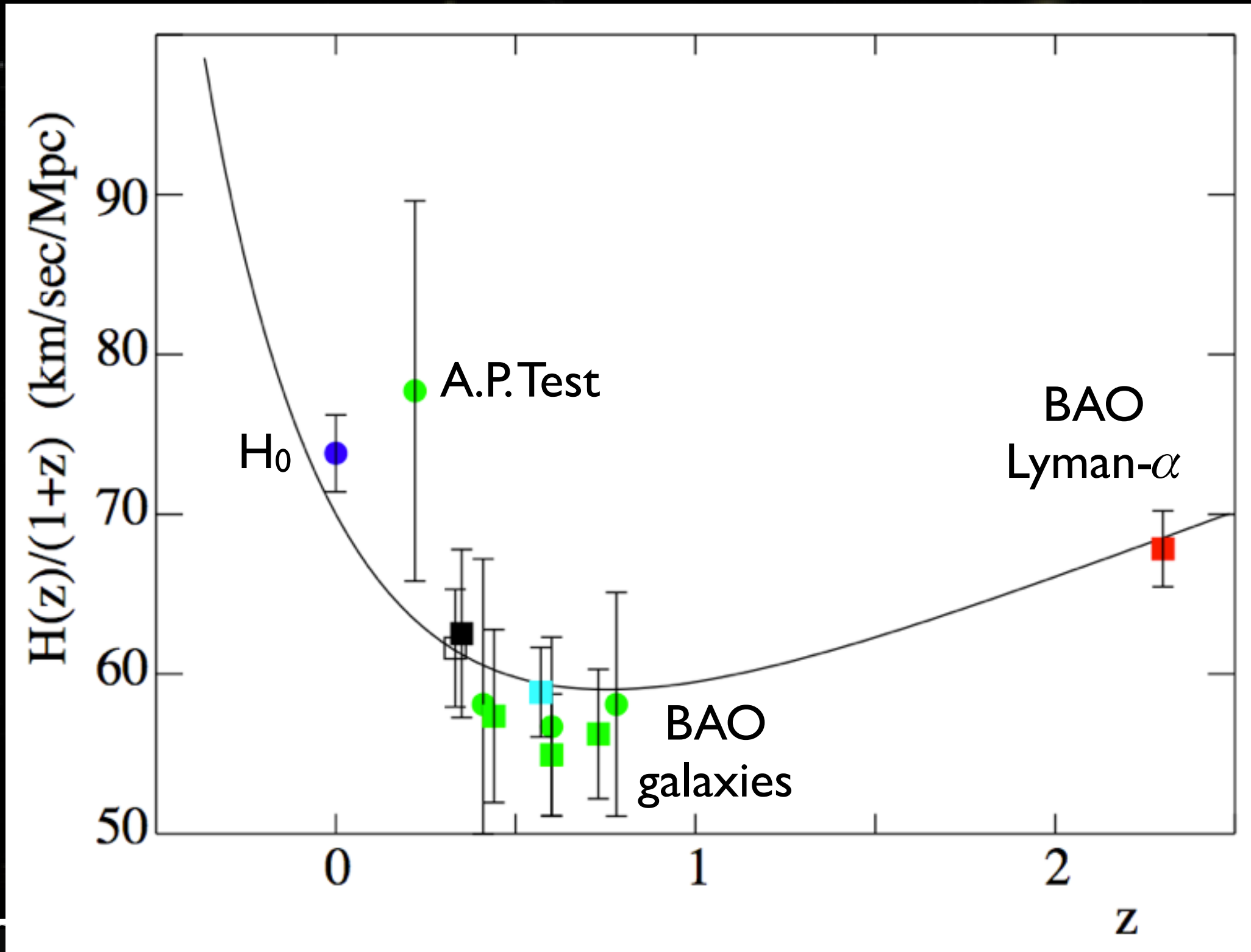
- Première détection avec BOSS

- ★ 48 640 Quasars à  $2.1 < z < 2.5$  (1/3 du lot)
- ★  $3000 \text{ deg}^2$  (1/3 de la surface totale)
- ★ Busca et al. arXiv:1211.2616v1
- ★ Fonction de corrélation (3D) de l'absorption Lyman- $\alpha$  à  $\langle z \rangle = 2.31$  !!
- ★  $\alpha = 1.01 \pm 0.03$
- ★ Plus de sensibilité radiale que transverse
- Mesure de  $H(z=2.3)$  !

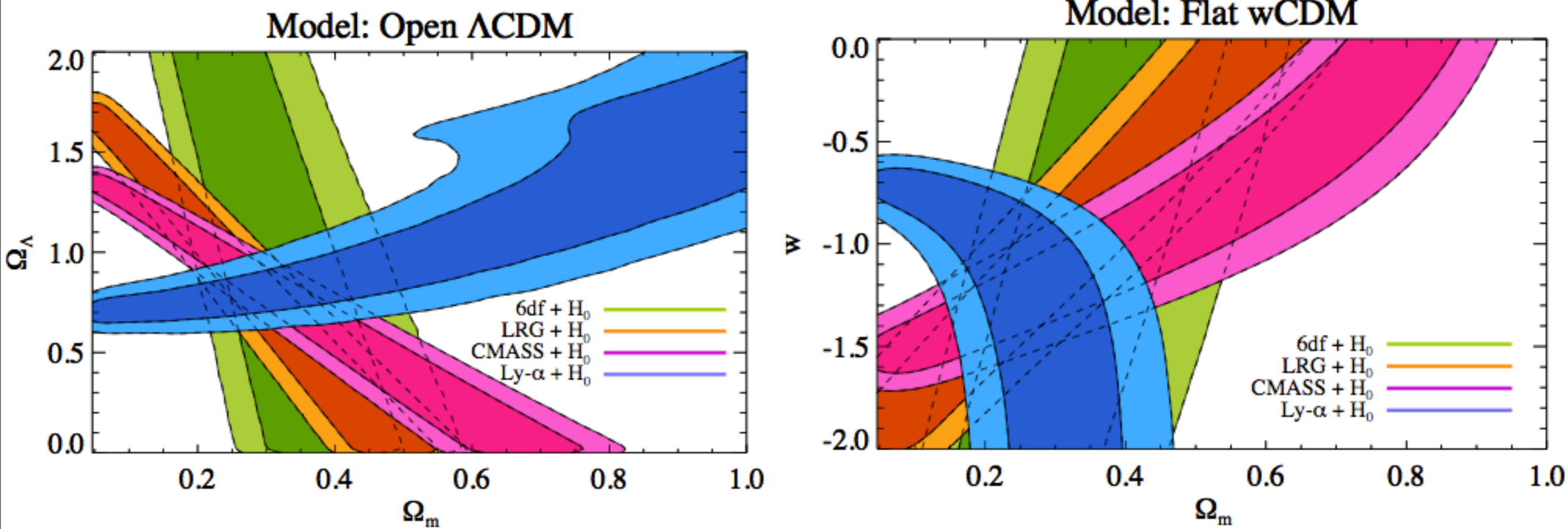


Détection à  $4.2\sigma$

# Première mesure de H dans la phase de ralentissement !



# Paramètres cosmologiques



Les BAO Lyman- $\alpha$  nécessitent la présence d'énergie sombre à elles seules (presque: il faut quand même avoir  $r_s$  qui est bien mesuré avec le CMB)

# Programme

- Rappels cosmologiques
  - ★ Histoire de l'expansion, distances et paramètres cosmologiques
  - ★ Résultats sur l'Énergie sombre
  - ★ Oscillations acoustiques de baryons
- BOSS : Baryon Oscillations Spectroscopic Survey
  - ★ L'héritage de SDSS I et II
  - ★ SDSSIII / BOSS
- La corrélation spatiale des LRG avec DR9
  - ★ Sélection de l'échantillon, complétude
  - ★ Fonction de corrélation à deux points, Spectre de puissance
  - ★ Contraintes cosmologiques
    - Principe des analyses
    - Résultats
- La corrélation spatiale dans la forêt Lyman-a
- Conclusions et perspectives

# Conclusions et perspectives

- BOSS est à 30% de sa prise de données
- En parfait accord avec le planning du survey
- Analyses BAO (18%) et Lyman- $\alpha$  (30%) :
  - ★ BAO LRG détectées à  $z=0.57$  à  $5\sigma$  : mesure de  $D_V$  à  $z=0.57$  à 1.6%
  - ★ BAO Lyman-a détectées à  $z=2.31$  à  $4\sigma$  : mesure de  $H(z=2.31)$  à 3.5%
  - ★ Première mesure de la phase décélérée !
  - ★ premières contraintes cosmologiques confortent un Univers plat dominé par une constante cosmologique
  - ★ Meilleures mesures à ce jour sur  $(w_0, w_a)$
- Le meilleur reste à venir !
  - ★ Prise de données jusqu'à mi-2014
  - ★  $D_V$  et  $H(z)$  à 1% avec les LRG à  $z=0.6$
  - ★  $D_V$  et  $H(z)$  à 1.5% avec la forêt Lyman-a des Quasars à  $z=2.5$